ГОСУДАРСТВЕННЫЙ КОМИТЕТ СССР ПО ІИДРОМЕТЕОРОЛОГИИ И КОНТРОЛЮ ПРИРОДНОЙ СРЕДЫ

ТРУДН
ОРДЕНА ТРУДОВОГО КРАСНОГО ЗНАМЕНИ
ГЛАВНОЙ ГЕОФИЗИЧЕСКОЙ ОБСЕРВАТОРИИ
им. А.И.ВОЕЙКОВА

Выпуск 483

ФИЗИКА ПОГРАНИЧНОГО СЛОЯ АТМОСФЕРЫ

Под редакцией канд. физ.-мат. наук А.С.Дубова

Y22.122

УДК 551.554

Приводятся результаты чиспенного моделирования процессов турбулентного обмена в пограничном слое атмосферы и динамического взаимодействия воздушного потока с растительным покровом. Даются оценки изменений метеородогического режима под влиянием мелиоративных мероприятий, оценивается влияние запива Кара—Богаз—Гол на климат окружающей территории. Приводятся результаты экспедиционных исследований и рассчитанных характеристик взаимодействия океан—атмосфера в различных частях Мирового океана, а также оценивается влияние электрических зарядов брызг на характеристики их распределения в приводном спое атмосферы. Результаты методических исследований представлены оценками точности градиентных измерений, проводимых одним перемещаемым датчиком, и описанием аппаратуры для прямых измерений радиационных притоков тепла.

The results are given of numerical simulation of turbulent exchange processes in atmospheric boundary layer and dynamical interaction of air flow with canopy.

There are discussed estimations of changes in meteorological characteristics as consequence of the irrigation and the influence of Kara-Bogaz-Gol gulf on the climate of surrounding territories.

The result of field experiments and numerical culculations of the characteristics of the ocean—atmosphere interaction in the different parts of world ocean are also present.

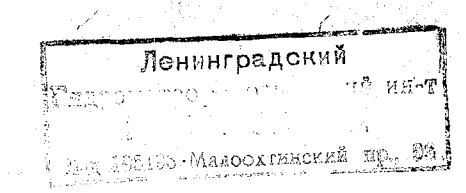
The effect of electrical charges of sprays on the spray distribution in the near water surface layer is estimated.

The accuracy of the gradient measurements by means of only one moving sensor and equipment for radiation heat inflow measurement are discussed.

$$\Phi = \frac{1903040000 - 062}{069(02) - 84} + 42 - 84(1)$$

© Главная геофизическая обсерватория им. А.И. Воейкова (ГГО), 1984.

¢



ИНТЕГРАЛЬНАЯ МОДЕЛЬ ДЛЯ РАСЧЕТА ЭВОЛЮЦИИ ХАРАКТЕРИСТИК ПОГРАНИЧНОГО СЛОЯ В УСЛОВИЯХ УСТОЙЧИВОЙ СТРАТИФИКАЦИИ

Опыт работи с широко распространенными многоуровенными моделями пограничного слоя атмосферы показал с какими трудностями сопражено практическое использование этих моделей. В последние годы в зарубежной литературе значительное внимание уделяется разработке интеральных (balk) моделей пограничного слоя — простых, удобных для включения в схемы гидродинамического прогноза, с достаточной (порядка 20%) точностью описывающих основные черты режима пограничного слоя. Большая часть таких моделей описывает эволюцию хорошо перемещанного турбулентного пограничного слоя, формирующегося, главным образом летом, в дневное время над нагретой поверхностью /8, 13, 14/.

Между тем для решения целого ряда практических задач (таких, например, как прогноз сдвигов скорости ветра вблизи поверхности, прогноз туманов и распространения загрязняющих примесей) значительный интерес представляет разработка модели пограничного слоя, формирующегося над охлаждающейся в ночное время поверхностью. В работах /15, 17/ било показано, что интегральная модель планетарного пограничного слоя (ППС) может бить построена и для этого случая.

Хорошо известное явление усиления скорости ветра в нижних слоях атмосферы, ночью сопровождающееся образованием приземних инверсий, давно получило физическое объяснение /6/. Однако до сих пор продолжаются поиски удовлетворительного количественного описания процесса, которое могло бы быть использовано в оперативной практике прогно-зирования. Решение этой задачи затрудняется недостаточной экспериментальной изученностью структуры пограничного слоя в ночное время.

Из результатов обработки данних аэрологического зондирования, приведенних Беэкадором в работе /6/, следует, что уровень максимальной скорости ветра ночью в струйном течении в нижних слоях атмосфери и верхняя граница приземной инверсии в подавляющем большинстве случаев совпадают. Наблюдения последних лет /1, 9/ показивают, что это далеко не так. Большая часть современних исследователей склоняется к тому мнению, что максимум скорости ветра приходится на висоту, совпадающую с верхней границей динамического посраничного слоя. Это положение используется и при разработке моделей пограничного слоя атмосфера. За верхнюю границу пограничного слоя при этом принимается уровень обращения в ноль турбулентних потоков количества движения. Это означает, что рассматривается

примекающий к земной поверхности слой воздуха, в котором несмотря на демифирующее влияние сил плавучести в инверсионных условиях все же существуют осредненные за некоторый промежуток времени турбулентные потоки количества движения. Приподнятие турбулизованные слои, в которых турбулентность может быть перемещающейся не рассматриваются. Выделим слой постоянства потоков высотой h_{s} , в котором турбулентные потоки количества движения u'w' и тепла $\overline{\theta'w'}$ параметризуются с помощью интегральных коэффициентов сопротивления C_{p} и теплообмена C_{p} P_{z}^{-1} (P_{z} — турбулентное число Прандтля):

$$-\overline{u'w_o'} = u_{\star}^2 = C_o^2/\overline{u_o'}^{\frac{1}{2}}(1), \quad \overline{\theta'w_o'} = \rho_{\star}^{-1}C_o u_{\star}(\theta_n - \theta_o). \tag{2}$$

Здесь \mathcal{U}_{*} — динамическая скорость; Θ_n — температура подстилающей поверхности; Θ_o , \mathcal{U}_o — температура и скорость на заданном в приземном слое уровне измерения. При желании способ параметризации этих турбулентных потоков может быть легко изменен. Эволюция осредненных по верхней части пограничного слоя (от уровня h_s до верхней границы слоя) составляющих скорости ветра (u_c , u_c) и потенциальной температуры (θ_c) описывается следующими (известными) уравнениями:

$$\frac{\partial u_c}{\partial t} = \frac{\Delta u}{h} \frac{\partial h}{\partial t} + f(v_c - v_g) - \frac{u_*^2}{h} \cos \alpha, \quad (8)$$

$$\frac{\partial U_c}{\partial t} = \frac{\Delta U}{\hbar} \frac{\partial h}{\partial t} - f\left(u_c - u_g\right) - \frac{u_\pi^2}{\hbar} \sin \alpha, \quad (4)$$

$$\frac{\partial \theta_c}{\partial t} = \frac{\Delta \theta}{h} \frac{\partial h}{\partial t} + \frac{w' \theta_b'}{h} . \tag{5}$$

Здесь $\alpha = arctg(\upsilon_o/\upsilon_o)$; f — нараметр Кориолиса; υ_g , υ_g — составляющие геострофического ветра; $\Delta u = \upsilon_g - \upsilon_c$; $\Delta u = \upsilon$

При записи уравнений предполагалось, что профили температуры и скорости ветра линейны в ядре пограничного слоя. Такое распределение подтверждается экспериментальными данными /97.

Для описания эволюции величин u_s , v_s , θ_s воспользуемся уравнениями, предложенными в [17]:

$$\frac{\partial u_{s}}{\partial t} = \frac{\partial u}{\partial z} \frac{\partial h}{\partial t} \Big|_{z=h} + f \left[v_{s} - v_{g}(h) \right] - \frac{\partial u'w'}{\partial z} \Big|_{z=h} , \quad (6)$$

$$\frac{\partial v_{a}}{\partial t} = \frac{\partial v}{\partial x} \cdot \frac{\partial h}{\partial t} \bigg|_{z=h} - f \bigg[u_{a} - u_{g}(h) \bigg] - \frac{\partial \overline{v'w'}}{\partial \overline{x}} \bigg|_{z=h} , \qquad (7)$$

$$\frac{\partial \theta_{0}}{\partial \ell} = \frac{\partial \theta}{\partial z} \frac{\partial k}{\partial \ell} \bigg|_{z=\bar{h}} - \frac{\partial \overline{\theta' w'}}{\partial z} \bigg|_{z=\bar{h}}$$
 (8)

Аппроксимация градиентов температурн и скорости на уровне $z=\hbar$ различается в зависимости от знака производной $\partial h/\partial t$ При подъеме граници пограничного слоя значения $\frac{\partial u}{\partial z}$, $\frac{\partial v}{\partial z}$, $\frac{\partial b}{\partial z}$ склеиваются со значениями $\frac{\partial u^+}{\partial z}$, $\frac{\partial v^+}{\partial z}$, $\frac{\partial b^+}{\partial z}$, заданными в начальный момент в недеформированной части потока выше уровня k. При

 $rac{\partial h}{\partial x} < 0$ предполагается, что градиенти указанних величин пропорциональны дефекту этих характеристик в ядре слоя. Например, $\frac{\partial u}{\partial z} = A \frac{u_s - u_c}{h}$, A = const .

Градиенты потоков также параметризуются через дефект скорости и температуры в ядре слоя, при этом считается, что на границе z - \hbar коэффициент (🔏) обращается в ноль. Параметризация градиента выполняется на основе результатов, полученных путем экспериментов с многоуровенной моделью /7/. Приведем систему уравнений (1)-(8) к безразмерному виду с использованием масштабов времени, длини, скорости и температури $T=1/f=10^4$ с, $|\overline{u_o}|=G$,

 h_o , $\Delta\theta_o = \theta_{so} - \theta_{ne}$, $z\partial e h_o u \Delta\theta_o$ вноота верхней граници и перепад температур в слое толщиной h_{\bullet} в момент времени $\ell=\ell_0$. Тогда уравнения, описывающие эволюцию средних по слою характеристик и характеристик, определяемых на уро-. запищутся в виде

$$\frac{\partial \widetilde{\mathcal{U}}_{c}}{\partial \widetilde{\mathcal{X}}} = \frac{\Delta \widetilde{\mathcal{U}}}{\widetilde{h}} \frac{\partial \widetilde{h}}{\partial \widetilde{\mathcal{X}}} + (\widetilde{\mathcal{V}}_{c} - \widetilde{\mathcal{V}}_{g}) - \mu \frac{\widetilde{\mathcal{U}}_{*}^{2} \cos \alpha}{\widetilde{h}} , \qquad (9)$$

$$\frac{\partial \widetilde{\mathcal{U}}_{c}}{\partial \widetilde{\mathcal{T}}} = \frac{\Delta \widetilde{\mathcal{V}}}{\widetilde{h}} \frac{\partial \widetilde{h}}{\partial \widetilde{\mathcal{T}}} - \left(\widetilde{\mathcal{U}}_{c} - \widetilde{\mathcal{U}}_{g}\right) - \mu \frac{\widetilde{\mathcal{U}}_{\kappa}^{2} \sin \alpha}{\widetilde{h}} , \qquad (10)$$

$$\frac{\partial \widetilde{\partial_c}}{\partial \widetilde{c}} = \frac{\Delta \widetilde{\partial}}{h} \frac{\partial \widetilde{h}}{\partial \widetilde{c}} + \mu \frac{\widetilde{\partial' w'_c}}{\widetilde{h}} , \qquad (11)$$

$$\frac{\partial \widetilde{\mathcal{U}}_{g}}{\partial \widetilde{\mathcal{T}}} = G_{u} \frac{\partial \widetilde{h}}{\partial \widetilde{\ell}} + \left[\widetilde{\mathcal{U}}_{g} - \widetilde{\mathcal{U}}_{g}(h) \right] - \frac{C_{m} \widetilde{\mathcal{U}}_{*}}{1 + s\widetilde{h}/\widetilde{\mathcal{T}}} \rho \frac{\Delta \widetilde{\mathcal{U}}}{\widetilde{h}} , \quad (12)$$

$$\frac{\partial \widetilde{\mathcal{U}}_{s}}{\partial \widetilde{\ell}} = C_{v} \frac{\partial \widetilde{h}}{\partial \widetilde{\ell}} - \left[\mathcal{U}_{s} - \mathcal{U}_{g}(h) \right] - \frac{C_{m} \widetilde{\mathcal{U}}_{*}}{1 + sh/\widetilde{L}} \mathcal{V} \frac{\Delta \widetilde{\mathcal{U}}}{\widetilde{h}} , \quad (13)$$

$$\frac{\partial \widetilde{\theta}_{s}}{\partial \widetilde{\xi}} = G_{\theta} \frac{\partial \widetilde{h}}{\partial \widetilde{\xi}} - \frac{C_{m}}{1 + s\widetilde{h}/\widetilde{L}} \rho_{z}^{-1} \mu \widetilde{u}_{*} \frac{\Delta \widetilde{\theta}}{\widetilde{h}}$$
(14)

Здесь
$$\mu = GT/h_o$$
 , $h = \Delta \theta_o h_o /G^2$,

$$\begin{split} \widetilde{L} &= -\frac{T}{\varkappa g} \frac{1}{\varrho} \frac{\widetilde{u}_{*}^{3}}{\overline{w'} \theta'_{0}} \ , \quad \widetilde{\overline{w'} \theta'_{0}} &= C_{0} \Pr^{-1} \widetilde{u}_{*} \left(\widetilde{\theta}_{n} - \widetilde{\theta}_{0} \right) \ , \\ C_{0} &= u_{*} / |u_{o}| \ , \quad \Pr^{-1} k_{\theta} / k_{m} \ , \quad G = \sqrt{u_{g}^{2} + u_{g}^{2}} \ , \\ C_{m} &= 0,45 \Big(1 - \operatorname{Ri} \Big) \ , \quad \operatorname{Ri} &= \frac{g}{\varrho} \left| \frac{\Delta \widetilde{\theta} \cdot \widetilde{h}}{|\Delta \widetilde{u}|^{2}} \ , \quad \left| \widetilde{\Delta u} \right|^{2} &= \Delta u^{2} + \Delta u^{2} \right, \\ G_{u} &= \frac{\partial \widetilde{u}^{+}}{\partial \widetilde{z}} \ , \quad G_{v} &= \frac{\partial \widetilde{v}^{+}}{\partial \widetilde{z}} \ , \quad G_{\theta} &= \frac{\partial \widetilde{\theta}^{+}}{\partial \widetilde{z}} \quad n\rho u \quad \frac{\partial \widetilde{h}}{\partial \widetilde{t}} \geqslant 0 \ , \\ G_{u} &= \frac{\Delta \widetilde{u}}{\widetilde{h}} \ , \quad G_{v} &= \frac{\Delta \widetilde{v}}{\widetilde{h}} \ , \quad G_{\theta} &= \frac{\Delta \widetilde{\theta}}{\widetilde{h}} \quad n\rho u \quad \frac{\partial \widetilde{h}}{\partial \widetilde{t}} < 0 \end{split}$$

Подробное обсуждение способа аппроксимации последних слагаемых в уравнениях (12), (13), (14) проводится в статье /17/.

Для замыкания системы уравнений (9)-(14) необходимо определить каким-нибудь способом в каждий момент времени висоту пограничного слоя h . Эта задача представляет также и самостоятельный интерес; во многих работах в последнее время предлагаются различные варианти ее решения /10-12/. Определение / по данним натурных наблюдений затруднено из-за малой точности используемых данных и отсутствия достаточно обоснованной методики определения $\,h\,$ смотря на многочисленние проверки /5. 11. 16/, еще не достигнуто окончательное согласие по поводу того, устанавливается ли квазистационарное состояние в процессе эволюции ночного пограничного слоя и подтверждается ли экспериментальними данними диагностическая формула $h = 0.4 (GL/f)^2$, связивающая / с локальными характеристиками потока. Так, например в работе Ньюштадта и Теннекеса /11/ на основе анализа данних наблюдений на метеорологической мачте в Кабоу (Нидерланды) показано, что указанная формула неудовлетворительно описивает результати натурного эксперимента. В работе /5/ при модернизованной обработке данних Вангара - эксперимента получен противоположный результат. Большинство исследователей, опираясь на данные расчетов по многоуровенным моделям /4, 7/ все же склоняется к тому мнению, что процесс эволюции ночного пограничного слоя является существенно нестационарным, и для описания поведения верхней граници пограничного слоя должно быть использовано прогностическое уравнение.

При разработке интегральних моделей ШО необходимо представлять себе типичние черти структури слоя. Экспериментальной основой современних представлений о структуре ШС являются работи 1, 97. По

данним разних авторов, по крайней мере, для некоторых типов приземних инверсий висота инверсии не совпадает с верхней границей динамического пограничного слоя h. Естественно, максимум скорости ветра и обращение в нуль турбулентних потоков количества движения наблюдаются на одной и той же висоте $(\overline{u'w'}(z) \ u \ \overline{v'w'}(z) - гладкие функции висоти).$

Следовательно, уровень максимума скорости может бить отождествлен с положением верхней граници пограничного слоя, определенной как граница турбулизованной области, примыкающей к поверхности земли. Количетво соотношений, определяющих изменение толщины пограничного слоя в процессе ночной эволюции этого слоя стремительно растет. Автори работи /10/ провели обзор соответствующих исследований и показали, что все опубликованные сейчас прогностические уравнения для \hbar можно свести к уравнению релаксации линейного типа. Различия состоят в способе определения временного масштаба релаксации и установившейся предельной толщины слоя $\hbar_{\rm c}$. Таким образом, эти уравнения могут бить записани в виде:

 $\frac{dh}{dt} = \frac{I}{T_{\rm M}} \left(h_{\rm c} - h \right) , \tag{15}$

 T_M — время релаксации, $h \to h_c$ при $t \to T_M$. Варианти определения h_c и T_M будут рассмотрени ниже при обсуждении результатов численных экспериментов. Уравнения вида (15) рассмотрены в работах (10-12), они получены разними способами. В частности, в работе Ньюштадта и Теннекеса, претендующей на лучшее физическое обоснование, такое уравнение получено из предположения о том, что толщина слоя должна определяться осредненними по слою притоком энергии турбулентности из—за сдвига ветра и ее потерями за счет действия сил плавучести. Следовательно, h должно зависеть от некоторого среднего числа h, определяемого таким образом:

$$Ri = \frac{e^{\int_{0}^{h} \frac{\partial}{\partial x} \overline{\partial v'} dx}}{\int_{0}^{h} \frac{\partial}{\partial x} \overline{\partial v} dx}.$$
 (16)

Привлекая уравнение баланса энергии турбулентности и делая ряд предположений о карактере распределения турбулентных потоков в ППС при устойчивой стратификации, можно перейти от выражения (16) к уравнению вида (15). Следует отметить, что несмотря на простоту, удобство использования и удовлетворительное согласование с результатами экспериментов, физическая основа уравнения (15) предстивлятется недостаточно ясной.

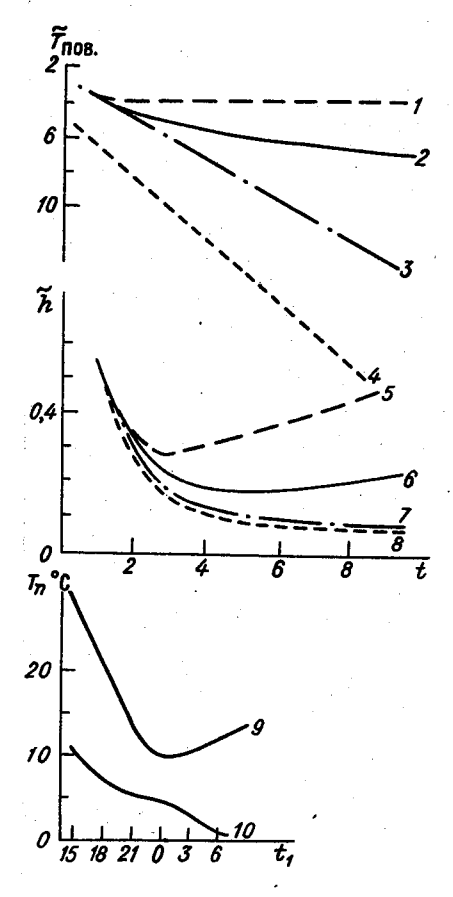
Предложенное Земаном уравнение для определения \hbar получено из проинтегрированного по слою уравнения энергии среднего движения. Уравнение Земана виглядит таким образом:

$$\frac{dh}{dt} = \frac{3}{2|\Delta \vec{u}|^2} \left(u_* \frac{C_\rho}{t + 5h/L} |\Delta \vec{u}|^2 - \frac{2}{3} u_* (\Delta u \cos \alpha + \Delta v \sin \alpha) + \frac{2}{3} h \Delta \vec{u} \frac{\partial \vec{u}_\theta}{\partial t} \right). \tag{17}$$

Громоздкое виражение (17) не нашло большого числа приверженцев, но оно было использовано Земаном в модели ночного пограничного слоя; его применение дает хорошие результаты при сравнении с многоуровенной моделью Броста и Вингарда [7], и мы тоже использовали его в расчетах для сравнения результатов. Система уравнений (9)—(14), дополненная уравнением (16) (либо уравнением (17)), приведенным к безразмерному виду, решалась методом Рунге-Кутта при заданных в начальный момент значениях исследуемых характеристик пограничного слоя. Приведем некоторые результаты численных экспериментов.

- Исследование процесса перестройки структури ППС под влиянием охлаждения подстидающей поверхности - основная задача исследования. Естественно, прежде всего, прознадизировать изменчивость характеристик пограничного сдоя в зависимости от изменения температуры поверхности (\widetilde{T}_a), являющейся внешним параметром задачи. На рис.1 кривн a ми (1-4) показаны различные варианты изменений кривнии (5-8) показано соответствующее этим изменениям температуры поверхности положение границы динамического пограничного слоя как функции времени. (🕇 - время в часах от начала счета). Из сравнения рисунков следует, что положение границы h зависит, главным образом, от скорости изменения температуры поверхности, а не от абсолютных ее значений (кривке І. З рис. І сравнить с кривыми 5, 7). На том же рисунке кривими (9, 10) показани экспериментальные значения температуры поверхности в суточном ходе (4, - BREME CYTOK) B период понижения температуры. Кривая (9) построена по результатам /2/ и соответствует средним многолетним значениям функции $T_a(t)$ полученным по данным наблюдений в Воейково. Кривая (10) заимствована из /11/ и соответствует одному случаю наблюдений в Кабоу. В наших $T_n(t)$ экспериментах наклон кривых соответствовал среднему положению между функциями, изображаемыми кривыми (9) и (10).
- 2. Как сказано више при постановке задачи предполагалось, что ось струи в нижнем слое атмосферы (или уровень максимума скорости ветра) совпадает с верхней границей пограничного слоя h. Определение h и значений скорости на этом уровне является первостепенной

задачей. Рассмотрим, как изменяются функция $h(\ell)$ и годограф вектора отклонений скорости от геострофических значений на уровне h в зависимости от того, какое уравнение для h выбрано в модели. Для решения задачи с использованием уравнения (15) следует определить время релаксации T_{M} и предельную толщину установившегося слоя



PMc.1.

 h_c . Простейший вариант такого определения предполагает, что T_M и h_c зависят только от внешних параметров, и, следовательно, предполагает постоянство

 T_{\sim} и h_{\sim} в процессе решения задачи. При этом уравнение (15) имеет аналитическое решение /3. 10/. Олнако, это решение неудовлетворительно описивает реальную функцию в работах /10-12/ предполагается на основе теории попобия или получается с помошью тех или иних оценок целый ряд соотношений, определяющих \mathcal{T}_{m} и h_{c} . Мн исследовали поведение решения пля следующих вариантов задания T_{M} и h_{c} :

1)
$$T_M = 3.3 \cdot 10^2 (h/G)$$
; $h_c = 0.5 \frac{G^2}{\frac{Q}{R}(\theta_0 - \theta_0)}$;

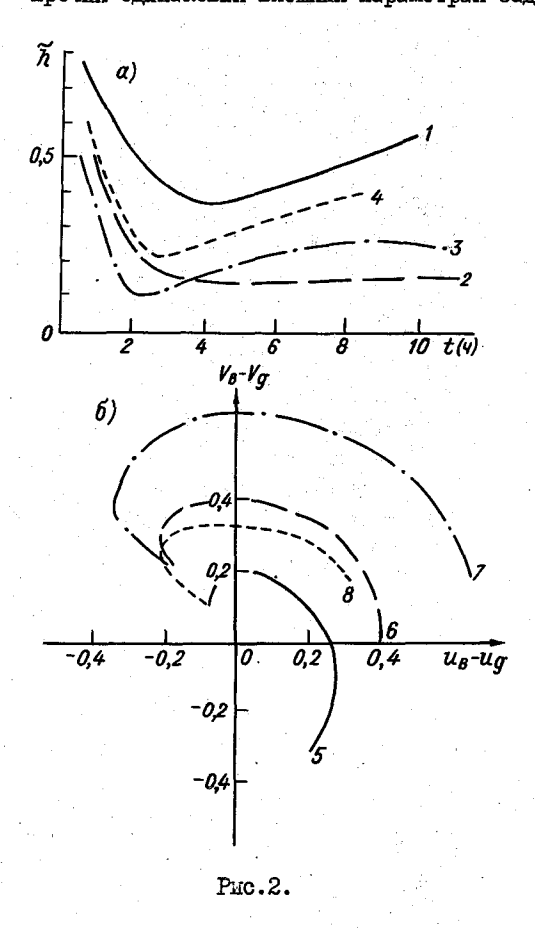
2)
$$T_{M} = 3.3 \cdot 10^{2} (h/G)$$
; $h_{c} = 0.35 u_{*}/f$;

3)
$$T_{M} = 3.3 \cdot 10^{2} (h/|\vec{u}_{B}|); h_{c} = 0.4 \ u_{*}/f;$$

4)
$$T_M = \gamma_t h/u_*$$
; $h_c = 0.4 u_*/f$;

5)
$$T_{M} = \gamma_{s} h/u_{\star}$$
; $h_{c} = \lambda |\overrightarrow{u_{o}}|^{2} / (\frac{9}{6}(\theta_{n} - \theta_{o}))$; $\gamma = const$.

На рис.2 показани зависимости h(4) (кривне 1-3) и соответствующие годографи отклонений скорости от геострофических значений на уровне h (кривне 5-7) для 1, 4, 5 вариантов задания T_M и h_c при прочих одинаковых внешних параметрах задачи. На том же рисунке при-

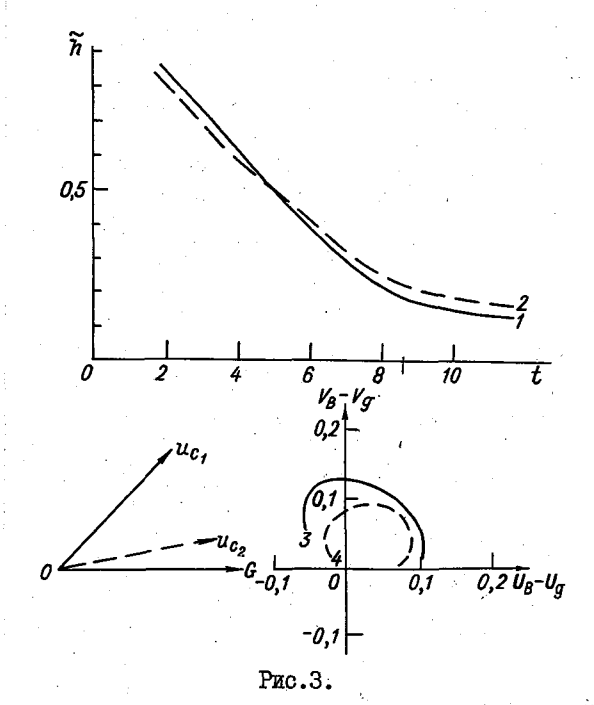


велена зависимость h(t)(кривая 4) и голограф BERTODA IAUL вая 8), рассчитанные с использованием соотношения (17). Варианти (2-3) дают результат, близкий к (4). Из анадиза расчетов следует. что годограф вектора скорости ветра существенно изменяется в зависимости от характера временной изменчивости толшины слоя (h). Наилучшим образом с молелью Земана согласуется вариант (5) DEMARCALINOHHOTO VDABHEния (15). Абсолютная величина отклонений век-TODA CKODOCTH OT TEOстробического значения олнозначно связана с мэннэрене минакеминим h в ходе пропесса. Начальный участок кривой h(**€**) (при {< 4 ча− сов от начала охлажиения поверхности) незначительно сказнвается на

расчетных характеристиках пограничного слоя.

3. Для анализа эффективности модели необходимо вняснить влияние начальных условий на временную изменчивость оцениваемых характеристик пограничного слоя.

В силу нелинейности задачи влияние начальных условий по-разному проявляется в зависимости от способа определения h(t). Влияние начальных условий оказывается наибольшим при использовании формулы (17) рис.4 представляет собой иллюстрацию того, как изменяется расчетный годограф вектора ΔU_L (кривне 3-4) в зависимости от



среднего ветра в ядре слоя в начальний момент (на рис.3 показан векторами U_{c_1} и U_{c_2}). На том же рисунке изображени расчетние функции h(t), соответствующие скоростям U_{c_1} и U_{c_2} (кривне I и I).

4. Экспериментн показали /9/, что на структуру ночного пограничного слоя существенное влияние оказывает распределение влажности. Основной эффект этого влияния связан, по-видимому, с перераспределением потоков радиации. Однако, определенную

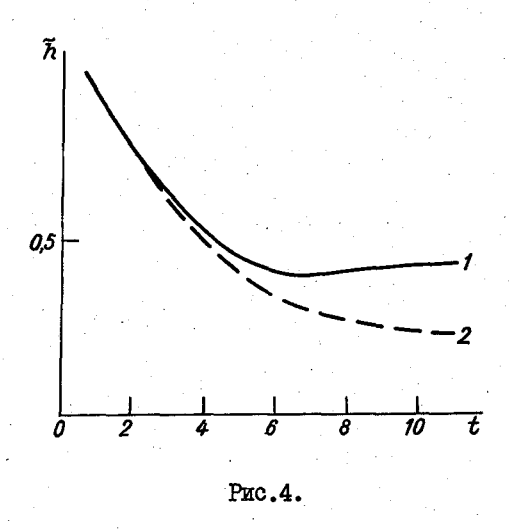
роль может играть и стратификация влажности. Простейший способ учета стратификации влажности в модели состоит в следующем:

1) к системе уравнений (9-14) добавляются уравнения, описнвающие изменение во времени средней в ядре ППС удельной влажности q_c и удельной влажности на верхней границе слоя q_6 . В отсутствии фавовых переходов воды эти уравнения будут выглядеть так же, как уравнения (11) и (14)

$$\frac{\partial \widetilde{q}_c}{\partial \widetilde{t}} = \frac{\Delta \widetilde{q}}{\widetilde{h}} \frac{\partial \widetilde{h}}{\partial \widetilde{t}} + \mu_t \frac{\widetilde{q'w'_b}}{\widetilde{h}} \quad , \tag{18}$$

$$\frac{\partial \widetilde{q}_{s}}{\partial \widetilde{r}} = G_{q_{1}} \frac{\partial \widetilde{h}}{\partial \widetilde{t}} - \frac{C'_{m}}{t + s \widehat{h}/\widetilde{L}} \cdot P_{q_{1}}^{-1} \mu_{t} u_{*} \frac{\Delta \widetilde{q}}{\widetilde{h}}; \tag{19}$$

2) критерии устойчивости \mathcal{L} и $\stackrel{\mathcal{R}i}{\iota}$ модифицируются с учетом стратификации влажности $\stackrel{\star}{\mathcal{R}i}=\mathcal{R}i\left(\mathit{1}+\mathit{I}\right)$, $\stackrel{\star}{\mathcal{L}}=\mathcal{L}^{\star}\left(\mathit{1}+\mathit{I}\right)$,



$$I = \frac{c_{061} C_{\rho} \overline{\theta}}{Z \cdot B_{0}},$$

$$B_{0} = \frac{C_{\rho} \overline{w'} \overline{b'_{0}}}{Z \overline{w'} \overline{g'_{0}}}.$$

Введя соответствующие изменения в модель и выполнив, аналогичную (2) параметризацию потока $q'w'_0$ получаем возможность оценить влияние профиля влажности на расчетние результати. На рис.4 приведен пример такого расчета для случая линейного убивания удельной влажности с висотой (при инверсии влажности влияние профиля Q на расчети значительно меньше). Как видно из рисунка, неучет стратификации влажности может давать ошибку до 30 % в оценках h(t) \mathbf{z}

Таким образом, из анализа результатов численных экспериментов следует, что использование в интегральной модели ШС уравнения релаксации для описания изменений h(t) (15) является более предпочтительным, чем использование уравнения (17). Все исследованные варианты модели позволяют рассчитать отклонения скорости ветра от геострофических значений на уровне h(t) возникающие в процессе эволюции слоя, и оценить скорость и температуру в ядре слоя. Необходима дополнительная оценка влияния параметризации приземного подслоя на работу модели. Следующим этапом исследований должна онть проверка модели на материалах натурных экспериментов.

СПИСОК ЛИТЕРАТУРЫ

- Бизова Н.Л., Вяльцева Э.Е., Мамаенко Г.Е. Типизация ночных приземних инверсий и характеристики вихоляживания пограничного слоя атмосфери. - Труди ИЭМ, 1977, вип.16 (69), с.7-22.
- 2. Орленко Л.Р., Шклярзвич О.Б. Особенности строения нестационарного горизонтально однородного пограничного слоя атмосферн. - Трули ITO, 1975, вип. 362, с. 96-106.

- Хакимов И.Р. О профиле ветра и толщине нейтрально стратифицированного пограничного слоя атмосферы. – Изв.АН СССР. Физика атмосферы и океана, т.12, № 10, с.1020-1023.
- 4. André J.C., De Moor G., Lacarrere P., Therry G., du Vachat R. Modelling the 24-hour evolution of the mean and turbulent structures of the planetary boundary layer. J.Atm. Sci., 1978, 35, N 10, p. 1861-1883.
- 5. Arya S.P.S. Parameterizing the height of the stable atmospheric boundary layer. J.Appl. Meteor., 1981, v. 20, N 10, p. 1192-1202.
- 6.Blackadar A.K. Boundary-layer wind maxima and their significance for the growth of noctural inversions. Bul. Amer. Meteor.Soc., 1957, v. 38, N 5, p. 283-290.
- 7. Brost R.A., Wyngaard J.C. A model study of the stably stratified boundary layer. Journ. Atm. Soi., 1978, v. 55, p. 1427-1440.
- 8. Kraus H., Schaller E. Steady-state characteristics of inversions copping a well-mixed planetary boundary layer. Bound. Lay. Meteor., 1978, v. 14, p. 83-104.
- 9. Mahrt L., Heald R.C., Lenschow D.H., Stankov B.B. An observational study of the structure of the nocturnal boundary layer. Bound. Lay. Meteor., 1979, v. 17, p. 247-264.
- 10.Mahrt L. Modelling the depth of the stable boundary layer. Bound. Lay. Meteor., 1981, v. 21, N 1, 3-19.
- 11. Nieuwstadt F.T.M., Tennekes H. A rate equation for the nocturnal boundary layer height. J. Atm. Sci., 1981, v. 38, N 7, p. 1418-1428.
- 12.Smeda M.S. Incorporation of planetary boundary layer processes into numerical forecasting models. Bound. Lay. Meteor., 1979, v. 16, p. 115-129.
- 13.Stull R.R. Mixed-layer depth model based on turbulent energetics. J.Atm.Sci., 1976, v. 33, N 7, p.1268-1278.
- 14. Tennekes H., Driedanks A.G.M. Basic entrainment equation for the atmospheric boundary layer. Bound. Lay. Meteor., 1981, v. 20, N 4, p. 515-531.
- 15. Thorpe A.J., Guymer T.H. The nocturnal jet. Quart. Journ. Roy. Met. Soc., 1977, v. 103, 438, p. 633-653.
- 16.Yu T. Determining height of the nocturnal boundary layer. J. Appl. Meteor. 1978, v. 17, p. 28-33.
- 17. Zeman O. Parametrization of the dynamics of stable boundary layers and nocturnal jets. J. Atm. Sci., 1979, v. 36, N 5, p. 792-804.

ИСПОЛЬЗОВАНИЕ МОДЕЛИ ГОРИЗОНТАЛЬНО—НЕОДНОРОДНОГО ПОГРАНИЧНОГО СЛОЯ ДЛЯ ОЦЕНКИ ПАРАМЕТРОВ ГОЛОЛЕДНЫХ ОТЛОЖЕНИЙ

В последние годи в связи с растушими энергетическими потребностями народного хозяйства возросла необходимость строительства электростанций разних типов в различных районах страны. Следствием этого является создание многочисленных прудов-охладителей. В окрестности этих водоемов усиливается потенциальная возможность тумано- и гололедообразования.

В настоящее время не существует теоретических разработок, которне позволили бы оценить вероятность возникновения таких образований и определить их характеристики по данным о степени нагретости водоема и по метеорологическим параметрам в тот или иной период. (Между тем, данные о параметрах гололеда нужны не только вблизи земли, но и на высотах.)

Для решения этой задачи естественно попытаться использовать модель планетарного пограничного слоя, позволяющую рассчитывать поля температуры и влажности в окрестности водоема.

Будем считать, что гололед образуется при наличии жидкой капельной фази. Поэтому обратимся к задачам, связанним с моделированием туманов и облаков /2, 3, 6, 8/.

Рассмотрим адвективние тумани, которые образуются при натекании теплого воздуха на более холодную подстилающую поверхность. При определенном сочетании полей температуры и влажности в процессе трансформации воздушной массы может образоваться туман и произойти отложение голодела.

Была рассмотрена следующая схема явления. Набегающий поток воздуха с заданными характеристиками проходит через границу раздела суща-вода, в связи с чем происходит перестройка профилей метеоэлементов. Затем воздушная масса, продолжая двигаться дальше, проходит через границу раздела вода-суща, причем краевне условия на поверхности подветренного берега такие же, как и на наветренном берегу. Таким образом, появляется возможность проследить, как изменяются характеристики тумана и возможного гололеда, если на пути воздушной масси появляется подогретий водоем.

Воспользуемся двумерной квазистационарной моделью горизонтальнонеоднородного планетарного пограничного слоя, обобщенной в /6, 8/ на случай учета фазовых переходов влаги. Система уравнений, приближенно описнвающих указанный выше процесс, в безразмерном виде выглядит таким образом:

$$U_n \frac{\partial U_n}{\partial x_n} + w_n \frac{\partial U_n}{\partial x_n} = \frac{\partial}{\partial x_n} k_n \frac{\partial U_n}{\partial x_n} + \mu U_n - \xi \frac{\partial T_n}{\partial x_n}$$
 (1)

$$\frac{\partial \mathcal{T}_n}{\partial z_n} = \sigma \left(\theta_n + \frac{\theta_n}{\Delta \theta} \right) , \qquad (2)$$

$$U_n \frac{\partial U_n}{\partial x_n} + w_n \frac{\partial V_n}{\partial z_n} = \frac{\partial}{\partial z_n} k_n \frac{\partial V_n}{\partial z_n} - \mu (u_n - t) \qquad (3)$$

$$\frac{\partial \mathcal{U}_n}{\partial x_n} + \frac{\partial w_n}{\partial x_n} = 0, \tag{4}$$

$$U_n \frac{\partial \Pi_n}{\partial x_n} + W_n \frac{\partial \Pi_n}{\partial z_n} = \frac{\partial}{\partial z_n} k_n \frac{\partial \Pi_n}{\partial z_n} , \qquad (5)$$

$$\mathcal{U}_{n} \frac{\partial S_{n}}{\partial x_{n}} + w_{n} \frac{\partial S_{n}}{\partial x_{n}} = \frac{\partial}{\partial x_{n}} k_{n} \frac{\partial S_{n}}{\partial x_{n}} , \qquad (6)$$

$$U_n \frac{\partial \mathcal{E}_n}{\partial x_n} + w_n \frac{\partial \mathcal{E}_n}{\partial z_n} - k_n \left[\left(\frac{\partial U_n}{\partial z_n} \right)^2 + \left(\frac{\partial U_n}{\partial z_n} \right)^2 - \widetilde{\beta} \frac{\partial \theta_n}{\partial z_n} - \frac{\partial \theta_n}{\partial z_n} \right]$$

$$-\gamma - \widetilde{\beta}_{1} \frac{\partial g_{n}}{\partial z_{n}} \bigg] = -\frac{c \delta_{n}^{2}}{k_{n}} + \alpha_{g} \frac{\partial}{\partial z_{n}} k_{n} \frac{\partial \delta_{n}}{\partial z_{n}} , \qquad (7)$$

$$\vec{k}_n = \ell_n \sqrt{\ell_n} \quad , \tag{8}$$

$$\ell_n = -\mathcal{X} c^{i/4} \frac{\beta_n / k_n}{(i + \alpha z_n) \frac{\partial}{\partial z} (\beta_n / k_n)} ; \qquad (9)$$

$$\eta_{n} = \mathcal{I}_{n} = \mathcal{I}_{n} = \mathcal{U}_{n} = \mathcal{U}_{n} = 0, \quad \frac{\partial \mathcal{E}_{n}}{\partial z_{n}} = 0, \quad \mathcal{E}_{n} = \mathcal{R} z_{n}, \\
\Pi_{n} = \frac{\Pi_{o} - \Pi_{h}}{\Pi' - \Pi_{l}} = const; \quad S_{n} = \frac{S_{o}}{q_{h}} = const;$$
(10)

npu
$$\mathbf{X} = \mathbf{I}$$
 $U_n = 1$, $U_n = 0$, $B_n = 0$, $\Pi_n = 0$, $S_n = S_{nh} = const$. (11)

$$\Pi = 0 + \frac{L}{C_{\rho}} q \quad , \qquad S = q + \delta,$$

q — массовая доля влаги; δ — водность тумана; α_{e} , α_{q} , α_{g} — отношения коэффициентов турбулентного обмена для тепла, влаги и энергии турбулентности к коэффициенту обмена для количества движения; $\Gamma = \gamma_{o} - \gamma_{g}$; γ_{o} , γ_{g} — оухо— и влажноадиабатический градиенти. (Остальние обозначения общеприняти.)

Безразмерние переменные определены следующим образом:

$$z_{n} = \frac{\chi}{h} , x_{n} = \frac{\chi}{h} , u_{n} = \frac{U}{G} , v_{n} = \frac{v}{G} ,$$

$$w_{n} = \frac{w}{G} , q_{n} = \frac{q}{q_{h}} , \quad \theta_{n} = \frac{\theta - \theta_{h}}{\theta_{o} - \theta_{h}} , \qquad (12)$$

$$\theta_{n} = \frac{\theta}{G^{2}} , k_{n} = \frac{k}{Gh} , \quad \ell_{n} = \frac{\ell}{h} , \quad \pi_{n} = \frac{\pi}{G^{2}} ,$$

где h — висота пограничного слоя (величина постоянная в данной модели), C — геострофический ветер, ℓ — масштаб турбулентно— сти, $\theta_o = \theta \Big|_{z=z_o}$, $\theta_h = \theta \Big|_{z=h}$. Безразмерние параметри определяются по формулам

$$\mathcal{J} = \frac{fh}{G}, \quad \xi = \frac{P}{\rho R \theta_0}, \quad \widetilde{\beta} = \frac{\alpha_0 g h(\theta_0 - \theta_h)}{\overline{\theta} G^2}$$

$$\beta_1 = \alpha_g g \cdot 0.61 \cdot h g_h, \quad \eta = \begin{cases}
0 & \text{bue odinana} \\
0.61 g \alpha_0 C_0 \Gamma h & \text{bodinane}, \\
L G^2, & \text{colored}
\end{cases}$$

$$\zeta = \frac{g \Delta \theta h}{\overline{\theta} G^2}, \quad \text{colored}$$

$$\zeta = \frac{g \Delta \theta h}{\overline{\theta} G^2}, \quad \text{colored}$$

$$\zeta = \frac{g \Delta \theta h}{\overline{\theta} G^2}, \quad \text{colored}$$
(13)

В отличие от /6, 8/ в уравнениях движения учтено изменение давпения, вызванное изменением температуры поверхности. Вместо давления введена величина // , определяемая следующим образом:

$$\mathcal{T} = \frac{C_{\rho} \overline{\theta}}{A} \left(\frac{\rho}{1000} \right)^{\frac{AR}{C_{\rho}}} = \frac{C_{\rho} \overline{\theta} T}{A \theta},$$
(14)

де $\mathcal{C}_{
ho}$ - теплоемкость воздуха при постоянном давлении;

А - термический эквивалент работи;

Разовая постоянная воздуха;

Т - абсолютная температура воздуха (в ^оС);

 $\widehat{\boldsymbol{\theta}} = const$ — среднее значение потенциальной температуры;

0 - потенциальная температура.

учет слагаемого (I4) в уравнениях движения при умеренных горизонтальных перепадах $\mathcal M$ незначительно влияет на профили скорости.

Для оценки величини гололедних отложений, оседающих в 1 с на ци-линдре длиной ℓ , нами использовалось соотношение, предложенное

где τ — радиус провода; $E(\rho)$ — коэффициент захвата; \mathcal{U} — скорость ветра на уровне отложений гололеда.

Система уравнений (1)-(9) с граничними условиями (10-(11) реша- пась численно методом, описанним в 4I. Граница тумана находилась по профилям Π и S. В области тумана $q_m(T)$ задавалась формулой Магнуса. После нахождения граници тумана или облачности по внчисленним профилям Π и S восстанавливались профили $\Theta(z)$, Q(z) и $\overline{d}(z)$ на наждом шаге по x. При решении данной задачи в первом приближении для проведения предварительных оценок считалось возможным пренебречь радиационным притоком тепла. Приведем результати расчета для ситуаций, характерных для зимних условий при наличии откритой поверхности подогретой води. Во всех трех рассмотренных случаях над водоемом при температуре поверхности води выше температуры поверхности суши образовывался туман.

1. Влажность на поверхности суши и во всем пограничном слое велика, так что даже на наветренном берегу при квазистационарных условиях вблизи поверхности образовался туман. Над водной поверхностью туман усилился.

 $(\Delta \theta = -10, \Delta q = 2, \widetilde{\Pi} = -1, 1, \text{ где } \widetilde{\Pi} = \Pi_{n \text{ hodel}}^{\circ} / \Pi_{n \text{ сущи}}^{\circ})$

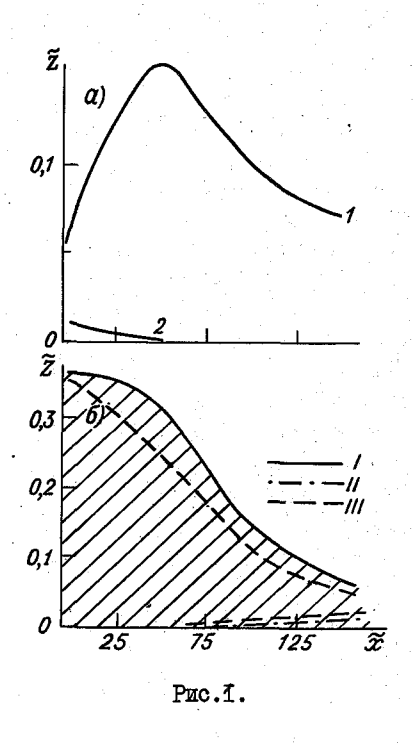
2. Влажность на поверхности суши меньше, чем в первом случае; на наветренном берегу туман не образуется. Дальнейшее продвижение воздушной масси над подогретим водоемом приводит к образованию тумана над водой и деформации его характеристик при перемещении воздушного потока. На подветренном берегу также наблюдается туман.

 $(\Delta \theta = -10, \Delta q = 1.8, \widetilde{\Pi} = 1.2)$

3. Приподнятий туман на наветренном берегу. Над водоемом туман опускается до поверхности. На подветренном берегу туман распространяется от поверхности земли. При дальнейшем удалении потока от граници раздела поверхностей на подветренном берегу туман начинает разрушаться не только сверху, но и снизу. ($\Delta \theta = -13$, $\Delta q = 2$,

П = -1,3.) Рассмотрен рис.1, иллюстрирующий для этих случаев положение верхних (кривые I) и нижних (кривая П) границ тумана на
подветренном берегу водоема в зависимости от горизонтального удаления от граници раздела поверхностей воды и суши. Случаи I и 2 отличаются вертикальным перепадом влажности в набегающем потоке на наветренном берегу. Как видно из рис.1, изменение вертикального перепада влажности всего на 10 % существенно меняет положение граници
тумана (кривые I и 2 на рис.1а). Случаи 2 и 3, помимо изменения
вертикального перепада влажности, отличаются также и вертикальным

Ленинградский

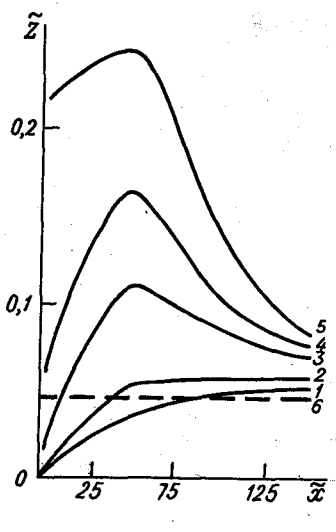


перепадом потенциальных темпера-Как видно из рис.1 б (кривие Т.П), третьем сдучае разрушение тумана при переходе воздушной масси на подветренную поверхность суши происходит не только сверху, но и снизу и он по мере продвижения воздушной массы по потоку переходит в приподнятый туман. нижняя граница которого приполнимается, а верхняя опускается: Естественно, что характеристики тумана и, в частности, положение его границ, зависят от размеров водоема. На рис. 16 показан пример оценки влияния размеров водоема на положение границы на полветренном берегу. Уменьшение линейных размеров водоема в четире раза приводит к существенному изменению положения границ тумана (кривые Ш).

Значительное влияние на положение граници оказывает также и степень нагретости водоема. Рис.2 иллюстрирует это влияние $(\mathbf{I} - \widetilde{\mathbf{\Pi}} = -0.2; 2 - \widetilde{\mathbf{\Pi}} = -0.3; 3 - \widetilde{\mathbf{\Pi}} = -0.8; 4 - \widetilde{\mathbf{\Pi}} = -1.1; 5 - \widetilde{\mathbf{\Pi}} = 1.4; 6 - \widetilde{\mathbf{\Pi}} = 1)$. Чем внше температура водоема, тем внше верхняя граница тумана. Так, например, изменение температури водоема на 6 °C (от 4 до \mathbf{IO} °C) приводит к увеличению максимальной мощности тумана в три раза (кривне $\mathbf{2}$ и $\mathbf{4}$).

На этом же рисунке показано, как изменится структура турбулентного пограничного слоя при наличии тумана, если квазистационарный режим над однородной поверхностью сменится условиями горизонтальной неоднородности. Если он не онло подогреваемого водоема, то для случая I мы имели он туман с фиксированными характеристиками (на рис.2 квазистационарная граница тумана показана кривой 6). Наличие же подогреваемого водоема существенно меняет распределение температуры и влажности на подветренном берегу водоема и соответственно параметры адвективного тумана. При дальнейшем удалении от границы раздела поверхностей влияние подогреваемого водоема уменьшается.

Как указивалось више, наличие жидкой капельной фази приводит к образованию гололедних отложений. Проследить за трансформацией поля гололедних отложений по мере поступления воздушной масси на бо-



PMC.2.

лее хололную полстилающую поверхность позволяет рис.З (усл.обозн.см.рис.2). На этом рисунке показано ОТНОШЕНИЕ ВЕЛИЧИНИ МАКСИмальных отложений гололела на подветренном берегу на DASHUX DACCTOSHUSX OT VDeза воли при наличии попогреваемого волоема (W_{max}) к величине максимальных отложений гололеда, образуюшихся в квазистационарних **УСЛОВИЯХ ПОИ ОТСУТСТВИИ** волоема (То). Вилно. что наличие водоема увелимет винежокто итс тевии больше, чем више темпера-

тура водоема. При удалении от граници раздела W_{max}/W_{max}^{σ} стремится к значению, которое было би при отсутствии водоема. Однако при определенном соотношении внешних параметров (главным образом

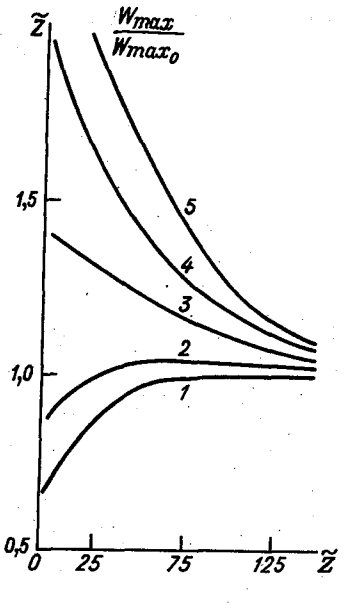


Рис.3.

вертикального перепала влажности и степени нагретости водоема) наличие волоема, согласно DACTETAM. MOKET VMCHbmath вблизи береговой линии максимум. отложений гололеда (кривне I и 2 рис.3). Этот последний результат не тривиален и нужлается в дальнейшей проверке. Распределение массы голоделных отложений по висоте на полветренном берету волоема (рис.4) существенно зависит от температуры поверхности воды: повышение температурк водоема приводит к увеличению гололедных отложений на панной высоте и повышению уровня максимального гололедного отложения (усл. обозн.см.рис.2).

Численные эксперименты показали, что модель может быть применена

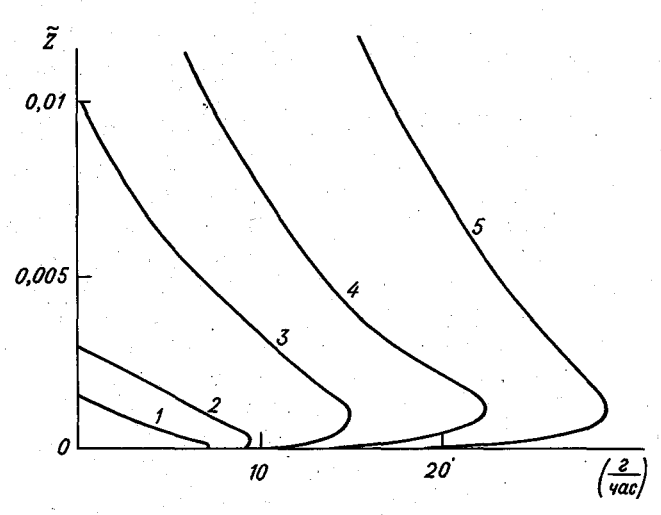


Рис.4.

для оценки параметров гололеда. Все приведенные примерн — это лишь предварительные результати. Дальнейшие уточнения модели должны проводиться как по линии детализации физических основ формули, применемой для расчета гололедных отложений, так и по уточнению описания структуры планетарного пограничного слоя с учетом фазовых переходов.

СПИСОК ЛИТЕРАТУРЫ

- 1. Бойков В.П. К оценке косвенного метода расчета гололедних нагрузок на высоте сооружения. - Труды ГГО. 1978, вып.408, с.19-25.
- 2. Буйков М.В., Хворостьянов В.И. Формирование и эволюция радиационного тумана и слоистой облачности в пограничном слое атмосфери. — Изв.АН СССР ФАО, 1977, т.13, № 4, о.356—370.
- З.Буйков М.Б., Хворостьянов В.И. Численное моделирование суточной эволюции пограничного слоя атмосферы при облаках и туманах. Метеорология и гидрология, 1981, № 4, с.35-45.
- 4. Вагер Б.Г., Надежина Е.Д. Пограничний слой атмосферы в условиях горизонтальной неоднородности. Л.: Гидрометеоиздат, 1979. 136 с.
- 5. Дегтярев А.Д. К вопросу о расчете гололедных нагрузок в нижнем 500 метровом слое атмосферы. Труды ЦВГМО, 1980, вып.15, с.57-62.
- 6. Егоров Б.Н., Надежина Е.Д. Использование численной модели горизонтально-неоднородного пограничного слоя для расчета карактеристик туманов испарения. - Труда ГТО. 1982. вып.468. с.49-56.
- 7. Захарова И.М. Численное моделирование процесса образования и развития радиационного тумана. Труди ИЗМ, 1975, вып. 9(52), с. 124-136.
- 8. Матвеев Л.Т. Динамика облаков. Л.: Гидрометеоиздат, 1981. 311 с.
- 9. Хргиан А.Х. Физика атмосферы. М.: Государственное издательство физико-математической литературы, 1958.

МОДЕЛЬ ПРИПОВЕРХНОСТНОГО ТУРЕУЛЕНТНОГО ПОТОКА ПРИ НАЛИЧИИ ПРОНИПАЕМЫХ ПРЕПЯТСТВИЙ

Для приповерхностного слоя атмосфери достаточно характерним является наличие случайно распределенных препятствий различного рода, к которым можно отнести капли дождя, бризги над взволнованной водной поверхностью, растительность самых разных видов и т.д. Основной особенностью этих препятствий, обобщенно назнваемых в дальнейшем решеткой, является проницаемость их для воздушного потока. Аналогичная ситуация имеет место при течении води в водорослях, в водозаборниках и т.д.

При наличи решетки применимость уравнений Навье-Стокса ограничивается случайно распределенними, с произвольной конфигурацией области свободного пространства. Решение задачи о структуре потока при индивидуальном его описании около каждого из препятствий с учетом взаимодействия локальных пограничных слоев и последующим осреднением по пространству представляется нереальным. Одним из способов расчета средних характеристик в этом случае является моделирование поверхностных сил, возникающих на хаотически расположенных элементах проницаемой решетки, некоторой непрерывно распределенной по объему силой торможения [4, 12]. Таким образом, в балансе действующих сил одна из них по определению является осредненной, что исключает возможность использования уравнений для мгновенных величин в качестве исхопных.

Осредненная сила торможения равна взятой с обратним знаком силе воздействия жидкости на решетку. Эта сила в свою очередь является суммой сопротивления трения и сопротивления давления. Поскольку сила трения в уравнениях движения для свободних областей определяется касательными напряжениями, кажется возможным и дополнительную силу трения, возникающую при наличии решетки, учитивать с помощью некоторой поправочной функции ϕ_{τ} в этих напряжениях. А импульс, передаваемий решетке силами давления, моделировать введением в уравнение движения дополнительного слагаемого ϕ_{ρ} .

Функция φ_{τ} зависит от целого ряда факторов, из которых ми вибрали аэродинамическую густоту решетки $\tau_{\tau} = C_{\tau} S_{\tau}$ и расстояние τ от экрана, которым в нашем случае является подстилающая поверхность.
Индекс τ указивает, что данная величина так или иначе связана с
касательными напряжениями, возникающими в турбулентном потоке со
сдвигом. Параметр S_{τ} характеризует площадь боковых поверхностей
элементов решетки в единице объема, C_{τ} — коэффициент сопротивления трения. Чтоби при отсутствии решетки исходная система принимала

обычный вид, для $\phi_{ au}$ привлекается простейшее представление:

$$\varphi_r = I + A_r \tau_r \tau_r, \tag{I}$$

Слагаемое φ_{ρ} полагается пропорциональным площади лобового сечения элементов решетки в единице объема S_{ρ} , коэффициенту сопротивления давления C_{ρ} и, как обычно, квадрату относительной скорости $V_{cr} = V - V_{c}$, где V и V_{c} — векторы средней скорости потока и решетки /10, 11, 12/. При $V_{cr} > 0$ решетка оказывает тормозящее действие, $\varphi_{\rho} < 0$, так что

$$\varphi_{\rho} = -g r_{\rho} |V_{\sigma \tau}| V_{\sigma \tau}.$$

Но на данном этапе работи модификация уравнений движения ограничивается введением только дополнительного члена ${\mathcal F}$, который учинвает уже полную силу сопротивления

$$\mathcal{F} = - g \tau | V_{\sigma \tau} | V_{\sigma \tau} , \quad \tau = C_{\tau} S.$$

Все различия в аэродинамических характеристиках решетки, в ее конфигурации и ориентации относительно направления ветра сводятся к различию в коэффициентах сопротивления C_{σ} , определяемых экспериментальным путем. Густота решетки учитывается множителем S, характеризующим общую площадь элементов решетки в единице объема.

Попытка раздельного учета сопротивления трения и давления предпринимается ниже при рассмотрении уравнения баланса турбулентной энергии (УБТЭ).

Рассматривается ситуация, когда поток в направлении перпендику мярном движению является однородним, а силой Кориолиса можно пренебречь.

С учетом вышесказанного, уравнения для продольной (α) и вертикальной (α) компонент скорости потока в стационарном случае имеют вид

$$u\frac{\partial u}{\partial x} + w\frac{\partial u}{\partial x} = -\frac{1}{g}\frac{\partial \rho}{\partial x} + \frac{1}{g}\frac{\partial \tau}{\partial x} - \frac{2}{3}d_{x}\frac{\partial \beta}{\partial x} + \frac{1}{g}\mathcal{F}_{x}, \quad (2)$$

$$u\frac{\partial w}{\partial x} + w\frac{\partial w}{\partial z} = -\frac{1}{g}\frac{\partial \rho}{\partial z} - g + \frac{1}{g}\frac{\partial \tau}{\partial x} - \frac{2}{3}6_{z}\frac{\partial \beta}{\partial z} + \frac{1}{g}\mathcal{F}_{z}, \quad (3)$$

$$\tau = \alpha_{xz} k g \left(\frac{\partial u}{\partial z} + \frac{\partial w}{\partial x} \right), \qquad k = C_{\varepsilon}^{1/4} \ell \sqrt{k}, \qquad (4)$$

$$\mathcal{F}_z = -g z |V_{\sigma r}| u_{\sigma r}$$
, $\mathcal{F}_z = -g z |V_{\sigma r}| w_{\sigma r}$,

где ρ — давление; ℓ , k и ℓ — масштаб, коэффициент и энергия турбулентности соответственно; g — ускорение сила тяжести; 6_x , 6_x и α_{xx} — коэффициенти пропорциональности [7].

В дальнейшем, что существенно отличает данную работу от других аналогичных ей, уравнения (2)-(3) сводятся к одному уравнению четвертого порядка для функции тока [7]. Дополнительная информация о некоторых причинах такого перехода имеется в [8, 9].

Во многих работах для замикания исходной системи привлекается УБТЭ /1-6/, которое из-за отсутствия уравнений для мгновенних значений составляющих скорости нельзя получить стандартной процедурой. Чтоби учесть влияние препятствий непосредственно в УБТЭ, приходится привлекать дополнительние гипотези. Обично принимается /4/, что наличие решетки приводит к увеличению скорости перехода энергии среднего ΔE в энергию пульсационного движения ΔB , причем

$$\Delta E = -\Delta B. \qquad (5)$$

Однако если предположить, что введение дополнительного слагаемого, аналогично \mathcal{F} , возможно и в неосредненных уравнениях движения, то, следуя обичной методике /6/, в УБТЭ получим слагаемое, которое приводит к увеличению уже не генерации турбулентной энергии,
а скорости ее диссипации /5/. Как отмечалось внше, правомерность
такого подхода вызывает определенные сомнения. В то же время заслуживает внимания вывод, что наличие решетки приводит к уменьшению
энергии и среднего, и пульсационного движений.

Учитывая форму записи дополнительной силы сопротивления в уравнениях движения, выражение для $\Delta \mathcal{E}$ имеет вид

$$\Delta E = -\tau |V_{ar}| V_{or} V. \tag{6}$$

Тогда, согласно гипотезе (5), аналогичное, но с противоположным знаком слагаемое для дополнительной генерации турбу лентной энергии войдет в УБТЭ.

Даже для жестких неподвижных препятствий отсутствует, по-видимому, однозначная связь между величинами ΔE и ΔB , не говоря уже о ситуациях, когда решетка под действием каких-то внешних сил может двигаться в произвольном направлении и с любой скоростью, в том числе и превнывющей скорость потока. В этом случае знаки ΔE и ΔB не всегда будут противоположными, как следует из (5).

В области рассматриваемих масштабов движения процесс перехода энергии является однонаправленним — от среднего движения к пульса— ционному. При совпадающем направлении движения потока и решетки и

 $|V_z| > |V|$, использование гипотезн (5) приводит к переходу турбулентной энергии в энергию среднего движения, котя в этом случае следует ожидать положительных знаков и у ΔE , и у ΔB . Ес-

ли еще допустить возможность существования нестационарных процессов, когда при $V_{or} \neq 0$ можно в первом приближении считать V=0, то для ΔB вместо (6) будем иметь

$$\Delta \beta = \tau |V_{or}|^3. \tag{7}$$

Таким образом, в случае движущейся решетки гипотеза (5) не всегда оказнвается приемлемой. Кроме того, в отличие от уравнений движения попробуем общее влияние решетки разделить на механизми, связанные с изменением сопротивления трения и давления. Для этого рассмотрим возможние физические процесси, которые могут влиять на перестройку энергетических соотношений в турбулентном потоке при натекании его на решетку.

На каждом отдельном препятствии за счет прилипания возникает свой пограничний слой, в котором градиенти средней скорости значительно превншают значения, характерние для "чистих" областей. Это приводит к увеличению обичной трансформации $T_{\mathcal{C}_{\tau}}$ энергии среднего движения в турбулентную энергию. Но одновременно возрастает и скорость диссипации ε турбулентной энергии в тепло. По-видимому, данний механиям можно учесть введением в выражения для $T_{\mathcal{C}_{\tau}}$ и ε некоторых функций f_{τ} и f_{ε} :

$$T_{\tau_{\tau}} = f_{\tau} \frac{\tau^2}{\alpha_{\kappa_{\tau}} g^2 k} - 6\theta \frac{\partial u}{\partial x}, \quad \xi = f_{\varepsilon} c_{\varepsilon} \frac{\theta^2}{k}, \quad \epsilon = \frac{2}{3} (\epsilon_{x} - \epsilon_{z}). \quad (8)$$

Функции $f_{\mathcal{C}}$ и $f_{\mathcal{E}}$ по аналогии с (1) представляются в виде:

$$f_{\varepsilon} = 1 + \beta_{\varepsilon} \Upsilon_{\varepsilon} Z$$
 , $f_{\varepsilon} = 1 + \beta_{\varepsilon} \Upsilon_{\varepsilon} Z$,

Как уже отмечалось, при любих взаимних перемещениях воздуха и решетки и независимо от причини движения последней происходит дополнительное вихреобразование, а значит, и увеличение скорости диссипации турбулентной энергии. При совпадающем направлении движения и

 $|V_z| > |V|$ на этот процесс расходуется какая-то часть энергии движущейся решетки, которая могла он перейти в энергию среднего движения. При тормозящем действии решетки на вихреобразование расходуется непосредственно энергия среднего движения. Поэтому кажется разумным считать, что функции f_c и f_ε больше единицы. Однако слишком много факторов влияет на изменение скорости генерации и диссипации турбулентной энергии, чтобы заранее можно было сделать определенные выводы о соотношении и значениях этих коэффициентов.

Примем, что существует механизм, непосредственно не связанный с генерацией туроулентной энергии за счет обичного взаимодействия напряжений Рейнольдса с градиентом средней скорости, но который обеспечивает переход части энергии среднего движения в энергию тур-булентности. В отличие от преднаущего, этот дополнительный источ-

ник турбулентной энергии, имеющий место в следе за препятствиями, будем называть прямой турбулизацией потока. В частности, сюда относится механизм образования вихревых дорожек Кармана.

Большинство естественных решеток не являются абсолютно жесткими и неподвижними. Поэтому следует учитывать возможные изменения $\Delta \mathcal{E}$ и $\Delta \mathcal{B}$, связанные с разгоном или торможением капаль дождя и бризг, с преодолением сил упругости при деформации растительности, о чем упоминается, например, в /5/ и т.д. Именно турбулентный характер ветра вызывает колебания различных элементов решетки в различных направлениях и с различными амплитудами и частотой. Эти колебания как поглощают, так и генерируют турбулентную энергию, хотя и на разных масштабах.

Обично, полагается, что одним из основних последствий воздействия решетки на структуру потока является дробление вихрей, приводящее к увеличению турбулентной энертии ℓ 4/. Так же как и упоминавшиеся внше, этот механизм в еще большей степени чем турбулизация может усиливать диссипацию. Многое зависит от спектра турбулентности в набегающем потоке и типа решетки. Пусть ℓ_m — размер вихрей максимума в спектре турбулентности, δ — характерний размер ячейки решетки. При $\delta \gg \ell_m$ решетка не будет сколько-нибудь заметно влиять на спектр турбулентности. Если $\delta \ll \ell_m$, то интенсивное дробление вихрей вряд ли будет способствовать усилению турбулентной энертии. Скорее наоборот, основным процессом будет увеличение диссипации. И только при $\delta \sim \ell_m$ за счет дробления вихрей будет, по-видимому, наблюдаться положительное Δb .

В работе принимается, что рассмотренные три механизма дополнительной турбулизации и диссипации связани в основном с изменением сопротивления давления. В УБТЭ они объединени в одно слагаемое, которое моделируется на основе формули (6):

$$T_{\tau_{\rho}} = B_{\rho} \, \tau_{\rho} \, |V_{\sigma\tau}|^{3}. \tag{9}$$

Единственной известной нам работой, учитнвающей наличие движущихся препятствий, является монография /I/. В этой монографии рассматривается, правда, не прохождение потока сквозь решетку, а обтекание им движущихся волнообразных и непроницаемых препятствий, тем не менее в УБТЭ появляется слагаемое, пропорциональное абсолютной неличине куба относительной скорости движения этих препятствий.

Соотношение процессов турбулизации и диссипации определяется не только параметрами ячеек и спектральными характеристиками потока, но и толщиной и шероховатостью элементов решетки, стратификацией потока, близостью твердих границ и другими факторами. Вполне реальной представляется ситуация, когда увеличение диссипации будет

превалировать над дополнительной турбулизацией, так что $\mathcal{B}_{
ho}\!\!< 0$.

В случае влияния скорости потока на степень деформации решетки, что присуще растительности, коэффициенти B_{τ} , B_{ε} , B_{ρ} будут функциями этой скорости, поскольку зависимость только аэродинамической густоти τ от $V_{\sigma\tau}$ сможет в достаточной степени скорректировать лишь результати расчета по уравнениям движения. В принципе, дело обстоит еще сложнее. Связано это с тем, что даже при постоянной геометрии решетки будут меняться по висоте спектральние характеристики потока, и следовательно, соотношение процессов дополнительной генерации и диссипации турбулентной энергии. Чтоби как-то учесть это обстоятельство, следует принять коэффициенти B_{τ} , B_{ε} , B_{ρ} изменяющимися по висоте. В работе параметр B_{ρ} полагается постоянним, а B_{τ} и B_{ε} препорциональними (τ_{c} τ). Таким образом f_{τ} и f_{ε} оказиваются независящими от висоти.

Разделение источников дополнительного притока турбулентной энергии и ее диссипации на механизм, связанный с увеличением среднеобъемного градиента средней скорости, и на механизм прямой турбулизации с учетом деформации решетки не является принципиально необходимим. Можно ограничиться подбором функций $f_{\mathcal{C}}$ и $f_{\mathcal{E}}$ при $f_{\mathcal{C}\rho}\equiv 0$, либо, наоборот, модифицировать УБТЭ введением, как это обично делается, только слагаемого типа (9) при $f_{\mathcal{C}}=f_{\mathcal{E}}\equiv 1$. Предлагаемый подход объясняется главным образом желанием как-то разделить силу воздействия жидкости на решетку на сопротивление трения (функции $f_{\mathcal{C}}$ и $f_{\mathcal{E}}$) и сопротивление давления (слагаемое $f_{\mathcal{C}\rho}$). Кроме того, одновременное их использование делает схему более гибкой. Можно предположить, что эффективность этих механизмов будет разной в различних областях потока. Если один из них пропорционален относительной скорости, то второй во многом определяется ее градментом.

Таким образом, УБТЭ записивается в виде:

$$u\frac{\partial \mathcal{B}}{\partial x} + w\frac{\partial \mathcal{B}}{\partial x} = \alpha_{\delta} \left(\beta_{x} \frac{\partial}{\partial x} \dot{k} \frac{\partial \mathcal{B}}{\partial x} + \beta_{x} \frac{\partial}{\partial z} \dot{k} \frac{\partial \mathcal{B}}{\partial z} \right) + \mathcal{T}_{c_{x}} - \varepsilon + \mathcal{T}_{c_{\rho}}, \quad (10)$$

где $\alpha_{\mathcal{S}}$ — отношение коэффициентов турбулентности для турбулентной энергии $k_{\mathcal{S}}$ и получаемого по формуле (4); $\beta_{\mathbf{x}}$ и $\beta_{\mathbf{z}}$ — параметры, карактеризующие различие коэффициента $k_{\mathcal{S}}$ в горизонтальном и вертикальном направлениях \mathcal{T} ; $\mathcal{T}_{\mathbf{z}_{\mathbf{z}}}$, \mathcal{E} и $\mathcal{T}_{\mathbf{z}_{\rho}}$ рассчитиваются по формулам (8) и (9).

Для масштаба турбулентности ℓ в растительном покрове используются различние соотношения. Многие из них получени в предположении, что ℓ определяется как механизмом, характерным для "чистих" областей (ℓ_{\star}), так и параметрами решетки (ℓ_{\star}), т.е.

$$\ell^{-1} = \ell_1^{-1} + \ell_2^{-1}. \tag{II}$$

Оценки ℓ , осуществляются на основе различних предположений. Например, в /4/ принимается, что $\ell_{
m c}$ определяется аэродинамической густотой τ и высотой препятствий h_{τ} . В этом случае одним из двух возможных выражений для $\ell_{ au}$, вытекающих из анализа размерностей, является

> $\ell_{r} = h_{r} f(rh_{r})$ (12)

Если зависимость f от аргумента представить степенной функцией

$$\ell_r = h_r \left(z h_r \right)^r \tag{13}$$

 $\ell_{\rm c} = h_{\rm c} \left({\rm c}\,h_{\rm c}\right)^{\rm r}$ (13) и принять, что в предельном случае при $h_{\rm c} \! o \! \infty$ величина масштаба турбулентности не должна зависеть от высоты препятствий, то из (13) следует

> $\ell_r = (\alpha r)^{-1},$ (14)

 коэффициент пропорциональности. В /4/ для ℓ_{τ} предлагается выражение

$$\ell_{z} = \frac{1}{\beta} \sqrt{h_{z}/z} , \qquad (15)$$

 eta_{1} , tak же как и lpha , коэффициент пропорциональности. Видно, что формули (14) и (15) существенно различаются между собой. В частности, из (15) следует, что с уведичением высоты препятствий масштаб турбулентности стремится к значениям ℓ , , характерным для "чистых" областей. На наш взгляд, не $\,h_{ au}\,$, а типичный размер ячеек б является, в первую очередь, ответственным за величину ℓ_r . В этом случае показатель степени в (13), исходя из физических соображений, должен иметь значения в диапазоне: -1 $< \gamma <$ 0. Принимая, например, $\gamma = -0.5$, получаем

$$\ell_{\chi} = \frac{1}{\alpha_{R}} \sqrt{\delta/\chi} \ . \tag{16}$$

Если предположить, что в естественных условиях существует корреля-, то можно ограничиться формулой (I4). В этом ция между 7 случае из (11) следует:

 $\ell = \ell_1 \left(1 + \alpha \, \tau \, \ell_1\right)^{-1}$. Однако в случае $\tau = const$, из условия $\alpha = \beta_1 \left(\tau h_{\tau}\right)$ легко найти то значение « , при котором формулы (14) и (15) дают одинаковые масштаби турбулентности. В приводимих ниже примерах принято 🗘 = 6.

В данной работе начало координат располагается на уровне, где составляющие средней, но не пульсационной, скорости потока обращаодлентности ℓ_o , который служит основной характеристикой подстилавщей поверхности.

Для расчета масштаба турбулентности при отсутствии решетки имеется широкий выбор уравнений и формул /3, 4/, в том числе и простая линейная зависимость. При расчете ℓ_4 в "чистых" областях выше решетки, за начальное его значение при $\mathbf{x} = h_2$ принимается величина, полученная по формуле (17). На верхней границе области интегрирования $\mathbf{z} = h$ во всех примерах задавалась постоянная, независящая от свойств подстилающей поверхности величина равна $\mathbf{x} \cdot h$.

Опенку приемлемости предлагаемой модели естественно начинать с решения горизонтально однородной задачи. При z=0 задаются условие прилипания и соотношение между турбулентной энергией и ее градиентом 7, 9, при z=h— динамическая скорость u_{\star}^{1} и пропорциональная ей турбулентная энергия.

Рассматривается приповерхностний слой толщиной h=20 м и два типа решетки. В варианте, который для удобства изложения именуется полем, внсота решетки $h_z=0.246$ м, $\tau=0.5$ м $^{-1}$. В варианте, называемом в дальнейшем лесом, эти величини равни 4.2 м и 0.1 м $^{-1}$, соответственно. Расчети проводились на неравномерной по вертикали сетке, содержащей 26 узлов /8/. Все примери получени для изотропной туроулентности ($\sigma=0$) г одинаковом для всех сусстанций скалярном коэфициенте туроулентности ($\sigma=0$) г одинаковом для всех сусстанций скалярном $\sigma=0.4$; $\sigma=0.4$; $\sigma=0.03$; $\sigma=0.03$; $\sigma=0.03$

На всех рисунках, приводимих ниже, в зависимости от логарифма вертикальной координати, нормированной на висоту области интегрирования h, представлени безразмерние профили скорости ветра и касательного напряжения, нормированные на их значения при x = h. Волнистими линиями показана верхняя граница растительного покрова.

Имеющаяся в $\ell 4$ / информация не позволяет оценить значения начального масштаба турбулентности ℓ_o , который в данной работе связан с шероховатостью подстилающей поверхности \mathbf{x}_o обычным соотношением

 $\ell_o = \chi \; \chi_o$, нет никаких количественных оценок влияния этих параметров на рассчитанные значения искомых характеристик. Поэтому были выполнены расчеты для нескольких значений ℓ_o , которые приведены на рис.І. В этих расчетах $B_o = f_{rr} = f_s = 1 \; .$

На рис. I представлены профили скорости ветра $\mathcal{U}(a)$ и касательного напряжения $\mathcal{V}(\delta)$ для условий леса (сплошные кривые), поля (пунктир) и при $\mathbf{7} \equiv \mathbf{0}$ (штрих-пунктир). Кривые под номером 1 получены при $\mathbf{Z}_0 = \mathbf{0}.2$ см, кривые $\mathbf{2}$ - при $\mathbf{Z}_0 = \mathbf{20}$ см.

Заметнее всего ℓ_o влияет на профили u и v при отсутствии дополнительной сили сопротивления. При наличии решетки различия в аэродинамических свойствах непосредственно подстилающей поверхнос—

ти по мере увеличения висоти все в большей степени затушевиваются. Поэтому можно думать, что при решении модельних задач о строении турбулентного потока вблизи верхней граници слоя растительности и више можно ограничиться умеренными требованиями к точности вибора

 ℓ_o или \mathbf{z}_o . Однако внутри слоя растительности и, особенно, вблизи нижней границы, различия достаточно велики. Например, в лесу непосредственно при $\mathbf{z}=0$ рассчитанные значения \mathbf{z} получились равными 0,218 и 0,717 при $\mathbf{z}_o=0.2$ и 20,0 см, соответственно, т.е. различие почти 110 % относительно их среднего значения. Аналогичное различие на поле достигает 140 %. Тем не менее можно отметить, что в рассмотренных случаях при изменении шероховатости на два порядка принципиальных различий в распределениях скорости и потока импульса не происходит.

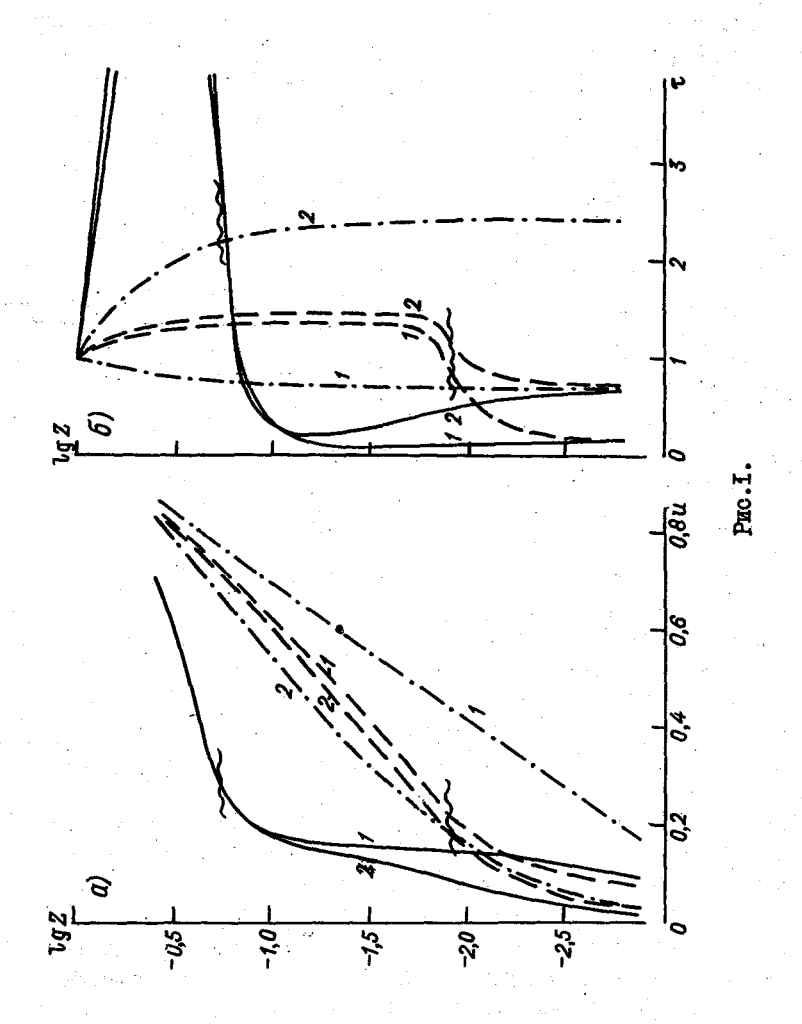
Сравнивая результати расчета скорости ветра при отсутствии решетки (рис. Ia), видно, что на малых высотах кривую 2, в отличие от кривой I, трудно признать логарифмическим распределением. При этом потоки импульса на этих высотах (рис. Iб) в обоих случаях практически не меняются с высотой. Отсутствие жесткой связи между полями скорости и касательного напряжения не является присущим только данной работе /8, 9/.

Обично касательное напряжение внутри растительного покрова уменьшается по мере приближения к подстилающей поверхности /4/. Форма профилей может бить различной, но, в общем, напоминающей поведение пунктирных кривых на рис. То. Внутри леса распределение $\mathfrak C$ получилось иным, имеющим значительно приподнятый над уровнем $\mathfrak Z=0$ минимум. Таким образом, в зависимости от сочетания параметров $h_{\mathfrak C}$, $\mathfrak C$ и $\mathfrak C_o$ характер изменения $\mathfrak C$ внутри зоны препятствий может оказаться весьма различным.

С качественной стороны общим для профилей $\mathcal T$ является их изменение вблизи верхней граници растительности и в какой-то степени више нее. В то же время относительные и абсолютние величини максимумов при $\mathbf z > h_{\mathbf z}$ над полем и лесом существенно различаются между собой. Подобные различия дают, например, результати измерений, приводимие в /4/ и //11/.

Первий рисунок получен при значениях \mathcal{B}_{ρ} , f_{τ} и f_{ξ} равных единице, т.е. по модели, которая в том, что касается учета дополнительной сили сопротивления, является аналогичной использовавшейся в $\ell 4 / \ell$. Влияние этих коэффициентов на рассчитанные профили, например, ℓ и τ показано на рис.2 (поле) и рис.3 (лес), на которых представленные результаты получены при $\ell_{\rho}=0.8$ см или $\tau_{\rho}=2$ см.

на этих рисунках сплошные кривые получены при $f_{\tau} = f_{\varepsilon} = 1$ и $B_{\rho} = 1$ (кривые 1), кривые 2 соответствуют случаю $B_{\rho} = -1$ (поле) и $B_{\rho} = -0.08$ (лес). Пунктирные кривые получены при $B_{\rho} = 0$ и $f_{\tau} = 10$,



 $f_{\epsilon}=$ 1 (кривне 1), и $f_{\tau}=$ 1, $f_{\epsilon}=$ 10 (кривне 2). Штрих-пунктирные кривне соответствуют случаю $\tau\equiv0$.

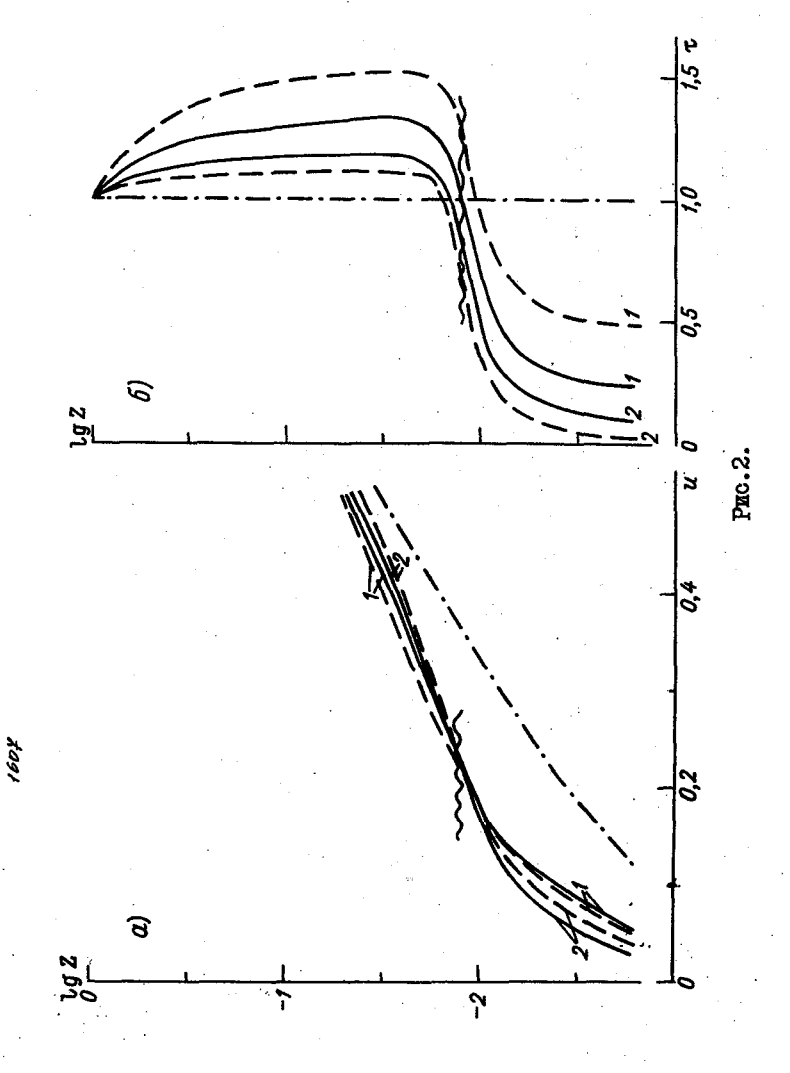
При рассмотрении слагаемого $T_{7\rho}$ в качестве диссипативного ($B_{\rho} < 0$) разумние физические результати внутри леса модель дает только при $B_{\rho} > -0.08$. Для поля значения B_{ρ} могут бить значительно меньшими. Поэтому примери, относящиеся к условиям поля (рис.2), представлени для $B_{\rho} = -1.0$, а в случае леса (рис.3) — для $B_{\rho} = -0.08$.

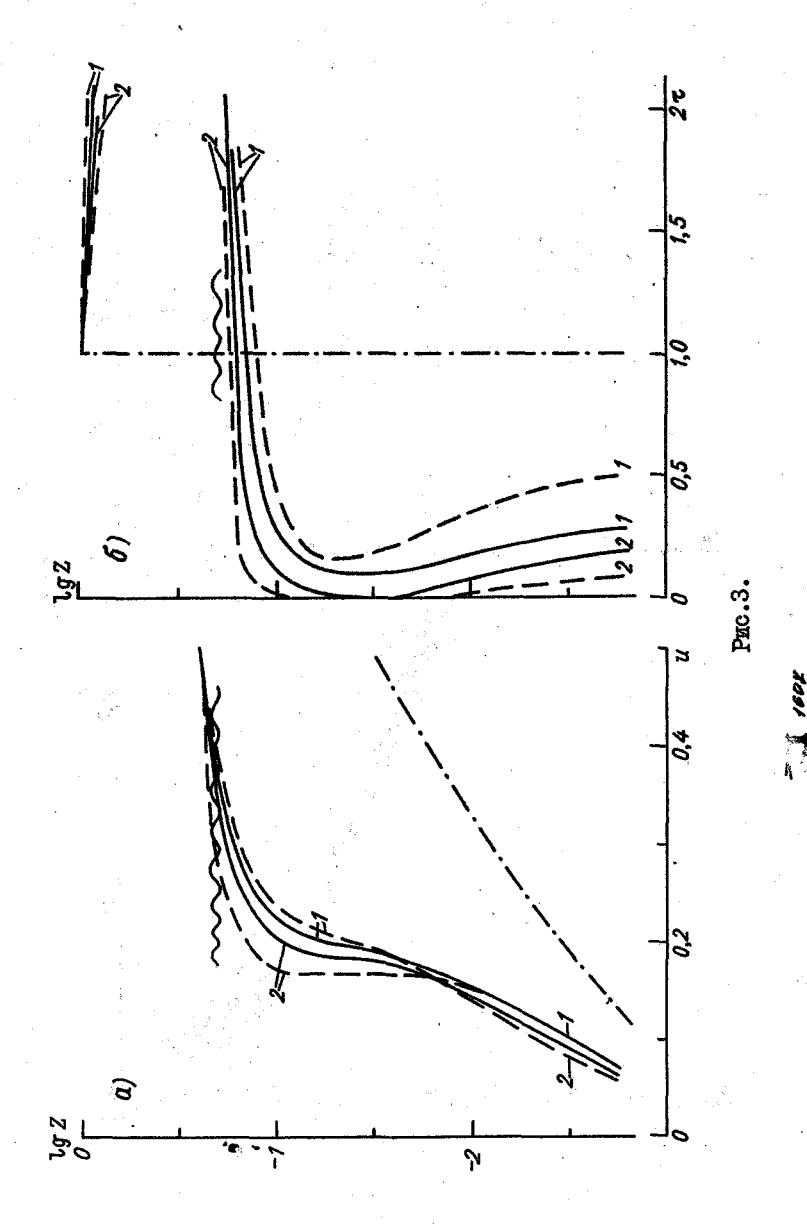
Графики скорости ветра для условий леса и поля показнвают, что сходние результати можно получить, привлекая различные способн учета сили $\mathcal F$ в УБТЭ. Трудно сделать вноор между введением отличных от единицы функций f_{τ} или f_{ε} и привлечением слагаемого $T_{c\rho}$. При $f_{\tau} > 1$ и $f_{\varepsilon} = 1$ получаются примерно такие же результати, как и при учете слагаемого $T_{c\rho}$ с $\mathcal B_{\rho} > 0$. При $f_{\varepsilon} > 1$ и $f_{\tau} = 1$ прослеживаются особенности, характерные для случая использования слагаемого $T_{c\rho}$ в качестве диссипативного члена ($\mathcal B_{\rho} < 0$).

Аналогичная картина наблюдается для профилей γ . При различних комбинациях численных значений \mathcal{B}_{ρ} , f_{ε} и f_{ε} остаются неизменными основные особенности в распределении γ и в лесу, и в поле. Так же как и на рис. f_{ε} , в низкой плотной растительности, начиная с уровня χ = 0, наблюдается монотонный рост касательного напряжения, в верхней же части леса прослеживается минимум χ . При этом одинаковую тенденцию изменения абсолютных величин обеспечивает использование χ > 0 или χ > 1 — для случая увеличения скорости генерации турбулентной энергии, и χ 0 или χ > 1 — для усиления скорости ее диссипации.

Анализ полученных результатов позволяет в качестве предварительного сделать вывод, что формирование обусловленных наличием решетки характерных особенностей турбулентного потока происходит вследствие соответствующей модификации уравнений движения, а способ учета дополнительной силы сопротивления в УБТЭ не имеет существенного значения. Более того, учет в той или иной форме силы $\mathcal F$ в УБТЭ не является принципиально необходимым условием для получения основных различий в распределениях, во всяком случае, скорости ветра и потока импульса при наличии и отсутствии решетки. Просто чтобы не загромождать графики, на них не приведены соответствующие случаю $\mathcal B_\rho = 0$, $f_{\mathcal E} = f_{\mathcal E} = \mathbf I$ профили, которые будут лежать где-то между сплошними кривыми на рис.2 и 3.

Следует подчеркнуть, что эти виводи относятся к условиям горизонтально однородной поверхности. При решении задачи о трансформации воздушного потока при натекании его, например, с поля на лес,
учет в УБТЭ слагаемого \mathcal{T}_{z_ρ} приводит вблизи граници раздела к существенно иним результатам /9/. Не исключено, кроме того, что важ-





ную роль снграло, например, условие постоянства по висоте аэродинамической густоти решетки. И может оказаться, что при других внешних и внутренних параметрах схеми подходящая комбинация \mathcal{B}_{ρ} , f_{τ} и f_{ε} приведет к желаемим результатам. Для окончательних и более детальних выводов требуются, конечно, дополнительние численние эксперименти.

CHICOK JIMTEPATYPH

- Бютнер Э.К. Динамика приповерхностного слоя воздуха. Л.: Гидрометеоиздат, 1978. – 158 с.
- 2. Вагер Б.Г. Учет горизонтальной диффузии в модели приземного слоя атмосфери. В кн.: Численние методы в гидромеханике. Межвузовский сборник. Труды ЛИСИ. Л., 1981, с.5-8.
- 3. Вагер Б.Г., Надежина Е.Д. Пограничний слой атмосферы в условиях горизонтальной неоднородности. Л.: Гидрометеоиздат, 1979. 136 с.
- 4. Дубов А.С., Бикова Л.П., Марунич С.В. Турбулентность в растительном покрове. - Л.: Гидрометеоиздат, 1978. - 182 с.
- 5. Дубов А.С. Об уравнении баланса кинетической энергии в слое растительности. - Трудн ITO, 1979, вып. 423, с. 90-95.
- 6. Монин А.С., Яглом А.М. Статистическая гидромеханика. Ч.І. М.: Наука, 1965. 639 с.
- 7. Симонов В.В. Турбулентний поток над волнистой границей. Труди ITO, 1979, вип. 423, с. 39-51.
- 8. Симонов В.В. Некоторые вопросы численного моделирования потока жилкости над волнистой границей. Труды ITO, 1981, вып. 454, с. 31-39.
- 9. Симонов В.В. Расчет взаимодействия турбулентного потока с горизонтально неоднородним растительним покровом. (См. наст. сборник).
- 10. Finnigan J.J. Turbulence in waving wheat. I. Mean statistics and honami. - Bound. - Layer Meteor., 1979, v. 16, N 2, p. 181-211.
- Finnigan J.J., Mulhearn P.J. Modelling waving crops in a wind tunnel. - Bound.-Layer Meteor., 1978, v. 14, N 2, p. 255-277.
- 12. Macha J.M., Norton B.J., Jonson R. Modeling the marine atmospheric boundary layer including the effects of sea spray. AIAA Pap., 1980, N 218, p. 1-14.

РАСЧЕТ ВЗАИМОДЕЙСТВИЯ ТУРБУЛЕНТНОГО ПОТОКА С ГОРИЗОНТАЛЬНО-НЕОДНОРОДНЫМ РАСТИТЕЛЬНЫМ ПОКРОВОМ

В работе /6/ рассматривается модель приповерхностного турбулентного потока жидкости при наличии проницаемих препятствий различного рода и приводятся некоторые примеры расчетов для горизонтально однородного случая.

В предлагаемой статье оценивается трансформация потока, обусловленная скачкообразным изменением каких-либс свойств решетки по направлению движения жидкости. Вертикальные размеры решетки и ее ориентация относительно направления основного переноса позволяют ограничиться рассмотрением продольной (α) и вертикальной (ω) компонент средней скорости потока.

Аналогичная задача является предметом исследования целого ряда теоретических и экспериментальных работ, общирная библиография которых содержится в монографии /2/. Для горизонтально однородного случая некоторые различия между /2/ и упоминающимися там работами и нашим подходом обсуждаются в /6/. В постановке горизонтально неоднородной задачи появляются дополнительные различия.

Во всех известних нам работах, за исключением работи /10/, о которой будет сказано ниже, в задаче о трансформации турбулентного потока при наличии горизонтально неоднородной решетки уравнения движения решаются в переменных скорость-давление. При этом поле давления считается заданным, а горизонтальная диффузия не учитывается. Эти упрощения, особенно вблизи границы раздела поверхностей с различними свойствами, могут существенно сказаться на результатах расчетов.

Если анализ ограничивается приземним подслоем, то из уравнений движения привлекается только первое - для И-компоненти, а вертикальная скорость определяется из уравнения неразривности, так что вместе с членом $\frac{\sigma}{\theta r} u'w'$ теряется один из возможних механизмов горизонтальной диффузии $\frac{\sigma}{\partial x}$. Когда рассматривается весь пограничный слой атмосферы, как это делается в [2], можно получить член с второй производной по х из уравнения для поперечной со-, который в обычной ставляющей скорости v . Но членом $\frac{\partial}{\partial x}u'w'$ градментной модели выражается через слагаемое $\frac{\partial}{\partial x} k$ пренебречь. Остается уравнение для и - компоненти скорости. Однако здесь возникает другое осложнение. В наиболее общей форме коэффициенты линейной зависимости тензора напряжения от тензора деформации должни представлять собой тензор четвертого ранга /3, **14**/

$$\overline{u_i' u_j'} = \frac{2}{3} \beta \delta_{ij} - k_{ij\alpha\beta} \left(\frac{\partial u_\alpha}{\partial x_\beta} + \frac{\partial u_\beta}{\partial x_\alpha} \right). \tag{1}$$

Основним свойством тензора k является обращение его в нуль при k = 1. Поэтому использование зависимости (1), как это делается, например в (6), исключает возможность получения эллиптического уравнения для (1) — компоненти. По этой же причине не будет уравнением второго подядка по вертикальной координате и уравнение для (1) Это значит, что при использовании его для расчета вертикальных скоростей можно получить требуемые значения для (1) только на одной границе. В этом смысле оно является аналогичным уравнению неразривности. Во всех этих рассуждениях молекулярными эффектами, естественно, пренебрегается.

При решении задачи в переменных скорость-давление и при отказе от гидростатического приближения можно воспользоваться известным методом, который и обеспечивает механизм передачи информации вверх по потоку, и позволяет учесть перестройку поля давления. Этот метод состоит в получении из уравнений движения и неразрывности эллиптического уравнения для давления, которое необходимо решать в каждом итерационном пикле, что весьма существенно увеличивает время счета /7/. Уравнения для составляющих скорости по одноименным координатам остаются при этом параболическими. Однако основная проблема связана с постановкой граничного условия для давления на горизонтально неолноролной поверхности.

Для трех искомих величин α , ω . ρ при ϵ = 0 физически очевидными являются условия $\omega = 0$, $\mathbf{w} = 0$. Аналогичного условия для давления или каких-либо его производных не имеется. Обычно предлагается использовать выражение для $\partial
ho/\partial z$, вытекающее из третьего уравнения движения после подстановки в него условия прилипания. Но получающееся при этом выражение для $\partial
ho/\partial z$ $\Pi p x = 0$ не является дополнительным физическим условием, а представляет собой лишь следствие предположения о выполнимости уравнения непосредственно на границе. Новой информации это выражение не содержит. так как полученное распределение давления будет совпадать (если не считать ошибок аппроксимации и округления, возникающих при численной реализации задачи) с распределением, которое было использовано вместе с условиями прилипания при решении уравнений движения. Именно это обстоятельство является в первую очередь причиной внимания к так называемым маршевым схемам расчета давления по одному из исходных уравнений движения /13/. Но для этого нужно решать уравнения движения не в переменных скорость-давление, а в переменных вихрь скорости ω - функция тока ψ . В такой постановке задача рассматривалась в работе /10/. Однако исходные уравнения в ней не содержат членов, описывающих взаимодействие потока с решеткой, что, в общем, является спецификой только этой работы. Общей трудностью при решении задачи в переменных $\omega - \Psi$ является постановка граничного условия для ω при z = 0 /8, 9, 11/. Это равносильно заданию касательного напряжения z_o , поскольку $\partial \omega/\partial x = 0$ и $\omega_o \sim - z_o$. (Нулевой индекс означает, что данная величина относится к уровню z = 0.)

Все подходи к решению этого вопроса сводятся в конечном итоге к использованию виражения, получающегося при разложении Ψ в ряд Тейлора в окрестностях точки $\mathbf{x}=0$, в котором учитивается условие прилипания, но только в дифференциальной форме. Нигде не используется конечно-разностний аналог этого условия. И один из недостатков такого подхода состоит в том, что рассчитанная при $\mathbf{x}=0$ по любому из конечно-разностних представлений производная $\frac{\partial \Psi}{\partial \mathbf{x}}$ не будет равна нулю, т.е. не будет виполняться условие u=0.

С учетом вышесказанного более приемлемим представляется подход, состоящий в переходе от уравнения для ω и Ψ к уравнению четвертого порядка для функции тока. При этом учитывается механизм продольной диффузии, определяется поле давления и не возникает осложнений с заданием граничных условий.

Перекрестным дифференцированием уравнений движения, приведенных в /6/, исключим давление, введем функцию тока и перейдем к безразмерным переменным, выбрав в качестве масштаба продольной составляющей скорости некоторое характерное значение u_m . Остальными масштабами являются величины

$$\begin{split} X_{m} &= \mathcal{L} \ , \ Z_{m} = h \ , \ \ell_{m} = \Re h \ , \ \tau_{m} = h^{-1}, \ w_{m} = \mathcal{D} u_{m} \ , \ \tau_{m} = g \, u_{m}^{2} \ , \end{split}$$

$$V_{m} &= k_{m} = h u_{m} \ , \ \beta_{m} = \bar{c}_{\varepsilon}^{1/2} u_{m}^{2} \ , \ T_{\varepsilon_{m}} = \varepsilon_{m} = \bar{c}_{\varepsilon}^{1/2} u_{m} L^{-1} \mathcal{F}_{m} g u_{m}^{2} L^{-1} \ , \end{split}$$

где $\mathcal{D}=h/L$, L – длина повторяющихся участков в периодической задаче. (Здесь и далее поясняются только те обозначения, которые отсутствуют в (6/.)

Тогда, уже в безразмерном виде, но без привлечения для этого специальных обозначений, получаем

$$\begin{split} & \frac{\partial}{\partial x} \omega \frac{\partial \Psi}{\partial z} - \frac{\partial}{\partial z} \omega \frac{\partial \Psi}{\partial x} = D \frac{\partial^2 r}{\partial z} + \frac{6}{\sqrt{C_e}} \frac{\partial^2 \theta}{\partial x \partial z} + D \frac{\partial}{\partial x} \, \mathcal{F}_z - \frac{\partial}{\partial z} \, \mathcal{F}_z \,, \\ \omega &= D^2 \frac{\partial \omega}{\partial x} - \frac{\partial \omega}{\partial z} \,, \quad r = \alpha_{xz} \, k \left(\frac{\partial \omega}{\partial z} + D^2 \frac{\partial \omega}{\partial x} \right) \,, \end{split}$$

$$u = \frac{\partial \Psi}{\partial x}$$
 , $w = -\frac{\partial \Psi}{\partial x}$

Следуя /6/, уравнение баланса турбулентной энергии запишем в виде

$$\frac{\partial}{\partial x} \beta \frac{\partial \Psi}{\partial z} - \frac{\partial}{\partial z} \beta \frac{\partial \Psi}{\partial x} = \alpha_{\beta} \left(\beta_{x} D \frac{\partial}{\partial x} k \frac{\partial \beta}{\partial x} + \frac{\beta_{z}}{D} \frac{\partial}{\partial z} k \frac{\partial \beta}{\partial z} \right) + T \varepsilon_{x} - \varepsilon + \mathcal{K}_{\rho},$$

$$T \varepsilon_{x} = f_{\varepsilon} \frac{\sqrt{C_{\varepsilon}}}{D} \frac{\varepsilon^{2}}{\alpha_{xz} k} - 6\beta \frac{\partial u}{\partial x}.$$

Учитныя приближенность всей постановки, при расчетах пренебрегали членом $\frac{\partial}{\partial x}\mathcal{F}_{x}$ по сравнению с $\frac{\partial}{\partial x}\mathcal{F}_{x}$, а вместо $V_{\text{от}}$ использовали $U_{\text{от}}$. Поэтому

$$\mathcal{T}_{x} = -\frac{z}{D} \left| u_{o\tau} \right| u_{o\tau} \quad , \quad \mathcal{T}_{\varepsilon_{\rho}} = \mathcal{B}_{\rho} \frac{\sqrt{c_{\varepsilon}}}{D} z \left| u_{o\tau} \right|^{3}.$$

Для коэффициента турбулентности и скорости диссипации турбулентной энергии привлекли обичние соотношения

$$k = \chi \ell V \vec{b}$$
, $\xi = f_{\varepsilon} \frac{\sqrt{c_{\varepsilon}'}}{D} \frac{g^2}{k}$. (2)

Граничные условия по вертикальной координате выглядят следующим образом /4/:

$$\begin{array}{lll} \text{при } \mathbf{z} = \mathbf{0} & \psi = \mathbf{0} & , & \frac{\partial \Psi}{\partial \mathbf{z}} = \mathbf{0} & , & \frac{\partial \mathcal{B}}{\partial \mathbf{z}} = \frac{\mathbf{v}_{\mathbf{s}}}{\mathbf{z} \sqrt{\mathbf{p}_{\mathbf{z}}}} & \frac{\mathcal{B}}{\ell} & , \\ \\ \text{при } \mathbf{z} = \mathbf{I} & \psi = \psi^{\perp}, & \alpha_{\mathbf{x}\mathbf{z}} \mathbf{k} & \frac{\partial^{2} \psi}{\partial \mathbf{z}^{2}} = \gamma^{\perp}, & \mathbf{b} = \mathbf{b}^{\perp}, \end{array}$$

где Ψ^{t} , \mathcal{C}^{t} , \mathcal{S}^{t} — значения соответствующих характеристик в невозмущенном потоке. В работе за масштаб скорости U_{m} принимается динамическая скорость U_{*}^{t} при $\mathbf{z}=\mathbf{I}$, так что $\mathcal{C}^{t}=\mathcal{S}^{t}=\mathbf{I}$.

Относительно граничних условий по горизонтальной координате можно сказать следующее. Краевая эллиптическая непериодическая задача требует постановки граничних условий на двух бокових границах рассматриваемой области. Основой этих условий является предположение о горизонтальной однородности потока над соответствующими поверхностями вдали от границы раздела. В задачах рассматриваемого типа при X = 0 обично задаются значения искомих функций в набегающем потоке, тогда как на подветренной границе полагаются нулевими горизонтальные градиенти этих функций /1, 11/. Этот вариант граничных условий обозначается в дальнейшем как вариант А.Несколько сложнее в реализации, но, возможно, дающая более реальную картину, является схема, в которой на подветренном краю задаются вертикальные профили самих функций (вариант В) /10/. На особом положении находится периодическая задача, в которой не стоит проблема выбора

граничних условий по Х (вариант Р).

В задачах при скачкообразном изменении параметров решетки или каких-либо других свойств подстилающей поверхности по направлению движения потока, масштаб турбулентности должен бить функцией горизонтальной координати. Важность этого обстоятельства подчеркивается в /2/, где намечается путь к созданию модели, отвечающей этим условиям. Для этого привлекается уравнение скорости диссинации турбулентной энергии, котя и без учета продольной диффузии. Но это уравнение используется только в свободных от препятствий областях, как при получении начальных профилей в набегающем потоке, так и над новой подстилающей поверхностью. Внутри препятствий используется аналитическое выражение, не являющееся функцией X. Поэтому на границе раздела двух поверхностей в слое растительности имеет место скачок по горизонтали масштаба турбулентности.

В нашей работе используется более простой путь. Сначала для каждой из поверхностей масштаб турбулентности рассчитывается, следуя /6/. Затем, как и в /10/, привлекается предположение о гладком изменении масштаба турбулентности на всех висотах между его значениями, полученными для двух поверхностей. Реализацией этого предположения является линейное сглаживание в области ± 10 м от граници раздела, которая находится на расстоянии 20 м вниз по потоку от точки X = 0. Чтобн оценить влияние горизонтального масштаба турбулентности на конечные результати, были проведены расчеты со сглаживанием (вариант LX) и без него (вариант LC). Можно отметить, что подобная процедура сглаживания только масштаба турбулентности будет выпадать из общего подхода, если уравнения исходной системы являются параболическими.

Расчети проводились на неравномерной по вертикали сетке, содержащей 20х26 узлов и покривающей прямоугольник высотой $\hat{k} = 20$ м и длиной $\mathcal{L} = 40$ м — в периодической и 47,5 м — в непериодической задачах. (Волна означает размерную величину.) Нормировка горизонтальной координати, как уже указивалось, осуществляется на длину периодического участка. Соотношение горизонтального и вертикального размеров области интегрирования и количество узлов расчетной сетки внорани, следуя, в основном, результатам работи /5/.

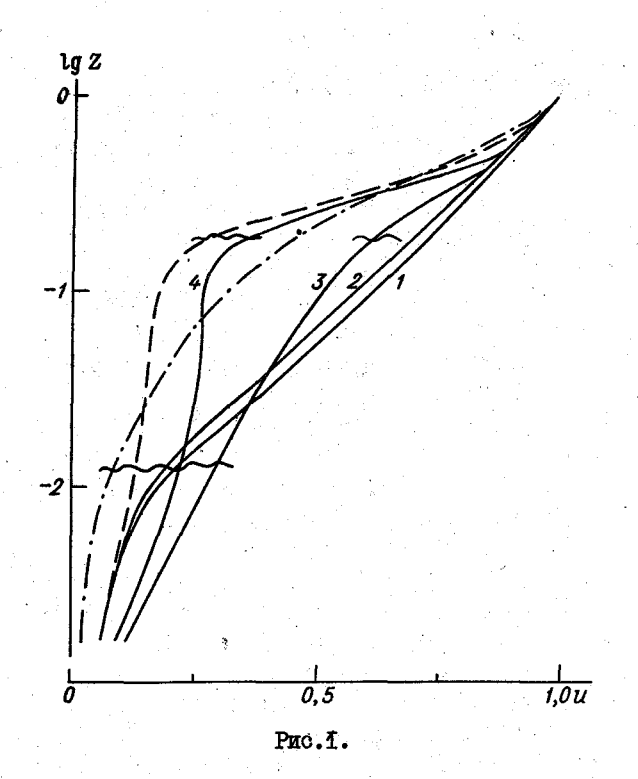
Рассматривается случай, когда воздушная масса с равновесным распределением элементов, сформировавшаяся над поверхностью с решеткой высотой 0,246 м и аэродинамической густотой 0,5 м $^{-1}$ (поле), перемещается на поверхность с препятствиями, имеющими соответствующие характеристики 4,2 м и 0,1 м $^{-1}$ (лес). В безразмерном виде параметрами решетки для поля являются $h_z=0$,0123 и z=10, для леса $h_z=0$,21 и z=2. Обе поверхности имеют начальный масштаб турбулентности $\ell_0=10^{-3}$. Остальная исходная информация приводит

ся в /6/.

Значения с выбраны равними значениям, приведенним в /2/ при решении аналогичной трансформационной задачи, и, так же как и в /2/, постоянными по висоте. Что касается висоти препятствий, то здесь нужно учесть следующее обстоятельство. В /2/ рассматривается весь пограничный слой атмосферы, так что высота растительности не лимитируется соображениями, позволяющими пренебречь силой Кориолиса. В нашей задаче вертикальная протяженность области интегрирования составляет лишь 20 м. В /2/ отмечается, что влияние, например, лесной полоси простирается до уровней, в 4-5 раз превышающих висоту деревьев. Кроме того, нужно помнить о соотношении висоти препятствий и горивонтальной протяженности рассматриваемого участка. Поэтому вместо используемых в /2/ значений / 10 м для леса, приняти указанные внше значения.

На рис. І представлены вертикальные профили продольной компоненты скорости на различных расстояниях от наветренного края области интегрирования. Сплошные кривне — вариант A, I — X = 0; 2 — X = 0.375; 3 — X = 0.5; 4 — X = 1.1875. Пунктир — вариант B, X = 0.375. Штрих — пунктир — вариант P, X = 0.375. Волнистие кривне — высота препятствий. Без учета горизонтальной диффузим распределение скорости при X = 0.5, не говоря уже о X = 0.375, соответствовало бы условиям поля, так что кривне I, 2, 3 слились бы в одну. Видно, что продольная диффузия в определенной степени подготавлива— ет поток к предстоящей смене внешних условий. На кривую 3 уже заметно влияет решетка с новыми параметрами.

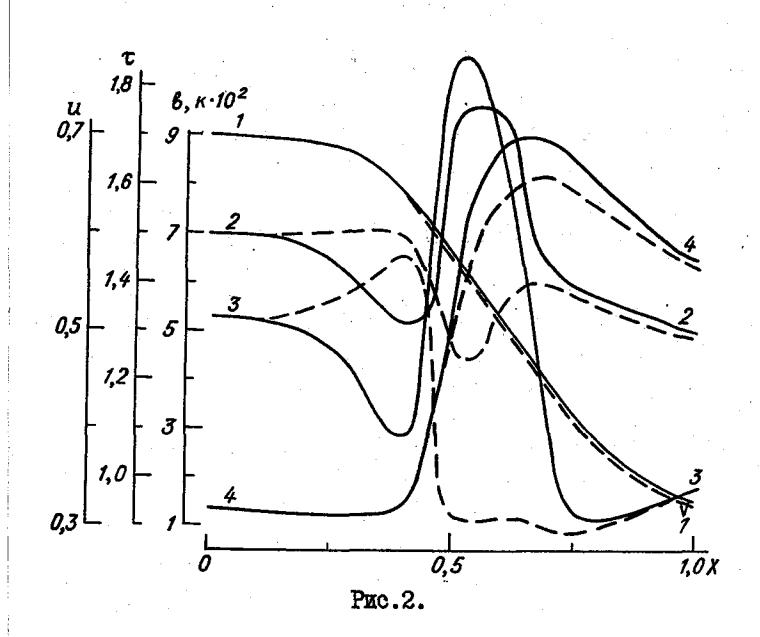
По мере приближения потока к подветренному краю области интегрирования на результатах расчета процесса трансформации в непериодической задаче все сильнее начинают сказиваться граничние условия при X = 1,1875. Сравнение пунктирной и кривой 4, полученных при Х = 1,1875, показывает, что хотя характер изменения с высотой у них идентичен, количественные различия на небольших высотах достигают 50 % и более. Увеличение числа узлов по Х приведет к некоторому смещению кривой 4 в сторону пунктирной. Однако вряд ли при разумных размерах сетки удастся подучить на всех высотах хорошее их совпадение. Отсюда следует, что в любом случае граничные условия на подветренном крае рассматриваемого участка заметно влияют на полную трансформацию потока и скорость его приспособления к условиям новой подстилающей поверхности. Эти показатели служат основой для теоретических оценок, например, эффективности лесозащитных полос различной конструкции. Другими словами, результати математического моделирования процесса трансформации могут повлиять на рекомендации по вноору оптимальной ширини, висоти и проницаемости полоси. Приводимие далее результати расчетов получени для варианта А.



Не визивает особого уливления существенэмгикто вон рассчитанных в схолственных точках профилей скорости в периолической и не периодической задачах. На рис. І в качестве примера приведена соответствующая периодической за--хистш эгрихпунктирная кривая, которая как и кривая 2, получена при X = 0.375.

Рисунок 2 служит иллострацией влияния горизонтального сглаживания масштаба турбулентности на различные характеристики потока (кривая $I-\mathcal{U}$, 2-k, $3-\mathcal{C}$, $4-\mathcal{E}$). Поскольку влияние это сильно зависит от висоти, вибран уровень $\mathbf{z}=0.1585$, на котором достаточно ярко проявляется эффект этой операции. Сплошные кривне — вариант LX, пунктир -LC. Первое, что обращает на себя внимание — весьма различная реакция рассматриваемых элементов на изменение ℓ в районе граници раздела (X=0.5) двух поверхностей. Сглаживание ℓ практически не сказывается на распределении продольной составляющей скорости и приводит лишь к незначительному, в среднем $10~\mathcal{S}$, увеличению максимальных значений турбулентной энергии. На фоне этих малозначимых изменений \mathcal{U} и \mathcal{B} наблюдается радикальная перестройка коэффициента турбулентности и касательного напряжения.

Сопоставление приведенных кривых наводит на мисль, что коэффициент турбулентности не является основным фактором, ответственным за характер изменчивости тех величин, которые определяются из дифференциальных уравнений. В первую очередь, это относится к скорости потока. Слабая чувствительность скорости к особенностям распределения k отмечается и в других работах. Например в /II/, наидучшие



результати дала модель с постоянным ко--MIINDOOE ентом турбулентности. Автори работн /12/ по-NUNPVI -eq orr зульта-TH C K=const k = k(z)

различаются несущественно. Подобное положение наблюдается и с взаимосвязью профилей и и с . Для лабораторных исследований, в частности, карактерным является аппроксимация экспериментальных профилей скорости логарифмической зависимостью от к при изменении в этой области высот касательного напряжения примерно на порядок.

При варианте $\mathcal{L}X$ постепенное уменьшение масштаба турбулентности начинается раньше, чем при $\mathcal{L}C$. Это приводит к смещению в сторону меньших X минимума коэффициента турбулентности. Примерно на месте минимума появляется резко выраженный максимум, поскольку масштаб турбулентности стал здесь значительно больше. Как и при варианте $\mathcal{L}C$, сильное увеличение \mathcal{K} приводит к ярко выраженному мак-

симуму с. Эти результати говорят о том, что замыкание модели строения потока жидкости над поверхностью с резко меняющимися свойствами не должно осуществляться с помощью соотношений, не зависящих от горизонтальных координат. В этом плане наибольший интерес представляют, по-видимому, модели, в которых изменение всех искомых характеристик описывается дифференциальными уравнениями с учетом продольной диффузии.

Так же как и в /6/, были выполнены расчеты при различных значениях параметров, определяющих интенсивность дополнительной генерации и диссипации турбулентной энергии. На рис.3 в качестве примера приводится поле турбулентной энергии при $f_{\tau} = f_{\varepsilon} = 1$ и двух значениях \mathcal{B}_{ρ} . Сплошные кривые — $\mathcal{B}_{\rho} = 1$, пунктирные — $\mathcal{B}_{\rho} = 0$. Наиболее существенные различия наблюдаются в районе границы раздела и ниже по потоку.

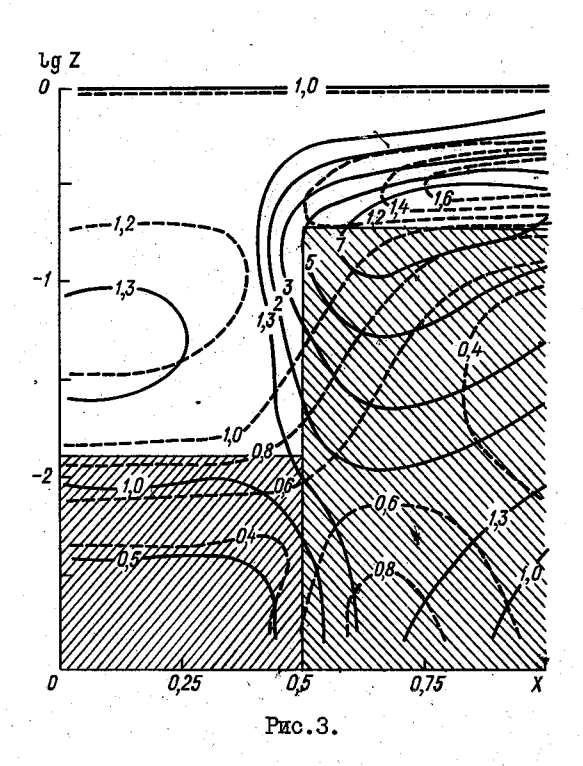
Дополнительная генерация турбулентной энергии за счет прямого взаимодействия решетки с набегающим потоком выражается формулой /6/

 $\widetilde{T}_{r_{\rho}} = B_{\rho} \tau |\dot{u}_{o\tau}|^{3}$. (3)

Будучи пропорцио-

ьудучи пропорциональной кубу относительной скорости, величина

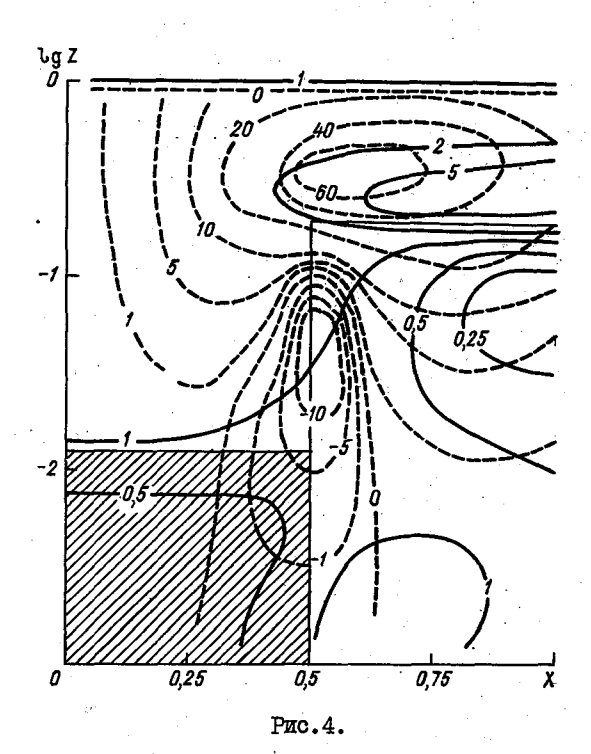
Т в случае неподвижной решетки быстро увеличивается с висотой. Наоборот. обичная трансфориитсэнс кицви среднего движеоилоэнс в кин турбулентности за счет взаимодействия напряжений Рейнольдса с градиентами средней скорости сысотой уменьшается. И если вертикальная протяженность препятствий достаточно велика, как это



имеет место в случае леса, механизм прямой турбулизации становится превалирующим в уравнении баланса турбулентной энергии. Несмотря на то, что в поле значения τ в пять раз больше, чем в лесу, роль прямой турбулизации, в первую очередь, из-за малой высотя препятствий, невелика. Кроме того, аэродинамическое уплотнение решетки дво-яким образом влияет на величину $T_{\epsilon_{\rho}}$. С одной стороны, что следует непосредственно из формули (3), увеличение τ влечет за собой усиление прямой турбулизации, с другой – из-за уменьшения скорости — ее ослабление. Сложное переплетение этих и многих других факторов и приводит к представленним на рис. З результатам. Заштрихованы области препятствий.

Местоположение основных максимумов в первом приближении совпадает, однако по абсолютному значению они различаются примерно в пять раз. Надо сказать, что не все характеристики в одинаковой степени зависят от учета слагаемого $\mathcal{T}_{\epsilon\rho}$ в уравнении баланса турбулентной энергии.

На рис.4 приведени поля касательного напряжения \boldsymbol{c} (сплошние кривие) и вертикальной скорости $\boldsymbol{w} \cdot 10^3$ (пунктир), которие качест-



венно во многом согласуются с результатами других работ. В частности, на подстилающей поверхности в районе скачка параметров решетки наблюдается резкое возрастание 2 , затем следует относительно быстрый его спад и постепенное приспособление к новим условиям. Некоторой особенностью поля 7 , на которой, во всяком случае в (2), не заостряется внимание, является наличие максимума непосредственно над верхней границей леса. Максимум этот заметно смещен вниз по потоку от передней кромки леса и по сравнению с приземным характеризуется значительно большими значениями $\mathcal C$.

Можно обратить внимание также на следующее обстоятельство. На рис. 4 значения вертикальной скорости представлени в нормировке на $\widetilde{u} = 5 \text{ м/c}$. Если перейти к размерным величинам, то изолиния с оцифровкой 60 булет соответствовать $\widetilde{w} = 0.3$ м/с. В постоянно цитируемой монографии приволится аналогичный рисунок, на котором максимальные восходящие скорости больше полученных нами на порядок. В то же время нисходящие токи можно считать приблизительно совпадающими по значению.. Трудно назвать непосредственные причины этого расхожления. Слишком разними являются постановки задачи, в том чи-. Напомним, что в 2/w определяетсле уравнения для расчета и ся по уравнению неразрывности. Выполнить же объективную оценку моделей по этому параметру не представляется пока возможным из-за отсутствия измеренных полей w и соответствующей входной информации, необхолимой иля проведения расчетов. Лело осложняется еще тем. что эта информация является различной при моделировании всего пограничного и только приземного слоев атмосферы.

Из анализа результатов численных экспериментов по решению задачи о строении турбулентного потока при наличии горизонтально неоднородной решетки можно сделать некоторие выводы. В частности, результаты расчетов зависят от горизонтальной диффузии и выбора схемы
замыкания модели турбулентности. Если представляют интерес вертикальные токи, то лучше не пользоваться для этой цели уравнением неразрывности. На оценку эффективности лесозащитных насаждений и,
вообще, на степень трансформации потока влияют граничные условия
на подветренном краю области интегрирования.

CHICOK JINTEPATYPH

- Вагер Б.Г., Надежина Е.Д. Пограничний слой атмосферы в условиях горизонтальной неоднородности. — Л.: Гидрометеоиздат, 1979. — 136 с.
- 2. Дубов А.С., Бикова Л.П., Марунич С.В. Турбулентность в растительном покрове. - Л.: Гидрометеоиздат, 1978. - 182 с.
- 3. Монин А.С., Яглом А.М. Статистическая гидромеханика. -Ч.І. М.: Наука, 1965. 639 с.
- 4. Симонов В.В. Турбулентний поток над волнистой границей. Труды ITO, 1979, вып. 423, с. 39-51.
- 5. Симонов В.В. Некоторые вопросы численного моделирования потока жидкости над волнистой границей. Труди ITO, 1981, вып. 454,

- c.3I-39.
- 6. Симонов В.В. Модель приповерхностного турбулентного потока при надичии проницаемих препятствий. (См. наст. сборник).
- 7. Чаликов Д.В. Математическое моделирование ветрового волнения. Л.: Гидрометеоиздат, 1980. 48 с.
- 8. Численные методы исследования течений вязкой жидкости /А.Д.Гос-мен, В.М.Пан, А.К.Ранчел, Д.Б.Сполдинг, М. Вольфштейн. М.: Мир, 1972. 324 с.
- Atkins D.J., Maskell S.J., Patrick M.A. Numerical prediction of separated flows. - Inst.J. Numer. Meth. Eng., 1980, v. 15, N 1, p. 129-144.
- 10.Bart S. A modeling study of several aspects of canopy flow.
 Mon. Weather Rev., 1971, v. 99, N 6, p. 485-493.
- 11. Measurements and predictions of turbulent recirculating flow over a rectangular depression. Raithby G.D., Hallett W.L., Crawford T.L., Slawson P.R., - Bound-Layer Met., 1978, v. 15, N 2, p. 181-194.
- 12. Reynolds W.C., Hussain A.K.M.F. The mechanics of an organized wave in turbulent shear flow. Part 3. Theoretical model and comparisons with experiments. J.Fluid Mech., 1972, v. 54, pt.2, p. 263-288.
- 13. Richards C.W., Crane C.M. Pressure marching schemes that work. Int. J.Numer. Meth. Eng., 1980, v. 15, N 4, p. 599-610.
- 14. Stanisic M.M., Groves R.N. On the eddy viscosity of incompressible turbulent flow. Z.Angew.Math. and Physik, 1969, v. 16, p. 709-712.

ВЛИЯНИЕ ОРОШЕНИЯ НА МЕТЕОРОЛОГИЧЕСКИЙ РЕЖИМ БАССЕЙНА ВОЛГИ

Оценка последствий нерераспределения стока Северних рек на ЕТС является одной из самых актуальных задач гидрометеорологии. Орошение в Заволжье в ближайшие IO-20 лет коренным образом преобразует водный баланс этой обширной территории / 3 /. В соответствии с перспективними планами орошения Заволжья в ближайшие годы намечается построить ряд крупных оросительных систем, оснащенных автоматическими и полуватоматическими системами полива. Для рационального использования водных ресурсов необходимо разработать оптимальные режимы орошения, которые следует предусматривать при проектировании и строительстве оросительных систем / I /. В районах Среднего и Нижнего Поволжыя, а также междуречья Волги и Урала в перспективе намечается оросить до 812 млн.га засушливых земель и обводнить пастбища на площади 13,4 млн.га / I /.

Все эти мероприятия требуют обязательных предварительных оценок изменения температуры, влажности воздуха, составляющих теплового баланса подстилающей поверхности и т.п. Для проведения подобных оценок использовался метод, основанный на общеизвестном решении системы уравнений тепло— и влагопереноса в приземном слое атмосферы / 4 /. В качестве исходных данных использовались данные метеостанций, расположенных в исследуемом районе; результати расчета, приведены в табл. 1—3. Полученные результати свидетельствуют о том, что изменения метеорологического режима данного района следует ожидать в том случае, если здесь будет создан орошаемый участок, протяженностью несколько километров. Расчет проведен для оптимальных условий увлажнения растительного покрова и для условий заболачивания.

Результати расчета изменения температури ΔT и влажности $\Delta \mathcal{E}$ под вдиянием орошения и заболачивания представлени в табл. 1. Сумма температур в среднем для этого района уменьшится с мая по сентябрь на 140 °C. В наиболее засушливой области это уменьшение может достигать 200 °C. а в хорошо увлажненных не превышать 70 °C.

Приведенние данние являются средними многолетними характеристиками. Характеристики отдельних лет могут заметно отличаться от средних многолетних. На рис. I приведены значения $\Delta \mathcal{T}$, рассчитанные для средних многолетних условий (кривая I), а также для условий хорошо увлажненного 1974 г. (кривая 2) и относительно засушливого 1975 г. (кривая 3). Расчет проведен по данным станций Безенчук, Перелюб, Новоузенск, Ершов, Александров-Гай и Элиста (а-е соответственно).

Помимо понижения температуры и повышения влажности воздуха, которые будут иметь место при орошении, оценивались также изменения

×

Габлица

(rila) Bosgyxa

۷ę

(ОС) и влажности

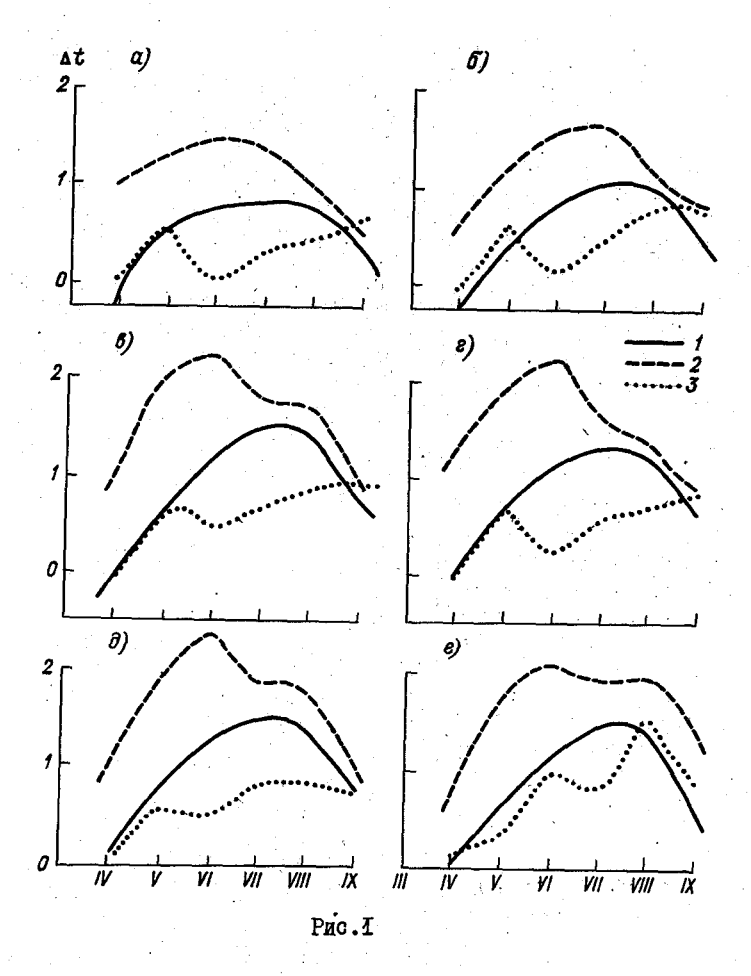
TA

Изменение температуры

Гри заболачивании 8,23 H 1,9 2,2 2,1 4 I,8 I,6 УІ 1,0 I,6 **9**0 При орошении 0,6 0,7 0,9 C 0,4 0,8 I.I I 0,7 I.2 I.3 I 0,7 I.3 I.5 I 0,7 I.3 I.5 I 0,8 0,4 0,7 C 0,0 0,5 0,8 I Ę 0 Александров-Гай Ростов-на-Дону Станция Новоузенск Безенчук He pe mod Мовдок Элиота Кизляр Epmob



Maria 1



составляющих теплового баланса. Без правильного прогноза изменений характеристик теплового баланса при мелиорации невозможно выработать рациональный режим водопользования и оценить расход воды на орошение в новых районах. Кроме того, условие сходимости теплового баланса широко используется как одно из граничных условий при решении задач о мезо- и макромасштабных последствиях мелиоративных преобразований.

Изменение компонент теплового баланса рассчитывалось по методике, применяемой для оценки влияния орошения на метеорологический режим засушливих районов Средней Азии и Казахстана [2, 5]. При этом предполагалось, что относительная влажность на уровне шероховатости на

орошаемом поле будет составлять 70 %. Рассчитанние значения изменения испарения ΔE и радиационного баланса ΔR представлени в табл.2.

e a light grow grown to be a party

Таблица 2 Изменение испарения $\Delta \mathcal{E}$ (см/мес) и радиационного баланса $\Delta \mathcal{R}$ (МДж/м 2) при орошении

Станция	ΔE				ΔR			
Cranita	y	УI	УII	УШ	y	Уľ	y II	УШ
Безенчук	4,7	5,0	5,7	4,8	53	59	68	60
Перелюб	4,1	5,5	6,6	6, I	49	63	77	7 I
Ершов	5,5	6,7	7,5	6,9	58	72	86	77
Новоузенск	5,1	7,3	8,7	7,6	57	79	96	. 85
Александров-Гай	5,1	7,6	8,7	7,7	57	81	95	86
Элиста	5,0	7,1	8,9	8,2	52	72	. 90	85
Моздок	2,5	4,0	4,8	5,1	35	54	66	72
Кизляр	2,5	3,7	3.9	3.9	35	48	51	51

При расчете ΔR било принято, что для условий Поволжья альбедо подстилающей поверхности в результате орошения уменьшается на 5 %. Кроме того, увеличение радиационного баланса происходит также за счет уменьшения эффективного излучения при понижении температури подстилающей поверхности. Как показивают эти оценки, при орошении засушливих районов бассейна Волги радиационный баланс изменится заметным образом.

Изменение испарения на орошаемом поле оценивалось не только по средним многолетним данним о температуре, влажности воздуха и скорости ветра, но и по данним отдельних лет. На рис.2 представлени значения $\Delta \mathcal{E}$ за период 1947-1976 гг., рассчитанние по данним станций Безенчук (кривая 1), Новоузенск (кривая 2) и Элиста (кривая 3), для июня (а) и июля (б). Как показивают данние этого рисунка, наблюдается большая междугодовая изменчивость $\Delta \mathcal{E}$ на орошаемих полях в засушливих районах бассейна Волги.

Как видно из рисунка, на орошаемих полях в засушливих районах бассейна Волги наблюдается большая междугодовая изменчивость $\Delta \mathcal{E}$

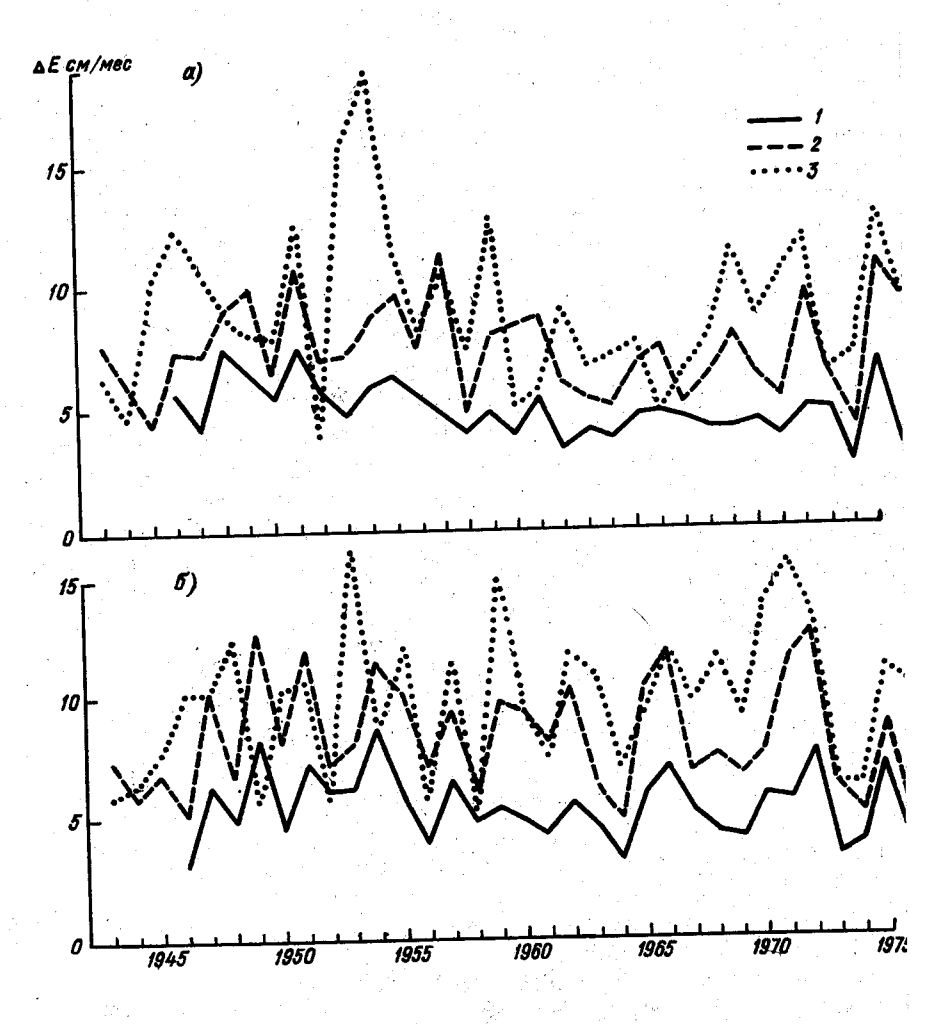
Количественная оценка междугодовой изменчивости величини $\Delta \mathcal{E}$ проводилась для Заволжья по ланним двух станций Кршов и Новоузенск.

Величина
$$6 = \sqrt{\sum_{i=1}^{n} (\Delta E_i - \Delta E_{cp})^2}$$
 ($n -$ число лет)

рассчитивалась для июня и июля за период 1960-1975 гг.

Значение б для Заволжья оказалось више, чем для ряда станций Средней Азии, Казахстана и Западной Сибири.

Проведенние оценки показали, что при планировании медиоративных



Pmc.2

преобразований в бассейне Волги помимо оросительной норми необходи-, мо также учитняеть ее междугодовую изменчивость.

Таблица З

Станция	У	юнь	Июль		
- Clambo	ΔĒ	ਰ	ΔE	ठ	
Ершов	7,1	1,8	7,2	2,2	
Новоузенск	7,6	1,7	8,4	2,3	

CHUCOK JUTEPATYPH

- І. Волков А. С., Ененко И. И. Определение поливного режима провой пшеници в Заволжье теплобалансовим методом.— Труди ІТИ, вип. 229, 1975, с. 218-226.
- 2. Грачева В. П., Утина З. М., Хинейко Н. П. Норми орошения для различных климатических условий. — Трупи ITO, вып.69, 1957, с.71-76.
- 3. Леонов К.А. О размещении гидрологической сети в районах интенсивного развития орошения. Труди ITИ, вып. 229, 1975, с.72-85.
- 4. Утина 3. М. Методика расчета изменения температури и влажности под влиянием орошения. В кн.: Вопросн гидрометеорологичеокого обоснования межзонального перераспределения водних ресурсов. Л.: Гидрометеоиздат, 1981, с.147-156.
- 5. Утина З. М., Шехтер Ф. Н. Влияние орошения на радиационный балано подстилающей поверхности. Метеорология и гидрология, 1977, № 6, с.17—23.

ЧИСЛЕННОЕ МОДЕЛИРОВАНИЕ ВЛИЯНИЯ ЗАЛИВА КАРА-БОГАЗ-ГОЛ НА ТЕМПЕРАТУРУ И ВЛАЖНОСТЬ ПОГРАНИЧНОГО СЛОЯ АТМОСФЕРЫ

Залив Кара-Богаз-Гол представляет собой самую крупную в мире лагуну, отделенную от Каспийского моря песчаннии косами, образующими пролив длиной приблизительно 9 км и шириной от 120 м (у истока) до 800 м (в устье). Уменьшение стока в Кара-Богаз-Гол, вызванное падением уровня Каспия, привело к сокращению площади залива с 18,3 (1930 г.) до 9,6 тыс.км² (1979 г.). Максимальная глубина залива уменьшилась за это время от 13 м до 3,5 м. Средняя глубина залива в настоящее время не превышает 1 м / 2 /.

Вследствие испарения поступавшей в залив каспийской води и "векових" водних запасов самого залива, его вода представляет собой рапу, соленость которой достигает в среднем 300^{-0} /оо, а в отдельных районах превишает это значение / 2 /.

После того как в начале 1980 г. залив онл отделен от Каспийского моря глухой плотиной, он стал интенсивно высихать. Появилась даже угроза его полного высихания. В связи с этим возникла необходимость изучения особенностей гидрометеорологического режима усихающего солевого залива и его влияния на окружающие природные условия.

Решение этой задачи осложняется тем, что район, в котором расположен залив.еще недостаточно изучен.

Для изучения влияния усихающего залива Кара-Богаз-Гол на микро-климат окружающих его районов было проведено численное моделирование тепло— и влагопереноса в пограничном слое, с помощью квазистационарной горизонтально-не однородной модели, разработанной Б.Г.Ваге ром и Е.Д.Надежиной / І /. Модель включает в себя уравнения движения и неразривности, уравнения притока тепла и влаги и уравнение баланса кинетической энергии турбулентности с учетом адвективних и турбументных факторов. Для замыкания системы использовались соотношения Колмогорова для коэффициента турбулентного обмена (K) и скорости диссипации турбулентной энергии в тепло (E), выраженных черев кинетическую энергию турбулеятности (E) и масштаб турбулентности (E). Для масштаба турбулентности использовалось выражение

$$\ell = - \varepsilon c^{\frac{1/4}{2}} \frac{B/\kappa}{\frac{\partial}{\partial z} (b/\kappa)} \cdot \frac{1}{1 + \alpha z} , \qquad (1)$$

ще \mathcal{K}_{-} постоянная Кармана; c — эмпирическая константа; a — соэффициент, имеющий размерность $\mathcal{L}^{\frac{1}{2}}$ и являющийся функцией числа Россои: \mathbf{z} — вноота.

Для всех уравнений системы введени следующие допущения: рассматмваемые процесси являются стационарними; поля метеорологических карактеристик однородни по оси у; продольная горизонтальная дифузия пренебрежимо мала.

Граничние условия для решения системы задавались на уровне шеросоватости подстилающей поверхности ($\mathbf{z}=\mathbf{z}_0$) и на верхней границе пограничного слоя ($\mathbf{z}=H$), которую считали постоянной. При расчете использовались следующие исходные данные для июля, когда имеют често заметные контрасты межлу сущей и волой.

	T OC	a º/00	V_{α}^{O}/oo	M/c
H = 3 km	12	6	8	6
Залив	24	15,8	300	
Mope	20	14,5	15	1.6
Cyma	34	6,8		

(T , q — температура и массовая доля водяного пара соответственно; V_g — геострофический ветер, S — соленость води, H — виссота пограничного слоя атмосфери.)

Расчет проводился при условии восточного направления ветра. Протяженность залива принималась равной 100 км, ширина моря 300 км, отрезок суши между ними — 10 км.

Расчет трансформации воздушной масси проводился для двух вариантов: 1) воздушная масса с суши переходит на залив, затем пересекает 10-км участок суши между заливом и морем и переходит на море;

2) произошло полное висихание залива; воздушная масса с суши непосредственно переходит на море.

Для этих двух вариантов исследовался профиль температурн и массовой доли водяного пара над морем на расстоянии 50 км от наветренного берега. Анализ численного эксперимента показывает, что профили температурн над морем для первого и второго случая мало отличаются друг от друга.

Анализируя профили массовой доли водяного пара для двух случаев, следует отметить, что в нижних слоях они существенно не отличаются друг от друга, а на больших высотах наблюдаются большие различия. Максимальные расхождения составляют І гПа и имеют место на высотах 100-150 м.

При отсутствии залива воздушная масса, пройдя над морем расстояние в 50 км, трансформируется до висоти I км, а при наличии залива трансформицией охвачен весь трехкилометровый слой воздуха. Это объясняется тем, что, интенсивно испарая, залив наснщает проходящую над ним сухую воздушную массу большим количеством влаги, которая в

I км продолжает несколько увеличиваться за счет перераспределания путем турбулентного перемешивания влаги, виносимой с залива. Кривая 5 характеризует распределение влажности на границе суща-море.

Кривне 6 и 7 отражают процесс трансформации воздушной масси на расстоянии 10 и 50 км над морем соответственно.

Результати численного эксперимента позволяют провнализировать перераспределение атмосферной влаги за счет адвективного турбулентного и вертикального упорядоченного влагопереноса:

На рас. 2 представлено вертикальное распределение безразмерного значения турбулентного потока влаги при прохождении воздушной массы нал горизонтально-неоднородной подстидающей поверхностью. Кривие отражают турбулентный поток влаги на наветренном берегу (кривая I). на расстояниях 10, 50 и 100 км над заливом (кривые 2, 3, 4 соответственно), над небольшим отрезком суши, разделяющим залив от моря, а именно на расстоянии 5 и 10 км (кривне 5, 6) и на расстоянии 100 км над морем (кривая 7). Анализ расунка показывает, что при поступлении сухой и более теплой воздушной масси с побережья на поверхность залива, в нижних слоях атмосферы происходит резкое увеличение турбулентного потока влага, которое на расстоянии 10 км прослеживается до висоти 300-400 м. По мере продвижения воздушной масси над заливом в приземном слое атмосфери турбулентний поток влаги уменьшается. Еще более резкие изменения претерпевают вертикальный профиль величины при прохождении воздушной масси над поверхностью сущи после прохожде ния задива. При переходе на сушу вертикальний турбулентний поток у земли меняет знак, а с высотой быстро увеличивается, достигая максимума на высоте около 150 м. По мере продвижения воздушной массы над сушей абсолютная величина максимума уменьшается, а уровень, на котором наблюдается этот максимум постепенно перемещается на большие BHC OTH.

При переходе с сущи на море увеличение влажности на поверхности приводит к росту испарения.

Для оценки влияния залива Кара-Богаз-Гол на влагообмен в пограничном слое атмосферы рассчитывались следующие составляющие баланса атмосферной влаги.

Испарение с полоси шириной I м и длиной X₁

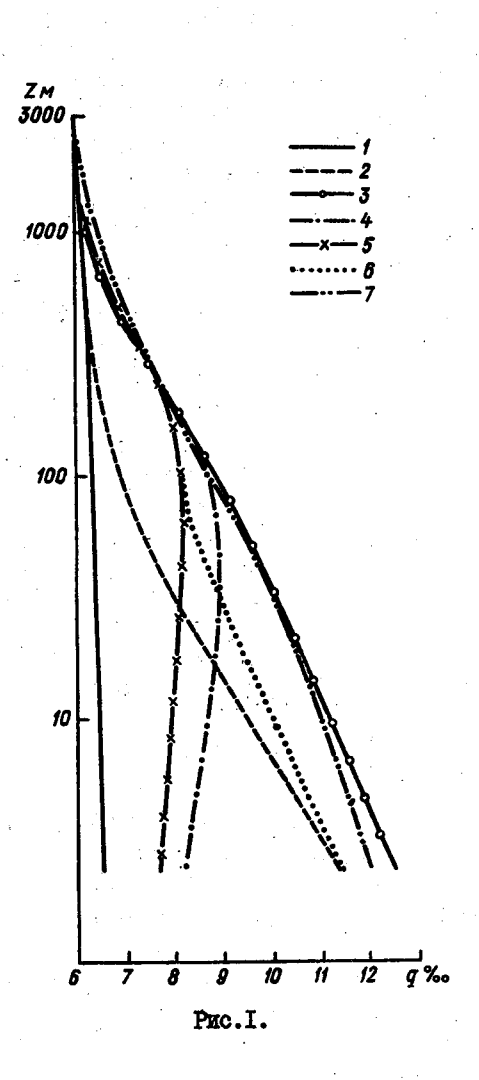
$$E_o = -\int_{\chi_0}^{\chi_1} \kappa \rho \frac{dq}{dz} dx.$$

$$z = Z_0$$

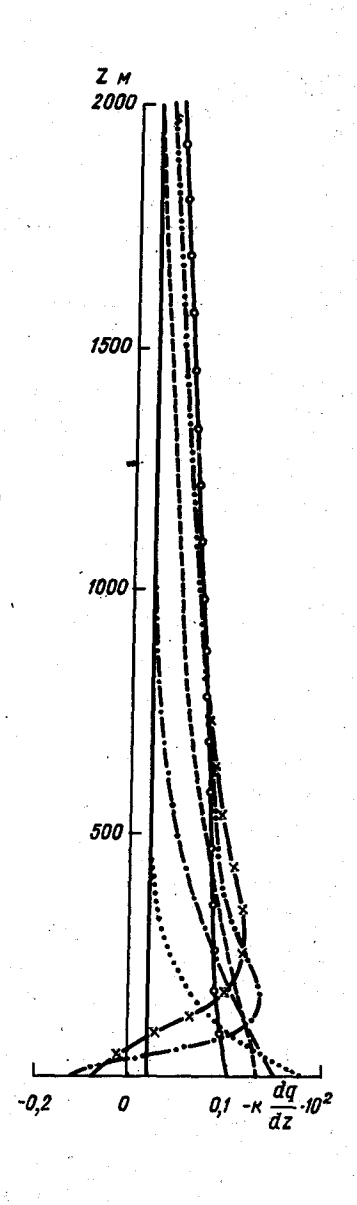
результате перемешивания попадает на большие высоты, а море затем стимулирует уже начавшийся пропесс выноса влаги.

На рис. I представлено распределение массовой доли водяного пара при прохождении воздушной масси над поверхностями, имеющими различний режим увлажнения.

Сухая воздушная масса с прилегающих к заливу пустинных территорий (кривая I), попадая на поверхность залива, начинает интенсивно насищаться влягой сначала в приземном, а затем и в пограничном слое



атмосферы. Преололев 10 км возпушная масса трансформировалась до висоти 400 м (коивая 2). К кониу прохожиения залива, транснэрвахо йэмпамиой слой более I км (кривая 3). Пройля залив. возлушная масса попалает на небольшой YTACTOR CYMM. MACсовая поля воляного пара которого на 9 ⁰/оо меньше. чем над заливом. Начинает Происходить вто--добоная трангад мания, которая на расстоянии 5 км от залива распространяется по высоте до 150 м (кривая 4). По мере упаления от залива влажность воздуха в нижних слояж атмосферы интенсивно уменьшается, а на высотах от 500 м до



Pac.2

2. Вертикальный турбулентный поток влаги на висоте в пределах пограничного слоя атмосферы

$$E_{z} = \int_{X_0}^{X_0} K \rho \frac{dq}{dz} dx.$$

3. Изменение влагосодержания столоя воздуха висотой Z_1 и протяженностью X_1 , за счет притока влаги путем вертикального туроулентного влагооомена

$$\Delta_{E} = E_{o} - E_{z}.$$

4. Изменение вдагосодержания столов воздуха высотой z_1 за счет изменения горизонтального переноса влаги над полосой протяженностыр x_1 и шириной 1 м

$$\Delta_{u} = \int_{z_{0}}^{z_{1}} u \rho q \, dz - \int_{x=x_{1}}^{z_{1}} u \rho q \, dz.$$

 Изменение влагосодержания столба воздуха висотой z₁ и протяженностью х₁, за счет упорядоченных вертикальных движений

$$\Delta_{w} = -\int_{-\infty}^{x_{\perp}} w \rho q \, dx.$$

Здесь K — коэффициент турбулентного обмена, ρ плотность воздуха, \mathbf{z}_o — уровень мероховатости, \mathcal{U}, \mathbf{w} составляющие скорости ветра. Остальные обозначения прежние. В этих обозначениях уравнение баланса атмосферной влаги можно записать в виле

$$\Delta_{\epsilon} + \Delta_{\nu} + \Delta_{w} = 0$$

Расчет проводился для слоев 400 м и I км над морской поверхностью протяженностью 100 км с учетом (1) и без учета (2) залива (табл.) Таблица

Ооставляющие баланса атмосферной влаги

ZM		E,	E ₂	∆ _E	Δ,,	Δw	
400	1	-0,0338	-0,0274	-0,0064	-0,00866	-0,00233	
100	2	-0,042I	-0,0 17 0	-0,025I	0,03217	-0,00765	
1000	1	-0,0338	-0,0213	-0,0125	0,0132	-0,0011	
	2	0,0421	-0,0078	-0,0343	0,0500	-0,0158	

Анализ полученных данных показывает, что наличие залива заметным образом меняет составляющие баланса атмосферной влага. В первом случае на море поступает воздушная масса более насищенная влагой, суммарный влагоперенос ($\int_{-\infty}^{\infty} u \rho q dz$) которой на 30 % больше, чем во втором случае. Увеличение влаги верхних слоев приводит к уменьшению испарения над морем и к увеличению вертикального виноса влаги в верхней части пограничного слоя путем турбулентного влагообмена и упорядоченными вертикальными токами.

Проведенний численний эксперимент с горизонтально-неоднородной моделью пограничного слоя позволил провести анализ перераспределения тепла и влаги в пограничном слое атмосферн под влиянием залива Кара-Богаз-Гол и показал, что полное его висихание изменит баланс атмо-сферной влаги окружающей территории и изменит распределение температуры и влажности над морем на расстоянии до 100 км.

CHUCOK JUTEPATYPH

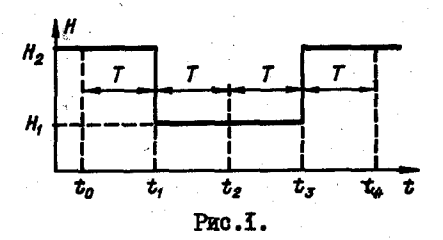
- Вагер Б. Т., Надежина Е. Д. Пограничний слой атмосферы в условиях горизонтальной неоднородности. – Л.: Гидрометеоиздат, 1979. – 136 с.
- 2. В оропаев Г. В., Косарев А. Н. Осовременних проблемах Каспийского моря. Природа, 1981, № 1, с.61-73.

АНАЛИЗ СТАТИСТИЧЕСКОЙ ПОГРЕШНОСТИ ГРАДИЕНТНЫХ ИЗМЕРЕНИЙ С ИСПОЛЬЗОВАНИЕМ ОДНОГО ДАТЧИКА

При оценке погрешности градиентных измерений с помощью двух датчиков, установленных на двух заданных висотях, необходимо учитывать аппаратурную погрешность, обусловленную главным образом неидентичностью и нестабильностью параметров используемых датчиков /1/. Обеспечение требуемой идентичности и стабильности параметров датчиков еще более осложняется при проведении профильных измерений.

Уменьшения аппаратурной погрешности можно достичь используя для измерений градиентов или профилей один я тот же датчик, измерающий поочередно мете оэлемент на заданных уровнях. При этом, однако, необходимо учитивать возможное увеличение статистической погрешности за счет асинхронности получаемых результатов измерений.

В /1/ рассмотрен один из алгоритмов для получения оценки градиента с помощью одного датчика. Последовательность работи датчика



показана на рис. І. По оси ординат отложена висота, на которой производятся измерения, а по оси абсцисс — текущее время.

Очевидно, что $\ell_q = \ell_3 + T = \ell_2 + 2T = \ell_4 + 3T = \ell_o + 4T$, где T — интервал времени для получения оценки значения концентрации примеси \overline{q} на одной из висот. (Здесь и далее черта сверку означает операцию математического осреднения.)

Для получения среднего значения концентрации примеся на каждой висоте виходной сигнал датчика сглаживается измерительным устройством. Из рис. І видно, что в моменти времени ℓ_1 и ℓ_4 ми получаем на виходе измерительного устройства сигнали $U_2(\ell_4)$ и $U_2(\ell_4)$, дающие оценку \overline{q} на висоте H_2 , а в моменти времени ℓ_2 и ℓ_3 — $U_4(\ell_2)$ и $U_4(\ell_5)$, дающие оценку \overline{q} на висоте H_4 .

В соответствии с алгоритмом вичислений на виходе устройства обработки получаем величину

$$\Delta U(\xi) = \frac{1}{2} \left[u_2(\xi_1) - u_1(\xi_2) - u_1(\xi_3) + u_2(\xi_4) \right], \quad (1)$$

представляющую собой оценку градиента $\Delta \bar{q}(\xi)$, где ξ – момент времени, на который мн относим полученную оценку.

Виражение для погрешности измерений можно записать так

$$\Delta = \Delta U(\xi) - \overline{\Delta q}(\xi) \tag{2}$$

Целью настоящей статьи является анализ и оценка статистичногой погрешности измерений. Поэтому погрешностью измерительного и вичискительного устройств, а также погрешностью, обусловленной нестасильностью параметров датчика, пренебрегаем.

Учитывая стохаотическую природу измеряемых величин и погрешности измерений, зацишем соотношения для математического ожидания (или систематической погрешности) и для среднеквадратичной погрешности измерений. Систематическую погрешность измерений определим из (2) как

$$\overline{\Delta} = \Delta_m = \overline{\Delta U}(\xi) - \overline{\Delta q}(\xi) \quad , \tag{3}$$

а для среднеквадратичной погрешности получим

$$\mathcal{E} = \left[\overline{\Delta}^2\right]^{1/2} = \left[\overline{\Delta}_{cn}^2 + \Delta_m^2\right]^{1/2}.$$
 (4)

Используя представление $\Delta U(\xi) = \overline{\Delta U}(\xi) + \Delta \dot{U}(\xi)$, где $\overline{\Delta U}(\xi)$ — математическое ожидание, а $\Delta \dot{U}(\xi)$ — случайная компонента $\Delta u(\xi)$, получим выражение для дисперсии погрешности $\overline{\Delta}_{cd}^2$

$$\overline{\Delta}_{cn}^2 = \left[\Delta \dot{\mathcal{U}}(\xi) \right]^2 \qquad . \tag{5}$$

Рассмотрим отдельно каждую из составляющих погрешности измерений. При анализе для определенности будем считать, что $q_4(\ell)$ и

 $q_2(t)$ представляют собой нестационарные случайные процессн оо стационарными приращениями, стационарно связанные и обладающие свойством обобщенной текущей эргодичности (2), т.е. будем считать, что эти процесси относятся к случайным процессам с медленной нестационарностыр.

Связь между напряжением на выходе измерительного устройства $u(\ell)$ и измеряемой величиной $q(\ell)$ может бить задана через интеграл свертки. При этом, так нак измерительное устройство должно обладать памятью, необходимо учесть начальние условая. Тогда

$$u(t_i) = y(t_i) + \beta u(t_i - T), \qquad (6)$$

где $\beta = h(T)/h(0)$, h(H) – переходная функция измерительного устройства, а

$$y(t_i) = \int_0^T q(t_i - x) h(x) dx .$$
(6a)

Соотношение (6а) определяет значение виходного напряжения устройства при нулевих начальних условиях. После подстановки (6) в (1), полагая eta < 1 и пренебрегая слагаемими, содержащими eta^{κ} при K > I, получим

$$\Delta U(\xi) = \frac{1}{2} \left[y_2(t_4) + y_2(t_4)(1-\beta) - y_1(t_2)(1+\beta) - y_1(t_3)(1-\beta) + y_2(t_0)\beta \right]. \tag{7}$$

Отметим, что процесс измерения предполагается установившимся (измерения начались задолго до момента t_a). Однако, как показывает дальнейший анализ, учет начальных условий незначительно влияет на погрешность измерений.

Всли записать $y_2(t_0) = y_2(t_4) \pm \delta y$, полагая $\delta y \ll y_2(t_4)$ для $\Delta U(\xi)$ окончательно получим

$$\Delta U(\xi) = \frac{1}{2} \left[y_2(\ell_4)(1+\beta) + y_2(\ell_4)(1-\beta) - y_4(\ell_2)(1+\beta) - y_4(\ell_3)(1-\beta) \right]$$
(8)

Очевидно, что при нулевих начальних условиях (например, при принудительной установке измерительного устройства в исходное положение перед началом очередного измерения и пренебрежении инерционностью датчика) $\beta = 0$ и

$$\Delta \mathcal{U}(\xi) = \frac{1}{2} \left[y_2(\ell_4) + y_2(\ell_1) - y_1(\ell_2) - y_1(\ell_3) \right]. \tag{8a}$$

Систематическая погрешность с учетом (3) и (8) будет равна

$$\Delta_{m} = \int_{0}^{\infty} \left\{ \frac{1}{2} \left[\overline{q}_{2} (t_{4} - \varkappa) + \overline{q}_{2} (t_{4} - \varkappa) \right] - \frac{1}{2} \left[\overline{q}_{3} (t_{2} - \varkappa) + \overline{q}_{4} (t_{3} - \varkappa) \right] \right\} h(\varkappa) d\varkappa - \\ - \overline{\Delta q}(\xi) + \beta \int_{0}^{\infty} \frac{1}{2} \left\{ \left[\overline{q}_{2} (t_{4} - \varkappa) - \overline{q}_{2} (t_{4} - \varkappa) \right] - \left[\overline{q}_{4} (t_{2} - \varkappa) - \overline{q}_{4} (t_{3} - \varkappa) \right] \right\} h(\varkappa) d\varkappa.$$
 (9)

Заметим, что слагаемие в квадратних скобках в первом интеграле вы-

ражения (9) представляют собой значения $\overline{q}_2^{\text{AM}}(\xi, -\aleph)$ м $\overline{q}_2^{\text{AM}}(\xi_2-\aleph)$, линейно интерполированние на середини интервалов времени $\begin{bmatrix} t_2-\aleph, t_4-\aleph \end{bmatrix}$ и $\begin{bmatrix} t_2-\aleph, t_3-\aleph \end{bmatrix}$ соответственно. Очевидно, что $\xi_1=\xi_2=t_0+2.5\,T$. Вибирая $\xi=\xi_1=\xi_2$, виражение, стоящее под знаком второго интеграла в (9), преобразуем с учетом прелидущего замечания

$$\frac{1}{2} \left[\overline{q}_2(t_4 - 2\epsilon) - \overline{q}_2(t_4 - 2\epsilon) \right] - \frac{1}{2} \left[\overline{q}_1(t_2 - 2\epsilon) - \overline{q}_1(t_3 - 2\epsilon) \right] =$$

$$= \left[\overline{q}_{2}^{\text{AM}}(\xi - \varkappa) - \overline{q}_{1}^{\text{AM}}(\xi - \varkappa)\right] - \left[\overline{q}_{2}(\ell_{1} - \varkappa) - \overline{q}_{1}(\ell_{3} - \varkappa)\right] \leq \overline{\Delta q}^{\text{AM}}(\xi - \varkappa).$$

Последнее неравенство можно записать, учитивая, что выражения в квадратных скобках имеют одинаковый знак и полагая, что они не меняют его за времи одного измерения (4T). Тогда как оценку сверху получим

$$\Delta_{m} \leq (1+\beta) \int_{0}^{T} \overline{\Delta q}^{M} (\xi - \chi) h(\chi) d\chi - \overline{\Delta q}(\xi). \tag{10}$$

Представим $\overline{\Delta q}^{\text{AM}}$ через \overline{q}_2 и \overline{q}_4 , разложив их в ряд Тейлора относительно точки ξ . Ограничившись тремя членами разложения, получим

$$\Delta_m \leqslant (1+\beta) \int \left[\overline{\Delta q}(\xi) - \overline{\Delta q}'(\xi) \varkappa + \overline{\Delta q}''(\xi) \frac{\varkappa^2 + 2,25}{2} \right] h(\varkappa) d\varkappa - \overline{\Delta q}(\xi) (11)$$

или для оценки Δ_{-} сверху

$$\Delta_m \leq \Delta_{m_0} + \Delta_{m_1} + \Delta_{m_2}, \tag{12}$$

гле

$$\Delta_{mo} = \overline{\Delta q}_{max} \left[(1+\beta) \int_{-\infty}^{T} h(x) dx - 1 \right] , \qquad (12a)$$

$$\Delta_{m_1} = -\Delta \overline{q}'_{max} (1+\beta) \int_{-\infty}^{T} \kappa h(\kappa) d\kappa , \qquad (126)$$

$$\Delta_{m2} = \overline{\Delta q}_{max}^{"} \frac{1+\beta}{2} \int_{0}^{T} (x^2 + 2,25 T^2) h(x) dx \qquad (I2B)$$

Величину $\overline{\Delta_{cn}^2}$ можно оценить, подставив в (5) выражение для $\Delta \dot{\mathcal{U}}(\xi)$, например, (8). Учитивая предположение о характере измераемых случайных процессов, после очевидных преобразований получим

$$\overline{\Delta}_{cn}^{2} = \frac{1}{2} (1+\beta^{2}) \iint_{0}^{T} \left[R_{2}(\tau-\varkappa) + R_{1}(\tau-\varkappa) \right] h(\varkappa) h(\tau) d\varkappa d\tau +$$

$$+ \frac{1}{4} (1-\beta^{2}) \iint_{0}^{T} \left[R_{2} (3T+\tau-\varkappa) + R_{2} (3T-\tau+\varkappa) + R_{3} (T+\tau-\varkappa) + \right]$$

$$+ R_{3} (T-\tau+\varkappa) \left[h(\varkappa) h(\tau) d\varkappa d\tau - \right]$$

$$-\frac{1}{2}(1+\beta^{2})\iint_{0}^{TT} \left[C_{t_{2}}(2T+\tau-x)+C_{t_{2}}(2T-\tau+x)\right]h(x)h(t)dxdt - \\ -\frac{1}{2}(1-\beta^{2})\iint_{0}^{TT} \left[C_{t_{2}}(T+\tau-x)+C_{t_{2}}(T-\tau+x)\right]h(x)h(t)dxdt - \\ -\beta\iint_{0}^{TT} \left[M_{t_{2}}(2T+\tau-x)+M_{t_{2}}(2T-\tau+x)\right]h(x)h(t)dxd(t),$$
(I3)

где C_{12} в M_{42} — четная в нечетная компоненты взаимокорреляционной функции R_{12} .

Анализируя вирежение (13), можно оделать следующие заключения:

а) полагая β <1, последним олагаемым можно пренебречь; б) по сравнению с первым слагаемым все остальные олагаемые малы, учитывая аргументы входящих в них корредяционных функций и полагая, что время Т больше интервала корредяции. Поэтому запишем для $\overline{\Delta^2}_{co}$ приближенную оценку, которая будет для нее оценкой оверху

$$\overline{\Delta_{ch}^2} \leq \frac{1+\beta^2}{2} \iint_0^T \left[R_2(\tau - x) + R_1(\tau - x) \right] h(x) h(\tau) \, dx \, d\tau.$$

Вводя новые переменные интегрирования и учитывая четность автокорреляционных функций, после преобразований получим

$$\overline{\Delta_{cs}^2} \leq (1+\beta^2) \int_0^T [R_2(\tau) + R_1(\tau)] b(\tau) d\tau, \qquad (14)$$

где множитель $(1+\beta^2)$ учитивает влияние ненулевих начальних условий, а

$$\delta(\tau) = \int_{\tau}^{\tau} h(x) h(x-\tau) dx$$
 (15)

- весовая функция, которая определяется свойствами измерительного устройства. Таким образом, для ореднеквадратичной погрешности & с учетом (4) получим

$$\varepsilon \leq \left[(1+\beta^2) \int_{0}^{T} \left[R_2(\tau) + R_1(\tau) \right] b(\tau) d\tau + \Delta_m^2 \right]^{1/2}, \tag{16}$$

где Δm определяется выражением (I2).

Коли измерительное устройство представляет собой инерционное

звено первого порядка, т.е. $h(x) = \exp(-x/T_u)$, где T_u – постоянная времени инерционного звена, то

$$b(\tau) = \frac{1}{2T_H} \left[\exp\left(-\frac{\tau}{T_H}\right) - \exp\left(\frac{\tau}{T_H} - \frac{2T}{T_H}\right) \right]. \tag{17}$$

Для расчета погрешности измерений при заданних параметрах измерительного устройства или для вноора оптимальних параметров измерительного устройства, обеспечивающих значение погрешности, не превишающие заданное, не обходимо задать вид корреляционних функций $R_1(\mathcal{T})$ и $R_2(\mathcal{T})$, а также оценить их параметри и величини $\overline{\Delta q}_{\max}$, $\overline{\Delta q}_{\max}'$ и $\overline{\Delta q}_{\max}''$.

Для примера рассмотрим случай, когда $R_1(\mathcal{T})$ и $R_2(\mathcal{T})$ описиваться экспоненциальной зависимостью, т.е. $R_1(\mathcal{T}) = D_1 \exp\left(-\gamma_1 \mathcal{T}\right)$ и $R_2(\mathcal{T}) = D_2 \exp\left(-\gamma_2 \mathcal{T}\right)$. Тогда для ε о учетом (17) получим

$$\varepsilon = \left\{ \left[\frac{D_1}{2} \left(\frac{1}{p_1 + 1} - \frac{1}{p_1 - 1} e^{-2S} + \frac{2}{p_1^2 - 1} e^{-S(p_1 + 1)} \right) + \frac{D_2}{2} \left(\frac{1}{p_2 + 1} - \frac{1}{p_2 - 1} e^{-2S} + \frac{2}{p_2^2 - 1} e^{-S(p_2 + 1)} \right) \right] (1 + e^{-2S}) + \Delta_m^2 \right\}^{1/2},$$
(I8)

где $\rho_1 = \gamma_1 T_n$, $\rho_2 = \gamma T_n$ и $S = T/T_n$, а выражения для составляющих систематической погрешности Δ_m , определяемой выражением (12), учитивая вид h(x), можно зацисать

$$\Delta_{m_0} = -\overline{\Delta q}_{max} e^{-2S} \quad , \tag{19}$$

$$\Delta_{m_{4}} = - \overline{\Delta q}'_{max} T_{n} \left[i - (i + S) e^{-5} \right] \left(i + e^{-5} \right) , \qquad (20)$$

$$\Delta_{m2} = \overline{\Delta q}_{max}'' \frac{T_{n}^{2}}{2} \left[2 + 2,25 \, S^{2} - \left(3,25 \, S^{2} + 2 \, S + 2 \right) e^{-5} \right] \left(1 + e^{-5} \right)_{(2I)}$$

Множители $(1+\beta^2)=(1+e^{-2\delta})$ и $(1+\beta)=(1+e^{-5})$ в выражениях (18), (20) и (21) учитывают влияние начальных условий на погрешность измерений. Выражения для систематической и среднеквадратичной погрешности при нулевых начальных условиях легко получить, положив в (18), (20) и (21) $\beta=0$.

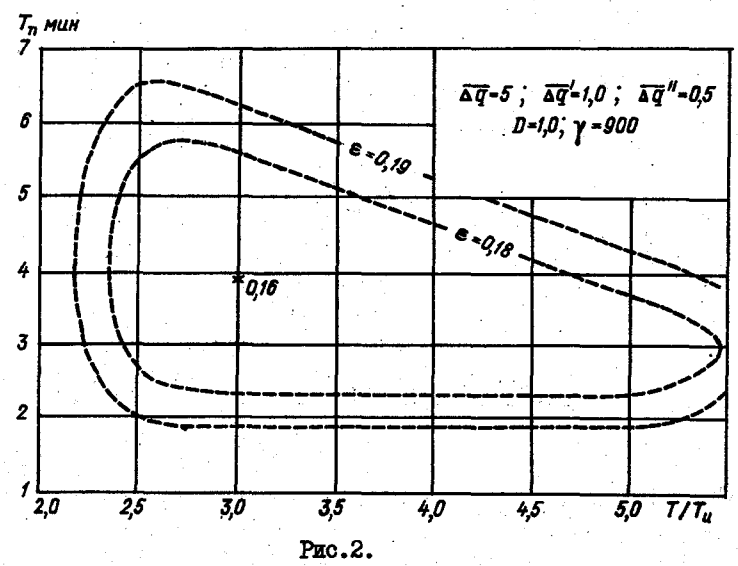
Из рассмотрения получениих для Δ_m и ξ выражений можно сделать следующие виводи.

1. Систематическая погрешность Δ_m не равна нулю при любом конечном значении Т (при $T_n \neq 0$). Однако при больших значениях

S (больших T или малых T_{M}) влияние величины Δ_{mo} становится нренебрежимо малым, а величина $\Delta_{m_{A}}$ асимптотически стремится к величине $-\overline{q}_{max}$ T_{M} . Таким образом, при больших значениях S (S > 3) можно уменьшить суммарную погрешность, если относить получаемую оценку $\Delta \mathcal{U}$ не к моменту времени ξ , а к моменту времени ($\xi - \Delta \ell$). При этом нетрудно показать, что при $S \to \infty$, $\Delta \ell \to T_{M}$.

2. Для величин T и T_{ν} могут онть получени оптимальние значения, обеспечивающие минимум среднеквадратичной погрешности ε , причем оптимальние значения T и T_{ν} , определнемие для нулевих и не нулевих условий, несколько различаются между собой.

Очевидно, что при больших значениях S , $\beta \ll 1$, поэтому влиянием начальних условий на погрешность измерений можно пренебречь. Результати расчетов оптимальных значений T и T_{ν} при различных параметрах измеряемих процессов, а также значения среднеквадратичной погрешности $\mathcal E$ в соответствии c (IS) приведени в таблице. На рис.2 построена зависимость погрешности измерений $\mathcal E$ от вибираемой величини T_{ν} и отношения T/T_{ν} для одного из вариантов расчета



Как видно из рис.2, функция \mathfrak{E} ($T_{\mathfrak{u}}$, T) имеет довольно пологий оптимум, что позволяет снизить требования к стабильности выбираемых величин T и $T_{\mathfrak{u}}$.

Интересно сравнить величину статистической погрешности для рассмотренного выше метода с погрешностью обычного градиентного мето-

)	i .						.*				:	
ний метод	To our	6,4	ຄູ່	8,7	I7,3	4,7	0.9	4,8	7,3	0,9		
Градиент	[b] 73	0,142	0,179	0,149	0,097	0,114	0,182	0,145	0,230	0,182	0,145	0,230
врения одним датчикси	T	23°52	14,3 16,0	123	16,3	ΩΩ	10,7	ω 0,0 0,0	13,7 23,7	113,0	17,0	14. 14.
	Ти опт	6,7 6,7	ທູດ ທູ	സസ ഫ്ല്	6 5,7	လယ က်က်	44 ຜູ້ຜູ້	യയ രൂഹ്	ကက တဏ	4.c. 0.e.	ಬ್ಬಿ ಬೈಲ್	44 88
	န [ရ]	0,班 0,	0,134 0,137	0,132 0,135	0,114 0,116	0,117	0,148 0,152	0,117 0,120	0,187 0,192	0,155	0,120 0,125	0 200 200 200
Метод изм	Начальние условия	99 <u>,</u>	00 1174	00 **	00 7							00 1174
۲	r-1	006	006	006	006	006	006	1800	450	006	1800	420
Q	$[q^2]$	1,0	1,0	1,0	I,0	0,5	1,0	1,0	П,0	1,0	1,0	1,0
Δq".	[q/r]	0.0	0.0	0,5	0,5	0,5	0 ,5	0,5	0,5	0,5	0,5	0,5
Δq'	[4/r]	0,5	I,0	0,5	0,0	1,0	1,0	1,0	и , 0	1,0	1,0	1,0
ΔQ	7 max [4]	2,0	2,0	2,0	2,0	2,0	0,8	2,0	2,0	5,0	5,0	5,0
	$\overline{\Delta q}'' = \overline{\Delta q}''' = D$ γ Метод измерения одним	γ Метод измерения одним датчиком Градивнтний ме r^{-4} Начадънне ϵ_1 ϵ_2 ϵ_3 ϵ_4 ϵ_4 ϵ_4 ϵ_4 ϵ_4 ϵ_4 ϵ_4 ϵ_4 ϵ_4	$\Delta \phi'_{max}$ $\Delta \phi''_{max}$ D γ Метод измерения одним датчиком Градивнтний ме [q/r] [q/r] [q/r] [q/r] I	$\Delta \phi'_{\text{мох}}$ $\Delta \phi''_{\text{мох}}$ D γ Метод измерения одним датчиком Градивнтний метод брадивний метод $\{\phi/r\}$ $\{$					$\Delta q'_{\text{max}}$ $\Delta q''_{\text{max}}$ D γ Maturabhh (q.1) R_{1} Maturabh (q.1) R_{2} $R_$	$\Delta q''_{max}$ $\Delta q'''_{max}$ D γ Metaanshie E I and the material	$\Delta q'_{mox}$ $\Delta q''_{mox}$ D f	

да намерения двумя датчиками. При этом будем считать, что оба датчика, установление на двух фиксированиих висстах, включаются в мостоную схему, виходной сигнал которой, представляющий собой разность виходних сигнадов датчиков, усиливеется и сглаживается измерительным устройством. Инерционностью датчикон при таком рассмотрении булем пренебрегать.

Тогда для сигнада на виходе измерительного устройства можно записать

$$\Delta U(t) = \int_{0}^{\infty} \Delta q (t-\tau) h(\tau) d\tau$$
.

Запишем выражения для составляющих среднеквадратичной погрешности, используя допущение со карактере измеряемых процессов, сделанное выше. Тогда, аналогично (14), получим

$$\overline{\Delta_{c_q}^2} = 2 \int_0^\infty \left[R_2(\tau) + R_2(\tau) - 2C_{12}(\tau) \right] b_1(\tau) d\tau, \qquad (22)$$

rie

$$\beta_{I}(r) = \int_{0}^{\infty} h(x) h(x-r) dx$$
 (23)

- весовая функции, определяемая свойствами измерительного прибора. Приближенно можно записать

$$\overline{\Delta}_{ch}^{2} \leqslant 2 \int_{0}^{\infty} \left[R_{2}(\tau) + R_{1}(\tau) \right] b_{1}(\tau) d\tau. \tag{24}$$

Для систематической погрешности получим

$$\Delta_m = \int \overline{\Delta q} (t - r) h(r) dr - \overline{\Delta q}(t) .$$

Разлагая Δq (t-x) в ряд Тейлора относительно точки t получим по аналогии с (12a, б, в)

$$\Delta_m \leqslant \Delta_{m_0} + \Delta_{m_1} + \Delta_{m_2} \quad , \tag{25}$$

ГДE

$$\Delta_{mo} = \overline{\Delta q}_{max} \left[\int_{0}^{\infty} h(\tau) d\tau - 1 \right] , \qquad (25a)$$

$$\Delta_{m_d} = -\bar{\Delta q}'_{max} \int_0^\infty r h(r) dr , \qquad (256)$$

$$\Delta_{m_2} = \frac{\overline{\Delta q}_{max}''}{2} \int_0^\infty r^2 h(r) dr. \tag{25B}$$

Для измерительного устройства, представляющего собой инерционное звено первого порядка, задаваясь видом корреляционных функций $\mathcal{R}_1(\tau)$ и $\mathcal{R}_2(\tau)$, по аналогия о (18), получим

$$\xi_{4} = \left[\left(\frac{D_{t}}{\rho_{t} + 1} + \frac{D_{2}}{\rho_{2} + 1} \right) + \left(\overline{\Delta q}'_{max} T_{n} + \overline{\Delta q}''_{max} T_{n}^{2} \right)^{2} \right]^{4/2}. \tag{26}$$

Результати расчетов оптимальной величини T_n и среднеквадратичной погрешности \mathcal{E}_1 в соответствии с (26) приведени в указанной внше таблице. Как видно из таблици, значения среднеквадратичных погрешностей обоих методов согласуртся.

При оценке возможности использования предлагаемого метода градеентных измерений с помощью одного датчика следует также учитивать, что в этом случае существенно уменьшается аппаратурная погрешность /1/. Кроме того, при этом можно применять такие типи датчиков, использование которых в дафференциальной схеме измерений не представляется возможным (например, электролитические подогревные гигрометры и гигрометры точки роси при определении влажности возпуха).

Аналогичным образом могут проводиться я измерения профилей метеовлементов.

CHUCOK JINTEPATYPH

- 1. Вальковский В.Б., Каганов М.А., Яккер М.Н. О погрешности градиентных измерений метеорологических элементов о использованием одного прибора. В кн.: Приборы и устройства контроля параметров среды обитания растений. М.. 1980. с.78—83.
- 2. Коток А.Ф., Цветков Э.И. Спектральный и корреляционный анализ нестационарных случайных процессов. М.: изд. Комитета стандартов, мер и измерительных приборов при СМ СССР, 1970. 97 с.

ОБ ЭНЕРГЕТИЧЕСКОМ БАЛАНСЕ ОКЕАНИЧЕСКОЙ ПОВЕРХНОСТИ НА ПЕРВОМ ПОЛИГОНЕ ЭКСПЕДИЦИИ МОНЕКС (ЗИМНИЙ)

Исследование энергетического взаимодействия океан-атмосфера является одним из важнейших разделов комплексных программ по изучению мирового океана. Для создания физически обоснованных моделей общей циркуляции атмосферы и теории климата необходима подробная временная и пространственная детализация процессов энергообмена океана с атмосферой. Возможность такой детализации обусловливается как постановкой крупных наблюдательных программ, позволяющих получить в нужном объеме исходную информацию, так и значительными успехами в разработке осовременных расчетных схем, позволяющих характеризовать интенсивность переноса энергии в различных условиях.

В экспедиции МОНЭКС (зимний) группа ГТО проводила работи по определению количественных карактеристик динамического и теплового взаимодействия в соответствии с программой, аналогичной реализованным ранее программам АТЭП (1972 и 1974 гг.), "Тайфун" (1975 и 1978 гг.), "Муссон" (1977 г.), а также программам, реализованным в отдельных рейсах НИС /4/. В данной работе приводятся основние результати, полученние на первом этапе экспедиции на политоне в Южно-Китайском море за период 6-28 декабря 1978 г. Для расчетов использовани данные наблюдений судов НИСП "Прилив" (70 с.ш., 1090в.д.), (4° с.ш., 111° в.д.) и НИС "Академик "Академик Королев" Ширшов" (7° с.ш., 113° в.д.). Основние процесси динамического и теплового взаимолействия океана и атмосферы характеризуются следующими величинами: линамической скоростью, определяющей интенсивность турбудентного обмена количеством движения между оксаном и атмосферой, турбулентними потоками тепла и водяного пара на поверхности окезна и радиационным балансом.

Для определения турбулентных потоков использовались известные соотношения:

$$V_{\mathbf{x}} = \sqrt{C_{\mathbf{u}}} \ U \ , \tag{1}$$

$$H = C_{\rho} \rho C_{\theta} U \left(t_{o} - t_{q} \right), \qquad (2)$$

$$LE = L \rho C_0 U (q_0 - q_a), \qquad (3)$$

 V_* - динамическая скорость,

Н - турбулентный поток тепла;

LE - затрати тепла на турбулентний перенос влаги;

— скорость ветра;

 t_o – температура поверхности води;

 t_a – температура воздуха;

 $q_{\it o}$ — маосовая доля влаги при наонщении;

 q_{lpha} - массовая доля влаги;

 $C_{
ho}$ и $\ddot{
ho}$ – теплоемкость и плотность воздуха;

Си - коэффициент сопротивления:

Се - коэффициент тепло- и влагообмена:

- скритая теплота испарения.

Для определения коэффициентов C_u и C_e использовалась расчетная методика, разработанная в ITO, основние принципи которой изложени в /2/. Расчетние формулы этой методики затабулировани и приведени в последнем издании работи /9/.

В связи с тем, что значения коэффициентов C_u и C_θ меняются в зависимости от висоти, величини U, ℓ_a и q_a необходимо приводить к стандартной висоте 10 м (величини ℓ_a и q_a измерялись на уровне, близком к стандартному и поэтому приведения не тресуют). Приведение значения U виполнялось с помощью параметра

 $\Delta T_{
m ap}$, определяющего стратификацию плотности приводного слоя воздуха /2/ ($\Delta T_{
m ap}$ = $\Delta \ell$ + 0, II $\Delta \ell$, где $\Delta \ell$ = ℓ_o ;

 $\Delta e = e_0 - e_q$).

Для определения радиационного баланса

$$B = Q - R - E_{300}, \qquad (4)$$

использовались данние суммарной (Q) и отраженной (R) солнечной радиации и рассчитанние значения эффективного (длинноволнового) излучения ($E_{\gg Q}$). Для этих расчетов использовалась методика /3/, которая также затабулирована в /9/ с уточнениями, содержащимися в /4, 7/.

Наконец, результирующий тепловой поток Π , характеризующий нагрев или охлаждение океана, определялся как остаточний член уравнения теплового баланса

$$\Pi = Q - R - E_{3\omega} - LE - H \tag{5}$$

Таким образом, необходимими данными для выполнения расчетов по соотношениям (I)-(5), являются суммарная и отраженная радиация, балл общей и нижней облачности, температура воды и воздуха, влажность воздуха и скорость ветра.

Из всех величин, определяющих энергообмен окаян-атмосфера и получаемых расчетным путем, лишь эффективное издучение может быть непосредственно сопоставлено с результатами прямых измерений, поскольку в темное время суток такие измерения выполнялись. Сравнение значений $E_{3\phi}$, определенних по ежечасным измерениям на нисп "Прилив" и путем парадлельных расчетов, показало, что расхождения между ними находятся в пределах погрешностей как измерений, так и расчетов — за время проведения эксперимента (на полигоне) средние значения этой величини оказались равними соответственно 0,039 и 0,043 кВт/м 2 (при осреднении использовано 240 пар значений $E_{3\phi}$).

В морокой климатологии считается допустимым определять величини \mathcal{H} и LE по осредненным значениям входних параметров с ввещением определенных коррекций в результати расчетов /1/. Однако во избежание появления возможных погрешностей расчети выполнялись более корректным методом: по формулам (1)—(5) за каждый срок наблюдений с последующим осреднением величин \mathcal{V}_{κ} , \mathcal{H} , LE, \mathcal{B} и Ω . При этом на НИСП "Прилив" наблюдения выполнялись 24 раза в сутки (через каждый час), а на НИС "Академик Шаршов" и НИС "Академик Королев" — 8 раз в сутки (в синоптические сроки).

ЛЛЯ СОПОСТАВИМОСТИ ВСЕХ РЕЗУЛЬТАТОВ И ОЦЕНКИ ПОГРЕШНОСТИ РАСЧЕтов, возникающей из—за различного количества данних, используемих при осреднении для получения суточных сумм потоков, была выполнена специальная методическая проработка, заключавшаяся в следующем. По данным НИСП "Прилив" были дополнительно рассчитаны суточные сумми всех компонент теплового баланса при осреднении потоков за те же восемь сроков, в которые проводились наблюдения на НИС "Академик Королев" и НИС "Академик Ширшов". По полученным парамазначений (за 24 и 8 сроков наблюдений) суточных сумы В и П (величин, имениих наибольшую временную изменчивость) выполнялось скользящее осреднение за различние интервали времени. В результате оказалось, что искомая погрешность не превишает 3 % от значения радиационного баланса при интервале осреднения, равном 10 сут и 1 % - при интервале 15 сут. Поскольку длительность работ на полигоне равнялась 23 сут. то результаты расчетов на всех судах можно считать безусловно сопоставимими. Более общий вивод из анализа этих данных состоит в том, что при длительности работ на полигоне, превышающей две недели, возможно выполнение подобных расчетов только по данным восьми сроков измерений, если целью является получение лишь надежних средних значений.

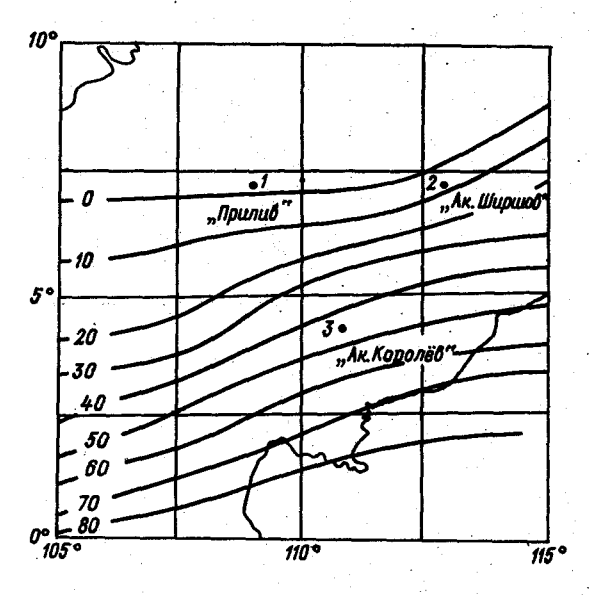
При сопоставлении данных о турбулентных потоках, полученных на этих судах, следует иметь в виду, что на НИСП "Прилив" в результати расчета вводилась поправка на дрейф судна 6. Среднее значение этого поправочного коэффициента составило 1.14; эта поправка учитивает как поправку непосредственно на измеренную скорость ветра, так и на соответствующие изменения коэффициентов C_6 и C_{α} , зависящих от скорости ветра.

Так как такая работа была выполнена только на НИСП "Прилвв", то не представляется возможным вводить эту же поправку для судов другого типа, какими являются НИС "Академик Королев" и "Академик Ширшов". Поэтому, приводимые в данной работе значения $U_{\mathbf{x}}$, H и LE подучены на НИС "Академик Королев" и НИС "Академик Ширшов" являются несколько заниженными. В качестве самой приближенной оценки это занижение можно оценить примерно равным 10 %. В соответствии с этим и значения результирующего теплообмена Π следует полагать для этих судов завышенными на 0,1 (H+LE).

Основной особенностью полигона в рассматриваемий период било то. что над ним наблюдадась внутритропическая зона конвергенции (ВЗК). Поэтому анализ полученных результатов по данным судов, образующих полигон, пелесообразно вести, в первую очерель, с пелью выявления влияния ВЗК на интенсивность энергообмена океан-атмосфера. Для этой цели по ежедневним синоптическим картам и спутниковим фотографиям облачности определялась повторяемость наличия ВЭК по району исследования. ограниченному координатами 0-10° с.ш. и 105-115° в.п. Этот район бил разбит на квадрати с длиной сторони 2⁰ 30'. В этих квалратах для каждого дня фиксировалось наличие ВЗК по следующим признакам: общее количество облаков не менее 7 баллов с преобладанием кучево-дожлевых форм, выдаление осалков и поворот ветра с северовосточних румбов на восточние или юго-восточние. Эти данние позволили рассчитать процент повторяемости ВЗК лля каждого квалрата за время выполнения эксперимента на полигоне и построить карту (рис. 1). Здесь же показано местоположение судов. Как видно из рис. І расположение полигона было чрезвичайно удачным для рассматриваемой задачи. поскольку НИСП "Прилив" находился в районе, не испитивающем прямого воздействия ВЗК, НИС "Академик Королев" в районе, карактеризуемом высоким значением вероятности наличия ВЗК, а НИС "Академик Ширшов" занимал некоторое промежуточное положение.

В табл. І приведени данные об основних характеристиках энергообмена и некоторых определяющих метеорологических параметрах в виде средних за политон значений суточных сумм Q, $E_{3\varphi}$, B, H, LE и Π , средних значений V_{χ} , $V_{t\theta}$, $\Delta T_{3\varphi}$, Δe , баллов общей и нижней облачности и средних величин B_{o} и R_{ig} . Здесь B_{o} — отношение Боуэна ($B_{o} = \frac{H}{LE}$), R_{ig} — аналог числа Ричардсона, являющийся критерием устойчивости приводного слоя воздуха, величина которого пропорциональна отношению $\frac{\Delta T_{3\varphi}}{U_{ig}^{0}}$ /2/. Значения B_{o} и R_{ig} определены здесь по средним значениям $\Delta T_{3\varphi}$ и U_{ig} .

Результати, приведенние в табл. І достаточно наглядно характеризуют влияние ВЗК на изменение интенсивности процессов взаимодействия. Основными чертами этого влияния являются резкое уменьшение суммарной радиации и радиационного баланса, уменьшение скорости



Перепалов темпера-∆ Тао и влаж-TY DE HOCTH △e .ymeличение интенсивности турбулентного теплообмена и вели-HHNP B_0 , сильное увеличение от--эрвне хиналэтели ний параметра Кід (рост неустойчивости приводного слоя воздуха). Следотвием этих явлений -вне внемо котеквая ка результирующего теплового потока П. свидетельствующая О СИЛЬНОМ ВИХОЛЯЖИ-

ветра. увеличение

PEC.I'

вании океана в районе ВЗК - этот поток превишает по величине радиа-

Принципиальные различия в процессах переноса энергии у поверхности океана в рассматриваемых точках полигона наглядно иллюстрируются гистограммами значений Ri_8 , построенным по всем данным срочных измерений на полигоне (рис.2).

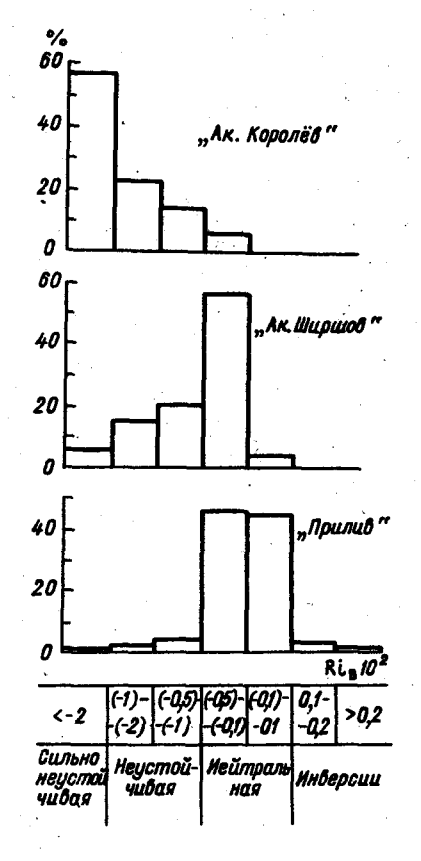
Из рис. 2 видно, что для района работи НИСП "Прилив" условия стратификации приводного слоя являются чисто нейтральними, для района НИС "Академик Ширшов" уже около половини случаев относятся к неустойчивим условиям и, наконец, в районе ВЗК (НИС "Академик Королев") преобладающим режимом стратификации является сильная неустойчивость — лишь 6 % случаев относятся к условиям нейтральной стратификации.

Отметим, что столь ярко выраженные условия неустойчивости отмечены в окезне лишь в некоторых северных районах при наличии теплых течений, например, для станции погоды M (66° с.ш., 2° в.д.) I2I.

Из приведенных в табл. І данных обращают на себя внимание два факта, содержащие определенные противоречия. Первый из них состоит в том, что заметные различия в средних значениях скорости ветра между данными НИСП "Прилив" и двух других судов не сопровождаются соответствующими различиями в величинах \mathcal{H} и \mathcal{LE} . Однако объяснение этого факта следует из других данных, приведен-

Таблица 1

Onth			Milk/n2	cŽ.			202	Un A Top A P	A Type	Δe	-00	- 25	50	
Option -	ø	E ₃₄ B	8	И 37 Н	77 7	=	M / 0	M C	ပ္	allr	mego mreo	07.°2	08.00 00.10 00.10 00.10	
нисп "прядав"	15,6	8,7	10,9	8,0	8,7	8	3	0.6	0,4	4°4	8/6	٣	-0,16	1
нис "Академик Ширшов"	15,1	3,7 IO,3 0,3 8,8 I,2	10,3	0,3	8	H,2	53	7,3	I,0	0,9	8/2	4	IO,3 0,3 8,8 I,2 29 7,3 I,0 6,0 8/5 4 -0,63	
	8.5	4,I	0 8	H, 5	7,8	-5,4	22	5,7	ູດ	9,9	22 5,7 2,5 6,6 8/4	81	8,5	

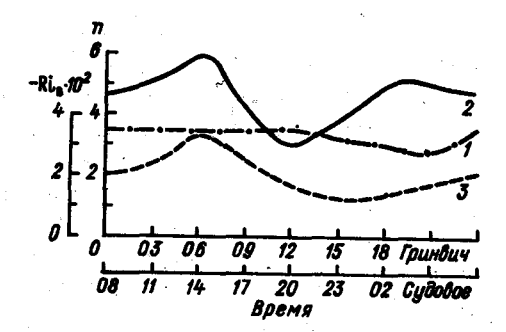


Pac.2

них в этой же таблице, свидетельствующих о заметном увеличении неуотойчивости и вертикальных перепадов влажности и температури в районах действия ВЭК, компевсирующем или даже пересиливающем эффект ослабления ветра.

IDVION US STUX DARTOB резкое уменьшение суммарной OTOHHOMIBATIAN M BATTANTAG баланса в зоне ВЗК (НИС "Акалемик Королев") при близких средних значениях баллов облачности для всех трех районов. Для объяовения этого используем результати измерений и расчетов, осредненние по срокам за время виполнения эксперимента на полигоне. На рис.3 приведены результаты осреднения баллов нижней облачности по ланным НИСП "Прилив" (кривая І) и НИС "Академик Королев" (кривая 2) я параметра Кід по данним НИС "Академик Королев"

(кривая 3) (определяющих в районе исследования условия НИСП "Пралив" этот параметр близок к 0). Отметим, что при осреднении Ri_8 для НИС "Академик Королев", представленных на рис.З, вошли не все
дни, так как при крайне малых скоростях ветра, когда определяющим
в теплообмене становится режим конвекции, оперирование этим параметром становится бессинсленным, так как он может бить использован
только при описании режима турбулентности. Поэтому, в осреднение
здесь вошли лишь те дни, за все сроки которого било возможно вичисление Ri_8 . Из рисунка видно наличие явного максимума значений
балла нижней облачности для НИС "Академик Королев" в дневние часн
и отсутствие заметного суточного хода этой величини для НИСП "Прилив". Этим и объясняется большое различие в суммах радиационных
потоков, так как времени максимально возможного прихода радиации
в зоне ВЗК как раз сопутствует наличие мощных облаков, мало про-



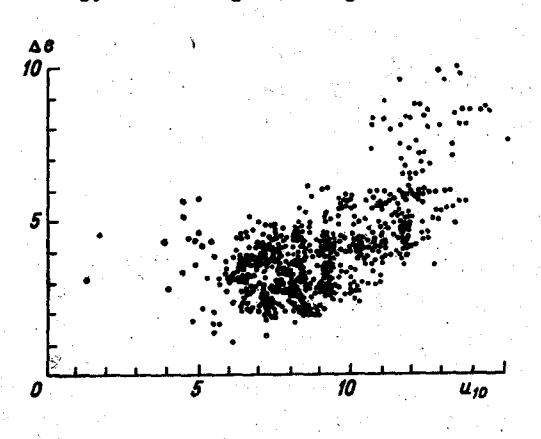
Pac.3

зрачных для солнечной радиации.

Важно отметить в этих условиях совпадение по времени максимумов отрицательных значений $Ri_{\mathcal{B}}$, характеризующих условия неустойчивости приводного слоя, и количества облаков.

Отмеченные особенности формирования радиационного и турбулентного теплообмена в зоне ВЗК заслуживают внимания в силу нарушения
карактера зависимости теплообмена от величин определяющих его параметров, при использовании их средних значений, оперируя которыми
невозможно в этих уоловиях получить сколько-нибудь удовлетворительные результаты в расчетах. Так, пошнтка расчета результарующего
потока тепла П в ВЗК на основании всех необходимых данных, характеризующих окружающий фон (в данном случае ими могут считаться результаты наблюдений и расчетов по НИСП "Прилив") и учете имеющихся
различий в средних значениях между фоном и ВЗК в величинах балла
облачности и скорости ветра, привела бы к значениям этой величин,
близким к приведенным в табл. І для НИС "Академик Королев", но с
противоположным знаком.

Отметим еще один факт, выявившийся при обработке данных и связанный с возможными погрешностями расчетов карактеристик теплообмена при использовании средних величин входных параметров. Неоднократними проверками с использованием фактического материала измерений в океане отмечено практическое отсутствие корреляции между основными параметрами в расчетах турбулентных потоков - скоростью ветра и вертикальными перепадами температуры и влажности вода-воздух /2/. Это обстоятельство как раз и дает возможность климатологам использовать осредненные значения этих величин при расчетах по формулам (2) и (3). Поскольку метеорологические условия полигона обладают целим рядом особенностей, била выполнена проверка выполнимости этого положения по данным всех трех судов для величин ΔC и U_{40} . При этом ока-залось, что данные НИС "Академик Шаршов" и "Академик Королев" не показывает наличие корреляции между этими величинами, что соответствует обычным "средним" условиям океана. Однако для района, в котором проводит наблюдения НИСП "Прилив", наличие такой корреляции явно обнаруживается (рис. 4). При этом особенно неожиданным является



Pac.4

ветра приводат к большему перемешиванию
нижнего слоя
воздуха и можно
било би ожидать
соответствующего уменьшения
перепадов температури и влажности, как это
действительно и
происходит в

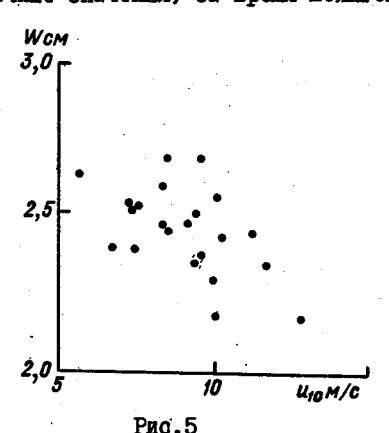
ее знак, так как усиление

условиях приземного слоя над сушей. Специфика условий морской поверхности (наличие постоянного условия насищения на поверхности, практическое отсутствие колебаний ее температуры) в обычных условиях приводит к исчезновению этих связей, однако появление корреляции противоподожного знака трудно объяснить лишь процессами микровзаимодействия. Наличие корреляции такого знака между величинами

U₄₀ я Δℓ отмечено при прохождении явно виражении холодних фронтов /8/. Однако результати, приведенние на рис.4, имеют очевидно, иное объяснение. Устойчивие по направлению северо-восточние пассатние потоки переносят в рассматриваемий район сравнительно сухие воздушние масси, которые постепенно увлажняются по мере увеличения времени переноса над поверхностью океана. Очевидно, в нашем случае усиление ветра приводат к сокращению этого времени, в результате чего к рассматриваемому району приходит сравнительно более сухой воздух, что и визнвает увеличение Δ €. Это предположение может бить обосновано анализом результатов по определению влагосодержания атмосфери, рассчитанного по данным радиозондирования с НИСП "Прилив".

При этом целесообразно рассматривать не общее влагосодержание, а влагосодержание пограничного слоя, за верхною границу которого

можно принять уровень 850 гПа, так как при этом исключаются возможнне изменения содержания влаги в атмосфере на больших висотах, не
связанные с процессами непосредственного взаимодействия океан-атмосфера. На рис.5 приведена связь этой величини со скоростью ветра
(среднесуточные значения) за время политона. Как следует из пред-



ставленных данных, увеличеные скорости
ветра достаточто явно внзивает уменьшеные содержания
влаги в пограничном слое
атмосферы. Отмеченная зависимость величины ФС от
скорости ветра

носит, очевидно, местний карактер вследствие трансформационных причин ее появления, но можно предположить стабильность этого эффекта для всего времени существования северо-восточного переноса в рассматриваемом районе. Этот факт имеет определенное значение для расчетов испарения, поскольку при усилении ветра испарение будет возрастать не линейно, как это следует из выражения (3), а по степенному закону со значением показателя степени, равним 1,5-1,6. В этом случае использование средних значений Δe и U_{10} для расчета испарения будет неизбежно приводить к занижению результатов.

До сих пор при оперировании величинами потоков океан-атмосфера везде использовались лишь их средние или суммарние значения. Представление об их временной структуре можно получить из данных табл. 2, где приведени дисперсии суточных сумм Q, B, H, LE и Π и средних суточных значений U_{40} и Δe .

Таблица 2

Судно		ŀ	/Дж/м ²			U 10	Δe
Оудно	Q	В	H	LE	П	M/C	rlla
"Прилив"	3,90	3,64	0,29	5,07	6,66	1,9	1,5
"Академик Ширшов"	5,07	4,27	0,38	2,26	6,28	1,7	0,8
"Академик Королев"	5,28	4,73	0,59	2,01	5.82	1,9	0,7

В приведенных результатах очевидным является соотношение дисперсий радиационных потоков (Q и В) между рассматриваемыми районами, поскольку меняющаяся облачность, характерная для ВЗК, разумеется определяет и большую изменчивость радиационных характеристик. Менее очевидным является соотношение между дисперсиями испарения, поскольку в районе ВЗК они заметно уменьшаются. Это объясняется значительно большей стабильностью режима влажности воздуха в ВЗК, что следует из приведенных данных о дисперсиях ΔC . Сравнительно ровный фон испарения в ВЗК в результате не привел к увеличению дисперсии результарующего потока тепла Π , которая оказалась даже несколько меньшей, чем в других районах политона.

Характеристика условий полигона, выполненная по средним величинам потоков и их дисперсиям, будет неполной, если не отметить, что по погодним особенностям весь рассмотренний интервал времени может быть четко разделен на два периода с различными синоптическими условиями.

Погодние условия первого периода полигона (6-18/XII) определялись главным образом действием северной периферии экваториальной депрессии и расположенной здесь ВЗК. Поэтому наблюдалось интенсивное развитие кучево-дождевой облачности, частое внпадение ливневых осадков, атмосферное давление колебалось от 1008 до 1010 гПа. В течение всего периода сохраналась высокая относительная влажность воздуха 80-95 %. Среднее значение общего влагосодержания атмосферы в этот период по данным НИСП "Прилив" составило 5,56 см.

Во втором периоде полигона (19-28/ХП) погодине условия формировались размитим полем повышенного давления. На акваторию Южно-Китайского моря затекали холодные сухие континентальные воздушные мясси с севера. Атмосферное давление повисилось до 1011-1013 гПа. уменьшилось количество осадков. Относительная влажность сназилась до 70-85 %, среднее значение влагосодержания атмосферы уменьшилось по 5.19 см (НИСП "Прилив"). Экваториальная депрессия и ВЗК сместились в этот период в район экватора. В результате повторяемость ВЗК в районе исследований в первом и втором периоде политона оказалась существенно различной. Так, для НИС "Академик Ширшов" эти повторяемости составляют 40% и 5%, для НИС "Академик Королев" -80% и 25% соответственно. Столь существенные различия синоптических условий двух периолов подигона сопровождаются соответственной перестройкой структуры теплового баланса. Для примера отметим, что по данным НИС "Академик Королев" во время первого из этих периодов имелось пять дней с отрицательными значениями суточных сумм радиационного баланса (до $-2,30~\text{МЛж/м}^2$), тогда как во втором периоде полигона также, как для других судов за все время их работы, таких случаев не отмечалось.

Различия в значениях теплового баланса поверхности океана за эти два периода приведени в табл.3. В ней представлени разности средних величин суточных сумм потоков между вторым и первым периодами, отнесенние к средним величинам за весь полигон (табл.1) и вираженние в процентах. (Вследствие малых значений величини H они в таблице не приводятся.)

Наиболее важным обстоятельством из данных табл.З является то, что несмотря на большие различия условий этих двух периодов в районе, не испитивающем прямого воздействия ВЗК ("Прилив"), представление величини претерпели сравнительно малие изменения, а величини испарения оказались близкими между собой для всех районов политона.

Таблица З

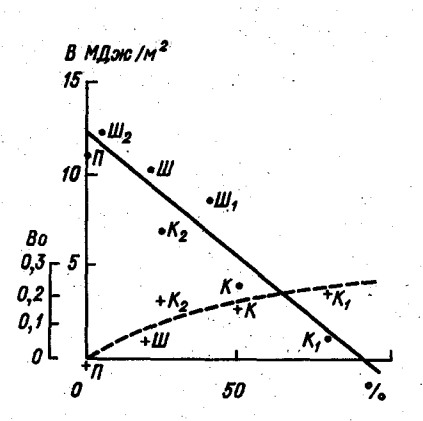
Судно	Q	В	LE	П
"Прилив"	. 8	8	12	-22
"Академик Ширшов"	27	37	-11	393
"Академик Королев"	69	1 36	-2 1	-137

Все приводимне здесь данние отнесени к конкретним районам местоположения судов. Однако, введя предположение об определяющей роми повторяемости ВЗК в формировании условий теплового баланса, можно виполнить соответствующие расчети для всего участка акватории моря, показанного на рис. I, в виде средних значений потоков за все время политона для каждого квадрата с длиной сторони 2030. Для этой цели била использована следующая методика расчетов составляющих теплового баланса.

1. РАДИАЦИОННЫЙ БАЛАНС

Малие изменения **В** от первого ко второму периоду полигона в районе НИСП "Прилив" позволяют предположить однозначную зависимость этой величин от повторяемости ВЗК. Данние о средних величинах радиационного баланса по всем трем судам за весь полигон (табл. I) и результати определения средних значений **В** по каждому из виделенних више периодов наблюдений били использовани для построения зависимости, связивающей эту величину с повторяемостью ВЗК. Для этой цели, кроме общей повторяемости (рис. I), били дополнительно рассчитани повторяемости ВЗК по квадратам отдельно за первий и второй периоди полигона. На рис. 6 приведена эта зависимость (сплошная линия). Здесь точки соответствуют данним З судов, причем индекс I свидетельствует об осреднении результатов за первий пери-

од, 2 — за второй, а отсутствие индекса означает средний результат за все время полигона. Видно, что все точки, подучение по данним НИС "Академик Ширмов", располагаются несколько више точек, соответствующих измерениям НИС "Академик Королев", что свидетельствует о



PAG.6

большем прихоле ра внойво нди импвиц HEDBOTO MS STMX судов при одинако--вол хвинэрвик хив торяемости ВЗК и. следовательно. О менее плотной облачности. Поэтому -мавс квинэповисп ROTROCHTO STOOMUD к некоторым средним условиям облачности ВЗК. Как следует из этой зависимости, суточние сумми радиационного баланса становятся равними О при повторя

емости ВЗК равной 90%, а в "чистых" условиях ВЗК они становятся отрицательными. При этом их значения составляют примерно $1,26 \text{ МДж/м}^2$, что достаточно хорошо согласуется со значениями B, определенными по данным НИС "Академик Королев" в дни наибольшего выражения ВЗК. Приведенная зависимость и была использована для расчетов средних величин B для каждого квадрата по данным о повторяемости ВЗК, представленным на рис. I.

2. SATPATH TEILIA HA UCILAPEHUE

Данние, приведенные в таблицах I и 3 показывают, что значения LE близки между собой по всем районам, а изменчивость этой величини за счет изменения повторяемости ВЗК имеет тот же порядок, что и естественная изменчивость в условиях фона (данние НИСП "Прилив").

Это дает возможность полагать величину LE существенно не меняющейся по акватории и представить ее в виде среднего значения между данными всех трех судов (табл.1). При этом в результати расчетов по НИС "Академик Ширшов" и "Академик Королев" била введена поправка на ветер за счет дрежфа и значения, представленние в табл.1,

інди увеличени на 10%. Среднее значение LE оказалось равным).ОІ МІж/м², что осответствует испарению 0,37 см/оут.

3. ТУРБУЛЕНТНЫЙ ПОТОК ТЕПЛА ОКЕАН-АТМОСФЕРА

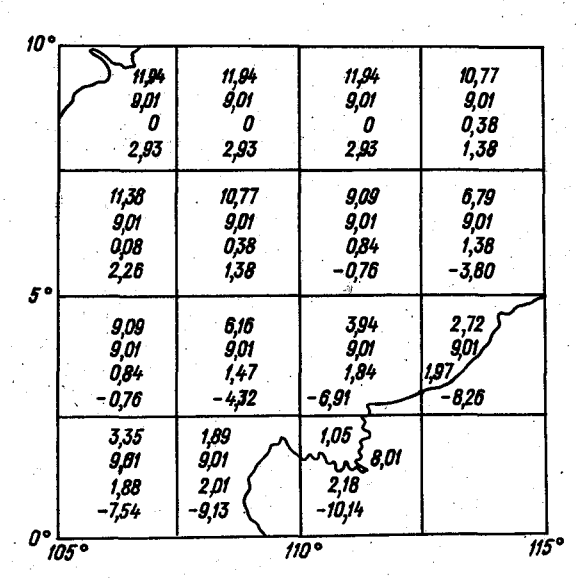
В связи оо оравнительно малими абсолютними значениями \mathcal{H} и, соответственно, большой относительной изменчивостью этих величин, их сопоставление не слишком показательно. Поэтому, для внявления нависимости \mathcal{H} от повторяемости ВЗК использовались средние значения отношения Боуэна для всех судов, которые достаточно четко увеничиваются при увеличении повторяемости ВЗК. Эти результати также приведени на рис.6 (пунктирная кривая). При построении этой зависимости величина \mathcal{B}_0 для повторяемости ВЗК равной 100% принималась равной 0,25 на основании расчета этой величини по данним НИС "Акащемик Королев" в дни с наиболее ярким виражением ВЗК. На основании гриведенной зависимости рассчитивались величини \mathcal{H} для каждого квадрата, согласно данних о повторяемости ВЗК (рис.1), используя соотношение $\mathcal{H}=\mathcal{L}E\cdot\mathcal{B}_0$.

4. РЕЗУЛЬТИРУЮШИЙ ПОТОК ТЕПЛА

На основании результатов расчетов ${\cal B}$, ${\cal LE}$ и ${\cal H}$, величина Π определялась из условий замикания теплового баланса для каждого квадрата.

Результати выполненных расчетов средних значений суточных сумм составляющих теплового баланса для всех квадратов рассмотренной экватории приведены на рис.7. Приведенные здесь цифры относятся к квадратному сантиметру поверхности моря в пределах своих квадратов. Верхняя цифра в каждом квадрате — величина $\mathcal B$, далее последовательно $\mathcal LE$, $\mathcal H$ и Π .

Несмотря на ряд указанных допущений, результать, приведенные на этом рисунке, очевидно достаточно объективно карактеризуют основные закономерности пространственного распределения компонент теплового баланса. Отметим, что полученные данные позволяют сделать вывод о том, что изолиния нулевых значений результирующего потока тепла П примерно совпадает с изолинией ЗО% повторяемости ВЗК на рис.1. Следовательно, в районах акватории, для которых характерны меньшие значения повторяемости ВЗК, происходит нагревание океана, а при больших значениях — его выхолаживание.



Puc.7

CHICOK JUTEPATYPH

- Армель Н.З., Бортковский Р.С., Ботнер Э.К., Кучеров Н.В., Строкина Л.А. О расчете среднемесячных значений потоков тепла и влаги над океаном. - Метеорология и гидрология, 1973, № 5, с.3-11.
- 2. Бортковокий Р.С., Ботнер Э.К., Малевский-Малевич С.П., Преображенский Л.Ю. Процесси переноса вблизи поверхности раздела океан-атмосфера. — Л.: Гидрометеоиздат, 1974.
- Гирдок Г.В., Малевский-Малевич С.П. Методика расчета эффективного излучения поверхности океана. - Труды ITO, 1973, вып. 297, с.124-133.
- 4. Гирдок Г.В., Малевский-Малевич С.П. Методика расчета эффективного излучения поверхности океана с учетом ирусности облаков. — Метеорология и гидрология, 1981, № 10, с.44-52.
- 5. Дубов А.С., Малевский-Малевич С.П., Карачев В.И. Об энергетическом балансе поверхности океана. - Труди ДВНИГМИ, 1975, вып.56, с.167-177.
- 6. Вгоров В.Н., Малевский-Малевич С.П., Об определении скорости ветра на дрейфующем судне. Метеорология и гидрология, 1983, № 3, с.119-120.
- 7. Кириллова Т.В., Гириюк Г.В., Строкина Л.А., Малевский-Малевич С.П. О сопоставлении различных методик расчета составляющих радиационного баланса поверхности океана. Метеорология и гидрология, 1976. № 11. с.107-112.
- Малевский-Малевич С.П. О влиянии взаимной корреляции определяющих параметров в расчете теплообмена океан-атмосфера при прохождении холодных атмосферных фронтов. Труды ITO, 1976, вып. 387, с.41-46.
- 9. Океанографические таблици. Л.: Гидромете опадат, 1975.

НЕКОТОРЫЕ ОЦЕНКИ ТЕПЛОВОГО БАЛАНСА ПОВЕРХНОСТИ ОКЕАНА ПО ЛАННЫМ ЗІ РЕЙСА НИС "ПРОФЕССОР ЗУБОВ"

Взаимодействие океана и атмосферы является одним из факторов, определяющих формирование погодних условий и влияющих на динамику вод океана.

Количественние характеристики энерго— и влагообмена в районах Южного океана изучени недостаточно, поэтому представляло интерес определить эти характеристики по данным, полученным во время проведения эксперимента "ПОЛЭКС-КГ-82" в 31 рейсе НИС "Профессор Зубов".

Данные стандартных гипрометеорологических наблюдений были использовани для расчетов турбулентных потоков тепла, влаги и количества движения, которые выполнялись по методике ITO /1, 3/. Вычисления производились по следующим формулам:

$$H = \rho c_{\theta} C_{\theta} \Delta t U_{t0}, \qquad (1)$$

где

Н - турбулентный поток тепла,

ρ - удельная плотность воздуха, ⋅

ср - теплоемкость воздуха при постоянном движении,

U₄₀ — скорость ветра, отнесенная к высоте 10 метров, (поскольку вноста установки анемометров составляет 22-25 м, измеренное значение скорости ветра приводилось к стандартному уровню 10 м с помощью /6/),

∆{ - перепад температури, равний разности температур поверхности води и воздуха на уровне 10 м,

 ℓ_{θ} - коэффициент теплообмена;

$$LE = L\rho C_{E} \Delta e U_{10} \frac{0,622}{\rho}$$
 (2)

LE - затрати тепла на испарение,

L - удельная теплота фазових переходов води в пар,

Р - атмосферное давление,

ФС - перепад влажности, равний разности давления насищенного водяного пара над поверхностью води и парциального давления пара на уровне 10 м,

 $C_{\it E}$ — коэффициент влагообмена;

$$V_{*} = U_{to} \sqrt{C_{tt}}$$
 (3)

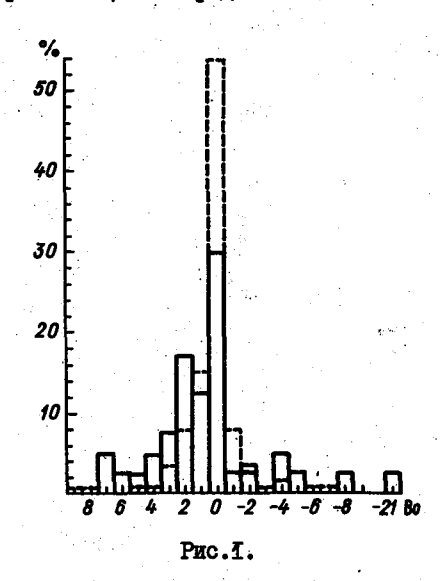
 V_{*} - динамическая скорость,

 C_u - коэффициеят сопротивления морской поверхности.

Коэффициенти C_{θ} , C_{E} , C_{u} определялись по известным значениям U_{10} , $\Delta t_{3\phi} = \Delta t + 0,108$, с использованием номограмм, помещенных в /1/.

Для вичисления H , LE , V_{ψ} использовани результати, полученние при виполнении разреза 7-II января и полигона 3I января — I3 февраля в море Скоша.

Энергосомен океан-атмосфера в этом районе, как видно из таблицы, весьма своеобразен. При анализе материалов разреза 7-11 января выявлены следующие особенности: турбулентный поток тепла значительно превосходит затраты тепла на испарение (в среднем по разрезу в 2,7 раза), а их максимальное отношение, выражаемое числом Боуэна, достигает огромного значения, Во = -21. Построенная гистограмма значений Во (рис.1 — сплошная линия) показывает, что лишь в 30% случаев значения числа Боуэна лежат в пределах -0,5 < Во < 0,5, несмотря на то, что среднее значение по всему разрезу равно 0,324. Нали-



чие больших отринательных значений Δt приводит к тому, что суммарный теплообмен поверхности (H+LE) имеет отрицательный знак, т.е. океан получает тепло из атмосферы. Видимо, это характерно для изучаемого района океана в летний период. Обращает внимание незначительность ведичины

H+LE, ее среднее значение составляет всего лишь 6% от среднесуточного радиационного баланса R, который вычисляется по формуле

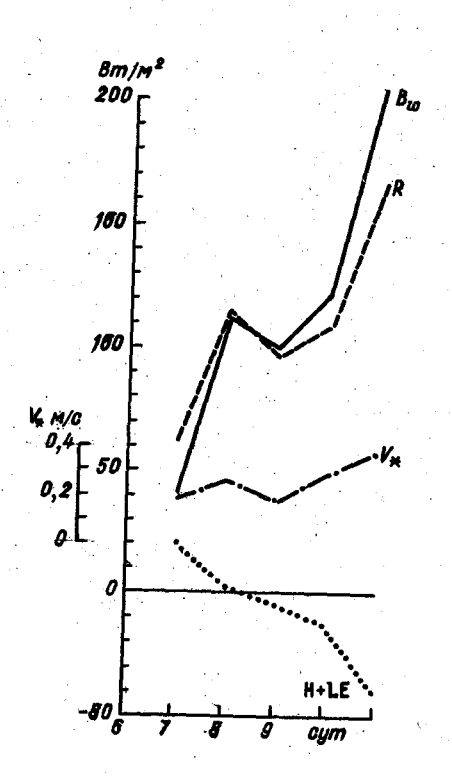
$$R = Q(1-A) - E_{3\phi}$$
, (4) где Q — суммарная радиация, полученная при судових актино—

метрических измерениях. Сравнение полученных значений R с многолетними средними значениями радиационного баланса, приведенными в /2/ дало хороший результат, что свидетельствует о том, что условия во время разреза были близки к средним.

Альбедо (А) и эффективное излучение (E_{30}) рассчитывались по методике ITO о использованием /6/. Поток тепла в глубь окенна (\mathcal{B}_{w}), находился из уравнения теплового баланса

(5)

Следует отметить довольно большое значение этого потока, превишающее аналогичные значения в тропических пиротах /4, 5/.



Pmc.2

Как видно из рис.2, показивающего код составляющих теплового баланса на разрезе, суммарний теплообмен поверхности преимущественно направлен в океан и совпадает по знаку с R. Это и приводит к появлению больших значений потока тепла в глубь океана.

Во время виполнения разреза преобладали инверсионние условия, причем наблюдались не только инверсии температури, но и инверсии влажности, крайне редкие в других районах Мирового океана.

Данамическое взаимодействие океана и атмосферн било умеренним, котя несколько увеличилось II января ($V_{\rm x}$ достигло 0,52 м/с, $U_{10} = 13,2$ м/с, что вместе с увеличением перепадов температурн и вляжности привело к росту турбулентных потоков тепля и вляги).

По данным, полученным в этом же районе во время полигона 31 января - 13 февраля,

онли выполнены аналогичные расчеты. Характер туроулентных потоков к этому времени изменился. Среднее ее значение затрат тепла на испарение увеличилось почти в четыре раза, а туроулентный поток тепла стал положительным по знаку, но меньшим по значению, чем ранее.

Суммарная теплоотдача поверхности океана (H+LE) на полигоне определялась в основном затратами тепла на испарение и была также положительна по знаку (т.е. поток был направлен из океана в атмосферу).

Динамическая скорость и радиационный баланс изменились по сравнению с значениями, полученными во время разреза, незначительно, а поток тепла в глубь океана, отнесенный к R , $B_{\rm w}/R$ уменьшился от 106 (на разрезе) по 82% (на политоне).

Все эти изменения явились следствием увеличения перепада влажности и уменьшения (одновременно со сменой знака) перепада температуры.

Среднее значение числа Боуэна уменьшилось незначительно, несмотря на заметние изменения средних значений Δt и Δe . Как видно из рис.1, повторяемость числа Боуэна (пунктирная линия) в диапазоне значений от -0.5 до +0.5 увеличилась до 54%.

Значения Во, получение на разрезе и на политоне, били сравнени с эмпирической зависимостью Во (ℓ_W , $\Delta \ell$), найденной на основе метеорологических данних кораблей погоди в Северной Атлантике /7/. Результати сравнения показали, что в условиях Южного океана зависимость, приведенная в /7/, не виполняется, котя корреляция между $\Delta \ell$ и Δe довольно високая. Вероятно это обусловлено особенностями температурного режима и режима влаги в районе эксперимента, вираженной в частой повторяемости инверсий температури и влаги, что не имело места в Северной Атлантике.

Для получения представления об изменчивости рассматриваемых величин били рассчитаны коэффициенты вариации, т.е. отношения средне-квадратических отклонений к средним значениям (G_N/N). В таблице приведены коэффициенты вариации для измеряемых и рассчитываемых метеорологических величин и составляющих теплового баланса. Как видно из таблицы, динамическая скорость, радиационный баланс и поток тепла в глубь окезна имеют наименьшие значения G_N/N , почти одинаковне на разрезе и на полигоне. Коэффициенты вариации турбулентных потоков тепла и влаги, числа Боузна и перепадов температуры и влажности довольно велики и изменялись от разреза к полигону. Результаты сопоставления с данными, приведенными в /4/ позволяют предположить, что изменчивость турбулентных потоков в море Скоша больше, чем в тропиках. Значения /6/N/0/0 оказались несколько меньшими, чем найденные по многолетним данным.

	T							7/8		
	∆t °C	∆егп	a U,	4/0	V* m/c	Н	LE	H+LE	R	Bw
			Pas	pes	7- II	янва ра	1982	r.		
N	-0,8	0,4	7,6	0,2	68 -	-10,4	3,9	-6,5	109,8	116,3
d _{N.} _	1,10	1,07	2,44	0,1	.05	15,53	14,38	27,55	146,38	156, 59
d_N/N	1,38	2,68	0,32	0,5	392	1,49	3,69	4,24	1,33	1,35
_			Пол	atoe	3I s	ива ря	- I 3 🛊	евраля		
N	0,1	0,8	7,8	0,2	88	I, 8	16,4	I8,2	1,901	83,9
Ø _N	0,84	0,89	3,08	0,1	39	10,91	20,21	28,71	160,18	163,35
GN/N	8,4	1,11	0,39	0,4	8	6,06	1,23	1,58	1,56	1,95

СПИСОК ЛИТЕРАТУРЫ

- Ариель Н.З., Мурашова А.В. Расчет уточненных номограмм для определения коэффициентов сопротивления тепло— и влагообмена над морем. — Труди ITO, 1981, вип. 454, с. 9-23.
- Атлас Антарктики /Под ред. В.Г. Бакаева. М., 1966, Л., т.1, с.73-109.
- З. Бортковский Р.С. Расчет турбулентных потоков тепла, влаги и количества движения над морем по данным судовых измерений. Метеорология и гидрология, 1971, # 3, с.93-98.
- Толовин А.И. Некоторие характеристики турбулентного обмена в приводном слое атмосферы Индийского океана. – Труди ГГО, 1979, вып. 423, с. 60-67.
- 5. Дубов А.С. и др. Об энергетическом балансе поверхности океана. /А.С.Дубов, С.П.Малевский-Малевич, В.И.Карачев. Труди ДВНИГМИ, 1975. вып.56. с.167-177.
- 6. Океанографические таблици. Л.: Гидрометеоиздат, 1975. 477 с.
- 7. Процессы переноса вблизи поверхности раздела океан-атмосфера /Р.С.Бортковский, Э.К.Ботнер, С.П.Малевский-Малевич, Л.Ю.Преображенский. — Л.: Гидрометеоиздат, 1974. — 239 о.

K BOILDOCA O KIINWATONOLNAECKIIX XADAKLEDICTINKAX BOSHENCEBRIA BETPA HA OKEAH

В работах по численному моделированию процессов взаимодействия океана и атмосферы используется уравнение баланса турбулентной энергии верхнего квазиоднородного слоя (ВКС) океана. Согласно /3/, проинтегрированное в пределах ВКС океана уравнение баланса турбулентной энергии для стационарных условий имеет следующий вид:

$$G + M_0 - D + \frac{4}{2}g\alpha_{\tau}h(q_0 + q_1) = 0,$$
 (1)

- интегральная (в пределах ВКС) генерация турбулентной энергии, обусловленная слвигами ветра: 7 - лиссипация турбулентной энергии: М. - поток турбулентной энергии на поверхности океана, порождаемый обруживанием ветровых волн; д - ускорение свободного падения: От - козфициент теплового расширения морской волы:

h - толщина ВКС; q_0 и $q_{\bar{q}}$ - удельные потоки тепла на свободной поверхности и нижней границе ВКС соответственно.

Первые три члена уравнения (I) включают величину u_*^3 (где u_* динамическая скорость). При этом для решения задачи о сезонной эволюции деятельного слоя необходима информация о сезонной изменчивости Ц. .

Несмотря на то что изучению климатических характеристик динамической скорости Ц, и касательного напряжения у в последнее время уделяется много внимания /5-10/, исследованию подвергаются либо составляющие этих характеристик по осям х и у (что не позволяет правильно оценить модуль), либо сам модуль для ограниченных частей океанов.

Настоящая работа посвящена изучению закономерностей распределения величины \mathcal{U}_{*}^{5} по Мировому океану. В ней проанализировано \mathcal{U}_{*}^{7} для четырех сезонов года (январь-март, апрель-ирнь, ирль-сентябрь, октябрь-декабрь).

В качестве исходных данных были использованы значения линамической скорости, полученные авторами /2/. Расчет динамической скорости для большей части акватории <u>Мирового океана</u> производился по формуле $\mathcal{U}_{\mathbf{w}} = \sqrt{\overline{\mathcal{U}_{\mathbf{p}}^{2}}} = \sqrt{\overline{\mathcal{C}_{\mathbf{p}} \mathcal{U}_{\mathbf{p}}^{2}}}$ (2)

$$U_{\mathsf{H}} = \sqrt{U_{\mathsf{H}}^2} = \sqrt{C_{\mathsf{D}} U_{\mathsf{10}}^2},\tag{2}$$

где U_{i0} - скорость ветра, C_{i0} - коэффициент сопротивления морской поверхности. В качестве основных исходных данных используют средние многолетние данные о вероятностном распределении скорости ветра /II/ и зависимость $\mathcal{L}_{\mathfrak{d}}$ от $\mathcal{U}_{\mathfrak{d}}$, установленнях в работе /I/. Следует заметить, что $\underline{\mathcal{U}}_{x}$, рассчитанное по формуле (2), отличается от $\overline{\mathcal{U}}_{x}$, TAK KAK $U_{x} = \sqrt{U_{x}^{2} - 6^{2}}$.

Для высоких широт обоих полушарий ($\Psi \ge 55^{\circ}$), где данных о веро-

ятностном распределении скорости ветра недостаточно, U_{\star} оценивают с помощью графика зависимости U_{\star} от $U_{\star 0}$, осредненных для каждого круга широты 40,45 и 50° с. и ю.ш. Таким образом, было принято, что вероятностное распределение скорости ветра в диапазоне широт $40^{\circ}-65^{\circ}$ одинаково. Следует отметить, что характар зависимости U_{\star} от $U_{\star 0}$ для северного и южного полушарий оказался несколько разным: при одной и той же скорости ветра значение U_{\star} больше в южном полушарии, чем в северном. Здесь, благодаря отсутствию материков в умеренных широтах, западные ветры чаще достигают штормовой силы и параметр шероховатости, связанный с разгоном волн, становится выше.

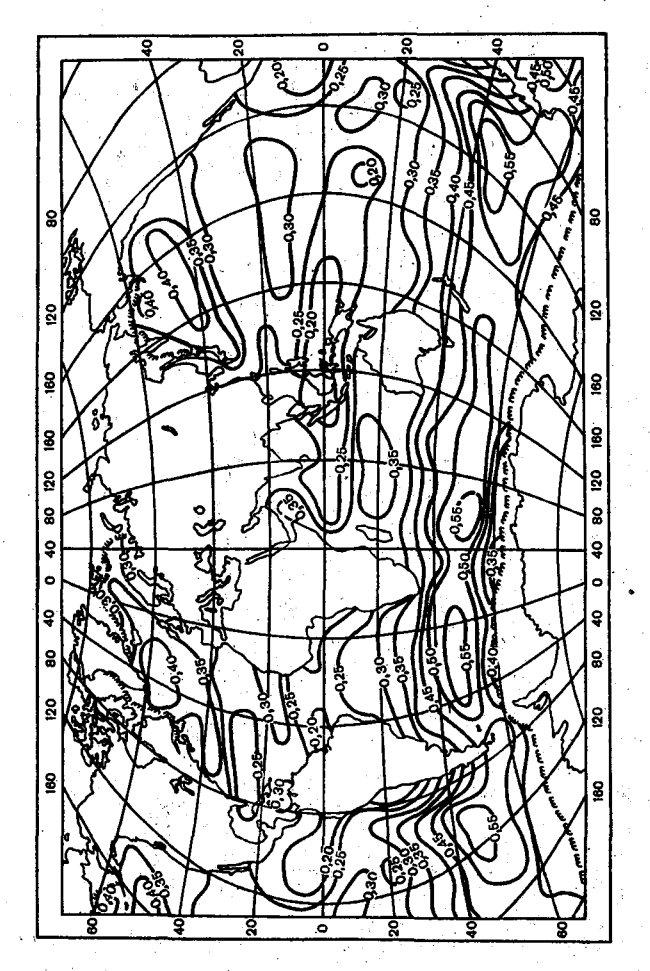
В результате выполненных расчетов построены четыре сезонные карты распределения динамической скорости по акватории Атлантического, Индийского и Тихого океанов, свободной от льда. Две из этих карт (для сезонов январь-март и июль-сентябрь) приведены в работе [2], две другие - (для сезонов апрель-июнь и октябрь-декабрь) представлены на рис.1,2.

Со всех карт динамической скорости были сняты значения U_{*} для определения величины U_{*}^{3} в узлах 5-и градусной географической сетки. В табл. 1 представлены средние значения для десятиградусных широтных зон океанов. Методика осреднения подробно изложена в работе /4/.

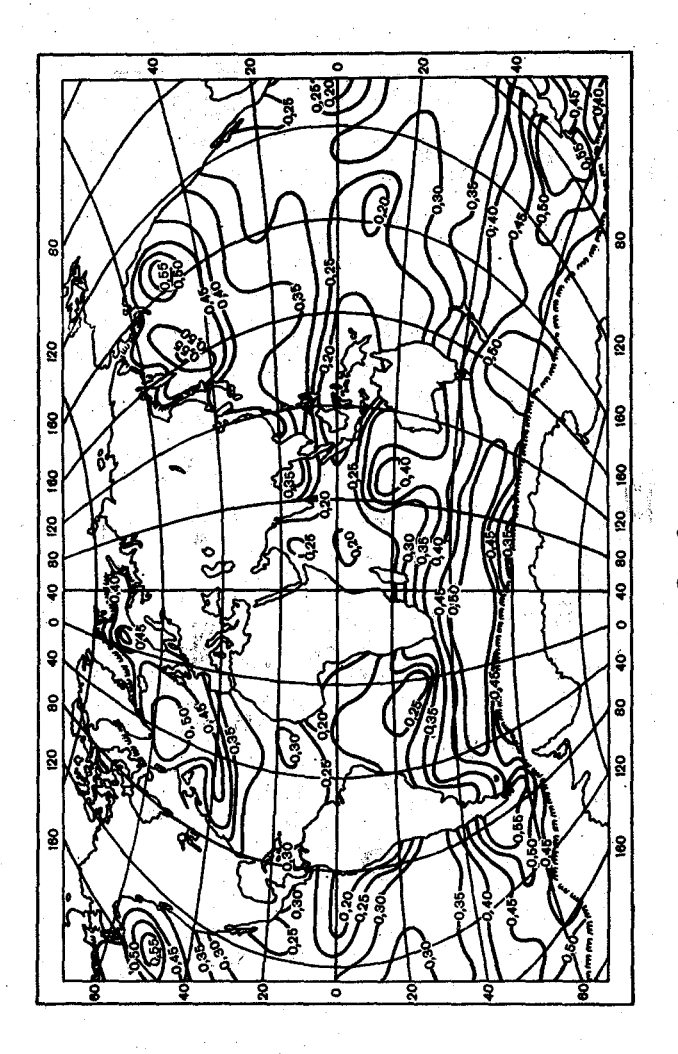
Из анализа данных табл. 1 можно видеть, что общие географические закономерности распределения U_* подобны закономерностям распределения динамической скорости (2). Так, распределение U_* по акватории океанов и в годовом ходе определяется главным образом условиями атмосферной циркуляции. На рис. За, 6 приведены средние зональные значения U_*^3 в Атлантическом (1), Индийском (2) и Тихом (3) океанах для зимнего (а) и летнего (б) сезонов северного (сплошные линии) и южного (штриховые линии) полушарий. Как видно из этих рисунков, в низих широтах характер распределения зональных значений U_*^3 в Атлантическом и Тихом океанах одинаков. Минимальные значения в любой сезон наблюдаются на широтах 10° с.ш. -10° в.ш.

Независимо от сезона в обоих полушариях значение U_*^3 увеличивается с широтой. Максимальные значения U_*^3 (0,14-0,16) M^3/c^3 наблюдаются в умеренных широтах обоих полушарий в холодный период. В этих широтах отчетливо выражен сезонный ход U_*^3 , особенно в северном полушарии, где значения U_*^3 зимой в 3-4 раза больше, чем летом.

В отличие от Атлантического и Тихого океанов в северной части Индийского океана значения $\mathcal{U}_{\mathbf{x}}^3$ наоборот, летом больше, чем зимой вследствие усиления ветра во время летнего муссона. В южной же части Индийского океана в умеренных широтах в летние месяцы значения $\mathcal{U}_{\mathbf{x}}^3$ по сравнению с зимой не меняются. При этом область максимальных значений $\mathcal{U}_{\mathbf{x}}^3$ летом смещается в сторону более высоких широт в соответствии со смещением полярного фронта.

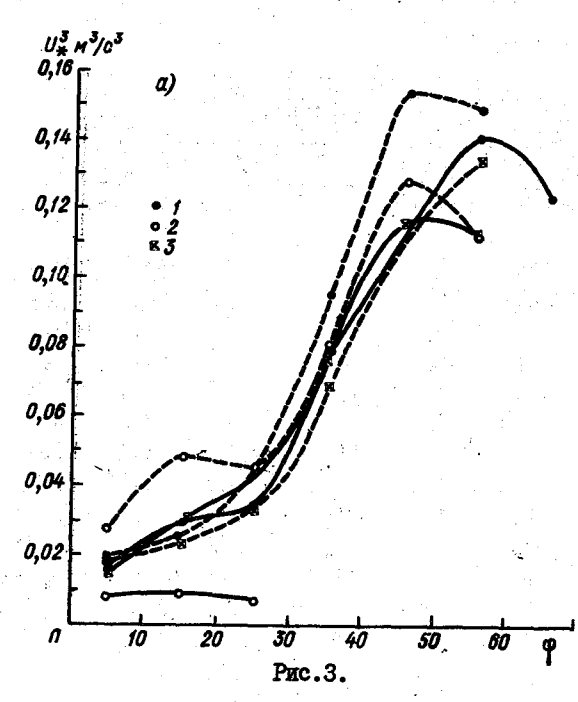


PEC. I



Средние широтные значения $U_{*}^{3} \cdot 10^{2} \, m^{3}/c^{3}$

Широта	, I-II	Іу-уі	yn-ix	X-XII	1-11	ІУ-УІ	УП−IX	X-XII
			ический			Ти	жий оке	ah .
80-70°c.	8,0	3,6	2,7	7,2			•	•
70-60	12,5	4,9	3,8	9,6			2,8	
60-50	14,2	6,0	4,6	11,2	11,3	5 ,I	3,4	11,4
50-40	11,2	4,4	3,0	8,2	11,7	5,2	3,1	10,5
40-30	8,0	2,9	1,8	4,7	7,7	3,2	2,3	6,2
30-20	3,5	1,9	2,0	2,3	4,4	2,2	2,1	3,8
20-10	3,0	2,5	2,4	2,3	3,I	2,2	2,0	3,2
10-0°c.	1,8	I,I	1,6	1,4	1,6	1,4	1,4	1,8
0-10°n.	I,I	1,2	2,0	1,4	1,4	1,4	1,9	1,3
10-20	1,7	2,0	2,6	1,7	1,7	1,9	2,5	1,8
20+30	2,0	3,6	4,5	2,6	2,2	2,8	3,4	2,5
30-40	4,0	8,5	9,6	5,6	3,8	6,1	6,9	4,1
40-50	8,9	14,4	15,5	10,8	7,4	11,5	11,2	8,3
50-60	10,4	11,8	15,0	10,6	12,5	12,4	13,4	13,0
60-70°m.					12,0	9,4		
		Индийс	кий океа	Н .	Мировой океа			ан
80-70°c.					8,0	3,6	2,7	7,2
70-60			•		12,3	4,8	3,5	9,6
60-50					12,8	5,6	4,0	12,7
50-40					11,5	4,9	3,0	9,6
40-30					7,8	3,1	2,1	5,6
30-20	0,7	2,5	6,6	1,3	4,0	2,1	2,3	3,2
20-10	1,0	2,9	6,7	2,2	2,8	2,4	2,7	2,9
10-0 c.	0,9	2,0	3,5	1,2	1,5	1,4	1,8	I,6
0-IOm.	ī,ī	£,9	2,8	£,2	1,2	£,4	2,6	1,3
10-20	2,3	3,6	4,9	2,8	1,9	2,5	3,7	2,2
20-30	3,8	3,9	4,6	3,6	2,6	3,3	4,0	3,0
40-50	7,9		12,9	10,6	7,0	12,3	12,9	9,8
50-60	13,3	12,1	11,3	11,6	10,4	12,2	12,8	12,0
	7.4							



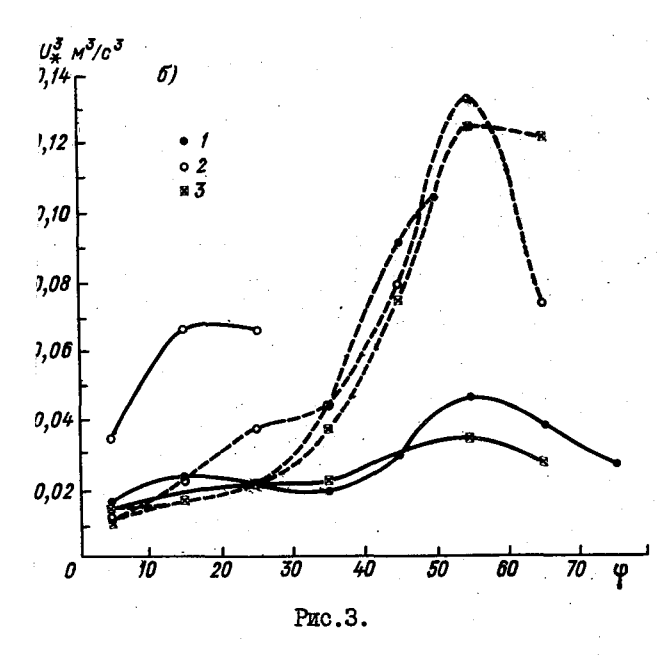
В связи с этим интересно сопоставить значения U_{κ}^{3} во внетропических широтах обоих полушарий. Как показываот материалы рис.За,б. сравниваемые значения U_*^3 близки осенью и зимой и заметно различаются весной и летом. онвекар оте ондиваро с особенностями ветрового режима. В северном полушерии скорость ветра снижается от зимы к лету из-за ослабления циклонической пеятельности. В южном полушарии подобного явления не происходит, здесь интенсивность циклонической деятельности неизменна почти

весь год. Вследствие этого механическая энергия, расходуемая атмосферой на перемешивание ВКС океана в обоих полушариях существенно различна. В табл. 2 приведены значения $\overline{U_{\kappa}^3}$, осредненные по площади океанов для каждого из полушарий, а также значения k, характеризующие отношение количества механической энергии, получаемой океанами южного полушария к аналогичной величине в северном полушарии ($k = \overline{U_{\kappa mn}^3} \sqrt{k_s}$). Можно видеть, что количество поступающей весной и летом механической энергии в океаны в южном полушарии почти вдвое больше, чем в северном.

Приведенные в настоящей работе данные о сезонном распределении U_{κ}^{3} по акватории Мирового океана в общих чертах сходны с данными работы /7/. В этой работе определены U и V — компоненты скорости ветра по материалам 4-срочных синоптических карт за 10-летний период (1969-1978 гг.) и рассчитаны значения U_{κ}^{3} по формуле

$$U_{u}^{3} = \left[C_{v} \left(U^{2} + V^{2} \right) \right]^{3/2} \tag{3}$$

при постоянном коэффициенте сопротивления ($C_0 = 1, 3 \cdot 10^{-3}$). Расчеты выполнены для обширной области северной части Тихого океана (30-60° с.ш., 140° в.д. – 140° з.д.). Ежемесячные карты U_{κ}^{5} , построенные по результатам расчетов и таблицы, содержащие месячные значе-



ния $\overline{U_*^3}$, средние для всей рассматриваемой области представлены в работе [7]. При сравнении результатов работы /7/ с результатами, полученными в настоящей работе, обращает на себя внимание хорошее согласование пространственно-временного распределения величины u_{x}^{3} . Что касается абсолютных величин, то следует заметить, что по данным работы [7] они несколько выше (табл. 3).

Таблица 2

Сезонные значения $U_{*}^{3} \cdot 10^{2} \; (M^{3}/c^{5})$, осредненные по площади океанов

Сезон	Месяцы	Полушарие	Атланти- ческий океан	Тихий океан	Индийский о к еан	Мировой океан
Зима	I-W	Северное	6,5	4,9	0,9	5,I
	УП-IX	Южное	7,8	6,0	7,6	7,0
	К		1,2	1,2	-	1,4
Весна	ІУ-УІ	Северное	2,9	2,6	2,4	2,7
	Х-ХП	Южное	5,4	4,6	6,0	5,3
	ĸ		1,8	1,8	· -	2,0
Лето	УП-ІХ	Северное	2,5	2,1	5,0	2,5
	I-III	Южное	4,8	4,6	5,6	4,7
	К		1,9	2,2	-	1,9
Осень	X-XII	Северное	4,8	4,7	I,6	4,8
	Іу_уі	Южное	7,1	5,4	6,8	6 , I
	K.		I,5	I,I	-	1,3
3 сред-		Северное	4,2	3,6	2,5	3,8
iem 3a	•	Южное	6,3	5,I	6,5	5,8
юд	К	•	I,5	1,4	_	1,5

Сравнение средних сезонных значений $\overline{\mathcal{U}}_{\kappa}^{3}$ с аналогичными данными из работы /7/

	I-W	ІУ-УІ	yII-IX	х-хп	В среднем за год
$\overline{U_{*}^{3} \cdot 10^{2}} \text{ M}^{3}/c^{3}$	12,4	5,1	2,7	9,8	7,5
$u_{k}^{\frac{2}{3}} \cdot 10^{2} \text{ M}^{3}/c^{3}$	9,1	4,1	2,7	8,3	6,0
Разность в % по отношению к /7/	27	20	0	15	20

Из данных табл. 3 следует, что по результатам двух независимых расчетов максимальные различия в значениях $\mathcal{U}_{\mathbf{x}}^3$ наблюдаются в зимний и весенний сезоны.

Причины наблюдаемого расхождения могут быть разные. Прежде все-го, это различия в исходной информации и в деталях ее обработки.

Тем не менее представленные в настоящей работе материалы по U_{*}^{3} наиболее полно отражают закономерности распределения динамической скорости по акватории Мирового океана и в годовом ходе.

СПИСОК ЛИТЕРАТУРЫ

- 1. Ариель Н.З., Мурашова А.В. Расчет уточненных номограмм для определения коэффициентов сопротивления, тепло— и влагообмена над морем. Труды ГТО, 1981, вып. 454, с. 9-23.
- 2. Ариель Н.З., Строкина Л.А. Динамическая скорост и касательное напряжение у поверхности Мирового океана. Метеорология и гидрология, 1982, № 7, с.59-64.
- 3. Каган Б.А., Рябченко В.А., Чаликов Д.В. Параметризация деятельного слоя в модели крупномасштабного взаимо-действия океана и атмосферы. Метеорология и гидрология, 1979, М. с. 67-75.
- 4. Строкина Л.А. Средние широтные значения температуры воды и воздуха для Мирового океана. Метеорология и гидрология, 1982. № 4. с.50-55.
- 5. Esbensen S.K. and Reynolds R.W. Estimating Monthly averaged Air-Sea Transfers of Neat and Momentum using the Bulk Aerodynamic Method. J.Physical Oceanogr., 1981. v. 11, N 4, p. 457-465.
- 6. Han J.J. and Lee S.W. A new analysis of monthly mean wind stress over the global ocean. Climatic Research Institute report No.26, June 1981, p. 151.

- .Haney R.L., Risch M.S., Heise G.C. Wind Forcing Due to Synoptic Storm Activity over the North Pacific Ocean. Atmosphere-Ocean, 1981, 19(2), p. 128-147.
- . Hellerman S. Computations of wind stress fields over the Atlantic ocean. Monthly Weather Rev., 1965, v. 93, N 4, p. 239-244.
- . Hellerman S. An updated estimate of the wind stress on the world ocean. Monthly Weather Rev., 1967, v. 95, N 9, p. 607-626.
- O.Hidaka K. Computation of the wind stresses over the oceans. Records of oceanographic works in Japan, 1958, ▼. 4, № 2, p. 77-123.
- 1.U.S.Navy Marine Climatic Atlas of the World, 1955-1959, v. I-V.

О РАСЧЕТЕ КОЭФФИЦИЕНТОВ СОПРОТИВЛЕНИЯ ВОЛНИСТОЙ ПОВЕРХНОСТИ

Значительная часть обширной литературы по проблеме ветроволнового взаимодействия посвящена количественным оценкам потоков импульса в системе воздух-волна, в формировании которых участвуют поле давления, касательные и нормальные напряжения Рейнольдса.

Рассмотрим простейший случай, когда подстилающая поверхность представляет собой цепочку монохроматических волн с амилитудой α , длиной L , скоростью C_{φ} и профилем ζ , а гребни расположены перпендикулярно к направлению среднего ветра. Обозначим через h высоту волнового подслоя, в котором прослеживаются периодические возмущения различных характеристик. Примем, что h находится в пределах приводного слоя атмосферы, так что силой Кориолиса можно пренебречь. Тогда в движущейся со скоростью C_{φ} системе координат уравнение для горизонтальной компоненты средней скорости в общепринятых обозначениях имеет вип

$$u\frac{\partial u}{\partial x} + w\frac{\partial u}{\partial z} = -\frac{\partial}{\partial x}\left(\frac{\rho}{g} + \overline{u}^{\prime 2}\right) + \frac{1}{g}\frac{\partial v}{\partial z} \tag{1}$$

Перейдем, не привлекая новых обозначений, к безразмерным переменным, выбрав в качестве масштаба для u и u' некоторую характерную скорость u_m . (В приводимых ниже результатах расчетов u_m равняется динамической скорости u^i_* на верхней границе волнового подслоя.) Для остальных переменных масштабами являются

$$w_m = Du_m$$
, $z_m = \zeta_m = h$, $X_m = L$, $z_m = \rho_m = gu_m^2$, где $D = h/L$. ВВедем криволинейные координаты

$$\xi = X$$
 , $\gamma = \frac{z - \zeta}{1 - \zeta}$

и обозначения

$$M = \rho + u^2 + \overline{u'^2}$$
, $Q = Duw - \tau$, $\gamma = 1 - \zeta$, $\zeta' = \frac{d\zeta}{d\xi}$

В безразмерном виде и криволинейных координатах уравнение (1) можно записать так

$$\frac{\partial}{\partial \xi} \gamma M + M \zeta' - (1 - \gamma) \zeta' \frac{\partial M}{\partial \gamma} + \frac{1}{D} \frac{\partial Q}{\partial \gamma} . \tag{2}$$

Осредним (2) по длине волны, обозначая эту операцию угловыми скобка-

ии, и проинтегрируем полученное уравнение по всему волновому подзлою. После некоторых преобразований находим

Пижний нулевой индекс указывает, что данная величина относится к уровню $\gamma = 0$. Через \mathcal{C}^1 обозначено касательное напряжение при $\gamma = 1$, через $\Delta \rho_{\infty}$ — перепад давления между двумя точками, нахопящимися на расстоянии, равном длине волны, на одной и той же висоте. В правой части (3) стоят слагаемые, описывающие механизмы обмена импульсом на границе раздела воздух-волна. В частности, величина $\mathcal{F} = \mathcal{D} \langle \rho_o \zeta' \rangle$, называемая сопротивлением давления, или формы, представляет собой поток импульса, создаваемый полем давления, $\langle \gamma_o \rangle$ — сопротивление трения, обусловленное касательным напражением. Слагаемые в левой части формулы (3) являются источниковыми членами, компенсирующими потери импульса на волновой поверхности.

Для реального спектра волнения деление полного сопротивления поверхности на сопротивление формы и трения является весьма условным /11/. Должна существовать четкая граница в спектре размеров неровностей поверхности, чтобы сопротивление более мелких препятствий можно было отождествлять с сопротивлением трения. Эта проблема не возникает в теоретических моделях, рассматривающих строение потока над волновым рельефом с заданными спектральными характеристиками.

В различних теоретических моделях строения волнового подслоя вместо равенства (3) используется более упрощенное соотношение

 $\chi^{I} = \widetilde{F} + \langle \tau_{o} \rangle$ (4)

Здесь пренебрегается слагаемыми $\mathcal{D}\gamma(0)\Delta\rho_{\infty}$ и $\mathcal{D}\langle \overline{u_{o}'^{2}} \zeta' \rangle$, а вместо F фигурирует величина $\widetilde{F} = \mathcal{D}\langle \widetilde{\rho}_{o} \zeta' \rangle$, т.е. рассматривается поток импульса, обусловленный лишь волновыми флуктуациями давления $\widetilde{\rho}_{o}$ (2,6,7,10).

Как правило, различия между F и \widetilde{F} невелики, а слагаемое $D\langle u_o^{\prime 2}\zeta^{\prime}\rangle$ мало по сравнению, например с $\langle \tau_o\rangle$. Более существенным может оказаться пренебрежение слагаемым $D\chi(0)\Delta\rho_{\infty}$, связанного с горизонтальным градиентом непериодической части давления. Например, в аэрогидроканалах вполне реальной представляется ситуация, когда на верхней границе волнового подслоя $\gamma^{-1}=0$. В то же время \widetilde{F} и $\langle \tau_o\rangle$ — величины не нулевые и обе положительные. Таким образом, в случаях заметного изменения касательного напряжения с висотой в пределах волнового подслоя упрощенное соотношение (4) является слишком грубым приближением к действительности. Тем не менее,

при дальнейшем анализе, главным образом с точки зрения сопоставления с другими работами, уравнение импульсов будет рассматриваться как в виде (3), так и в виде (4).

Результати измерений и расчетов потоков импульса обично представляются через так называемие коэффициенти сопротивления /1,2,3,9/. В настоящее время общепринятой является цараметризация этих потоков через квадрат скорости ветра \mathcal{U}^{10} на висоте 10 м. Если измерения проводятся на другой висоте, то осуществляется пересчет скорости на висоту 10 м, как правило, по логарифмическому закону, независимо от толщины волнового подслоя и уровня измерения.

Введем эти аппроксимации для каждого из безразмерных слагаемых формулы (4)

$$\tilde{\tau}^{1} = C_{p}^{10} (u^{10})^{2}, (5) \qquad \widetilde{F} = C_{p} (u^{10})^{2}, \tag{6}$$

$$\left\langle \gamma_{o}\right\rangle =C_{S}\left(u^{\prime o}\right) ^{2} \qquad (7)$$

Величина \mathcal{C}^1 является внешним параметром задачи, волновое сопротивление давления рассчитывается по формуле

$$\widetilde{\widetilde{F}} = \partial \langle \widetilde{\rho}_o \zeta' \rangle. \tag{8}$$

Для определения осредненного по волне касательного напряжения используются различные подходы. В данной работе эта величина находится по обычной градментной модели

дится по обычной градментной модели
$$\langle \tau_o \rangle = \left\langle k \left(\frac{\partial u}{\partial x} + \frac{\partial w}{\partial x} \right) \right\rangle_0 . \tag{9}$$

Параметр C_D^{40} представляет собой общепринятый коэффициент сопротивления, рассчитываемый по касательному напряжению на верхней границе волнового подслоя, тогда как коэффициенты C_P и C_S определяются по значениям потоков импульса непосредственно на поверхности раздела.

Результати расчетов коэффициентов сопротивления при различных внешних условиях по изложенной в работе /5/ модели строения волнового подслоя сопоставлялись с аналогичными расчетами, выполненными в /II/. Исходние постановки в /5/ и /II/ заметно отличаются друг от друга. Во-первых, в /II/ горизонтальная и вертикальная компоненти средней скорости находятся из соответствующих уравнений движения второго порядка, в /5/ - из одного уравнения чет-

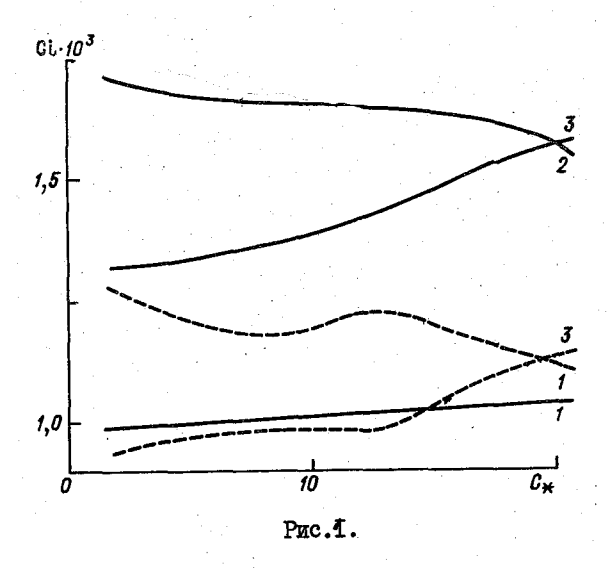
вертого порядка для функции тока. Во-вторых, в /II/ поле давления приходится рассчитывать в каждом итерационном цикле на основе уравнения неразрывности, в /5/ расчет давления проводится, если есть в этом необходимость, после окончания итерационного процесса из третьего уравнения движения /6/. В-третьих, привлекаются различные гипотезы о связи между напряжениями Рейнольдса и средними величинами. Например, в /II/ величина $\overline{U'^2}$ представляется в виде $\overline{U'^2} = \frac{2}{3} \frac{6}{5} - \frac{2}{3} - \frac{2}{3} \frac{6}{5} - \frac{2}{3} \frac{6}{5} - \frac{2}{3} \frac{6}{5} - \frac{2}{3} - \frac{2}{3}$

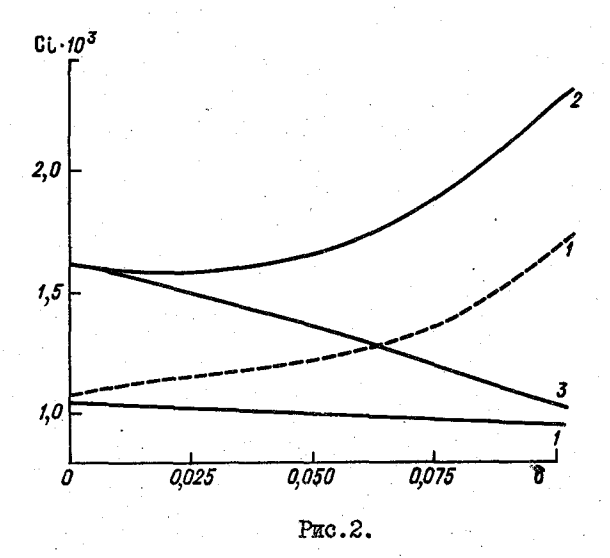
Одним из результатов решения задачи в данной статье и в работе /11/ являются профили полностью осредненной скорости ветра $\langle u \rangle$, и, в частности, ее значения (u^L) на высоте 0,94 м, равной длине волны L. Толщина волнового подслоя задается несколько большей и составляет 1,1 м. Делается предположение, что выше уровня z=L распределение скорости является логарифмическим. Это позволяет при заданной шероховатости поверхности найти скорость ветра u^{to} , а отсюда (по терминологии авторов работы /11/) полный коэффициент сопротивления C_D^{to} , согласно формуле (5). Величина \widetilde{F} , а значит и коэффициент C_P находятся по формуле (8). Аналогично определяются коэффициенты C_D^{to} и C_P в нашей работе, хотя, как уже отмечалось выше, распределение $\rho_0(x)$ рассчитывается по разному.

На рис. І представлены зависимости коэффициентов сопротивления $C_{\mathfrak{D}}^{40}$, $C_{\mathfrak{d}} = C_{\rho} + C_{\mathfrak{g}}$ и $C_{\mathfrak{g}}$ (соответственно кривые 1,2 и 3) от безразмерной фазовой скорости $C_{\star} = C_{\mathfrak{Q}}/U_{\star}^4$, полученные в данной работе (сплошные кривые) и в работе /11/ (пунктир). При этом фиксировались значения L и $C_{\mathfrak{Q}}$, а варьировалась динамическая скорость U_{\star}^4 . Крутизна волны $\delta = 20/L$ составляла 0,05.

Различия в коэффициентах C_{Φ}^{10} в данной работе и в /11/ связаны с особенностями постановки задачи, построения численной схемы, метода ее решения и т.д. Как видно из графика, наши расчеты дают незначительное, практически с постоянной скоростью изменения, увеличение C_{Φ}^{10} с ростом C_{\star} . В работе /11/, помимо общей противоположной тенденции изменения, этот коэффициент имеет локальные максимум и минимум. Полученные по этим результатам для фиксированных C_{Φ} зависимости C_{Φ}^{10} от $U_{\bullet}^{10}/11$, рис.4/ имеют весьма характерные особенности, не проявляющиеся ни на одной из многочисленных аналогичных кривых /1, 2,9/.

Монотонный, но снова различный карактер изменения в сопоставляемых работах получился и для зависимости коэффициента $C_{\rm p}^{10}$ от крутизны волны, представленной на рис.2, при построении которого исполь-





зованы те же обозначения, что и на рис. 1. Расчеты выполнены для $\mathcal{C}_{\varphi}=1,2$ м/с. Прослеживается очевидная тенденция не только к увеличению расхождения, но и к скорости нарастания его с ростом δ . Если при $\delta=0$ коэффициенты \mathcal{C}_{σ}^{0} почти совпидают, то при $\delta=0,05$ и 0,10 различие достигает более 20 и 70% соответственно. Связано

это только с различиями в рассчитанных значениях u^L , поскольку осуществляемый по логарифмическому закону переход от u^L к u^{t0} ника-ких новых эффектов не дает. В /11/ получилось, что в интервале $0 \le 5 \le 0.10$ скорость u^L меняется примерно на 25%, тогда как наши расчеты цают менее 5%.

Однако более важным представляется все же сам факт наличия зависимости C_0^{10} от $C_{\mathbf{x}}$ и \overline{b} , поскольку в используемой постановке задачи для получения реальных значений C_0^{10} при каких-то конкретных условиях может оказаться достаточным выбор подходящего и вполне разумного с физической точки зрения параметра шероховатости, как это и было сделано в /11/. Но выбор параметра \mathbf{z}_0 не влияет на характер зависимости коэффициента C_0^{10} от $C_{\mathbf{x}}$ или \overline{b} .

В настоящее время при математическом моделировании взаимодействия воздушного потока с волнистой поверхностью во внимание принимается только нижняя небольшая часть всего пограничного слоя атмосферы (2,5,7,8,10). В этом случае основой постановки задачи является предположение, что область распространения возмущений от нижней границы не превышает толщины волнового подслоя, на верхней границе компорого из соображений склейки с невозмущенным потоком считаются известными любые, представляющие интерес характеристики. В рассматриваемых примерах при (1,1) полагается заданной (1,1), рассчитывается скорость ветра (1,1) на этой высоте. Такое же право на существование, что отмечается и в (1,1), имеет подход, при котором задается (1,1), а определяется (1,1). Но при этом зависимости (1,1)0 от (1,1)1 обудут отличаться от приведенных на рис. 1 и 2.

Изложенное выше наводит на мысль, что зависимости C_{D}^{10} от C_{Q} или δ , отражают не физическую сущность процесса, а обусловлены использующимися дифференциальными уравнениями и граничными условиями. Вопрос об определении характера изменчивости коэффициента C_{D}^{10} теряет смысл, если несколько отойти от традиционной постановки задачи.

Представленная в /5/ модель, по которой выполнены наши расчеты, содержит вместо двух уравнений для составляющих скорости одно уравнение четвертого порядка для функции тока. Такая постановка допускает привлечение в качестве граничных условий при $\gamma=1$ одновременно и горизонтальной компоненты скорости ветра, и касательного напряжения. (При этом, естественно, на вертикальную скорость никаких условий не накладивается.) А это есть не что иное, как задание коэффициента $C_{\rm p}^{10}$. Также отпадает необходимость в определении $C_{\rm p}^{10}$, если в качестве исходных используются уравнения движения, но не второго, а четвертого порядка, аналогично тому, как это делается в /4/.

Учитывая все вышесказанное, малые изменения $C_{\mathfrak{d}}^{10}$, полученные по модели /5/, кажутся более предпочтительными и говорят, по-видимому, в пользу этой схемы.

Вернемся к вопросу о выполнимости формулы [4]. Перепишем (3) в виде

$$\gamma^4 = \widetilde{F} + \left\langle \tau_0 \right\rangle + \Delta ,$$

$$\Delta = D \gamma(0) \Delta \rho_{\infty} + F - \widetilde{F} + D \left\langle \overline{u_{\rho}^{\prime 2}} \zeta^{\prime} \right\rangle .$$

Коэффициент сопротивления $C_{\mathfrak{p}} = C_{\rho} + C_{\mathfrak{S}}$ в работе /II/ тождественно равен $C_{\mathfrak{p}}^{40}$. Различие в наших коэффициентах $C_{\mathfrak{p}}^{40}$ и $C_{\mathfrak{p}}$, которые представлены на рисунках кривыми I и 2, связано с учетом членов, обозначенных Δ .

Сопоставление кривых показывает, что роль отброшенных в (4) членов оказывается далеко не второстепенной, и значит величина \mathcal{C} , или коэффициент $C_{\mathfrak{p}}^{\mathfrak{O}}$, не является полной характеристикой суммарного обмена импульсом в системе воздух-волна. Правда, рассмотренные примеры не являются типичными для естественных условий. Тем не менее следует с известной осторожностью отождествлять коэффициенты $C_{\mathfrak{p}}^{\mathfrak{O}}$ и $C_{\mathfrak{p}}$, в том числе и при проверке теоретических моделей по данным различных, в первую очередь лабораторных, экспериментов.

Для многих прикладных задач основной интерес представляет информация не столько об интегральном обмене импульсом на поверхности раздела, сколько о соотношении потоков \widetilde{F} и $\langle \tau_0 \rangle$.

Считается, что \widetilde{F} играет основную роль в эволюции волнового поля, тогда как процессы тепло- и влагообмена и скорость дрейфового течения определяются величинами $\langle \tau_0 \rangle / 2, 3, 7 \rangle$.

Чтобы не загромождать рисунки, на них приведены только зависимости для коэффициентов C_s , т.е. характеристики сопротивления трения. Сопоставляя кривые 2 и 3, легко представить характер зависимости сопротивления давления \widetilde{F} (или коэффициента C_p) от C_s и δ . Как и во всех аналогичных работах получается уменьшение C_p с увеличением C_s и сильный рост этого коэффициента с ростом δ .

Сравнивая на рис. І кривне 3, характеризующие изменчивость сопротивления трения, можно отметить их подобие при явном несовпадении численных значений. Одной из причин такого расхождения является разный подход к определению коэффициента трения $C_{\rm S}$. В /ІІ/ этот коэффициент находится на основе предположения о выполнимости формулы (4), то есть $C_{\rm S} = C_{\rm D}^{10} - C_{\rm P}$. В нашей работе по формуле (9) рассчитывается осредненное касательное напряжение $\langle T_{\rm O} \rangle$, а затем по формуле (7) — коэффициент $C_{\rm S}$.

Измерение сопротивления давления F и трения $\langle \tau_o \rangle$ непосредственно на поверхности волны представляет собой сложную техническую задачу. Сведений о коэффициентах C_ρ и C_S очень мало, а накопленный к настоящему времени обширный экспериментальный материал относится к коэффициенту $C_0^{10}/1,9/$. При параметризации процессов массо- и энергообмена

непосредственно на границе раздела волна-воздух использование этой информации подразумевает постоянство с высотой полного потока импульса и знание соотношения между величинами F и $\langle \gamma_0 \rangle$. Приведенные результаты показывают, однако, что и абсолютные значения и соотношение между этими величинами зависит от внешних условий.

В заключение можно отметить, что постановка задачи содержит целый ряд параметров, влияние которых на конечные результаты совершенно не исследовано. Остаются широкие возможности в выборе способа замыкания модели турбулентности, а также в использовании других комбинаций граничных условий при $\eta = 1$. Не составляет особого труда ввести и переменную по профилю волны шероховатость.

СПИСОК ЛИТЕРАТУРЫ

- 1. Ариель Н.З., Мурашова А.В. Расчет уточненных номограмм для определения коэффициентов сопротивления, тепло- и влагообмена над морем. Труды ГГО, 1981, вып. 454, с.9-23.
- 2. Бют нер Э.К. Динамика приповерхностного слоя воздуха.— Л.: Гипрометеоиздат, 1978.—158 с.
- 3. Процессы переноса вблизи поверхности раздела океан-атмосфера. Под ред.А.С.Дубова. Л.: Гидрометеоиздат, 1974.—240 с.
- 4. С и м о н о в В.В. Об использовании уравнений четвертого порядка в модели пограничного слоя атмосферы. Труды ITO, 1977, вып. 382, с.43-53.
- 5. Симонов В.В. Турбулентный поток над волнистой границей. Труды ГГО, 1979, вып. 423, с. 39-51.
- 6. С и м о н о в В.В. О расчете волновых флуктуаций атмосферного давления. - Метеорология и гидрология, 1980, № 8, с.13-19.
- 7. Филлипс О.М. Динамика верхнего слоя океана. М.: Мир, 1969.—267 с.
- 8. Чаликов Д.В. Математическое моделирование ветрового волнения. Л.: Гидрометеоиздат, 1980.—45 с.
- 9. Garratt J.R. Review of drag coefficients over oceans and continents. Mon. Weather Rev., 1977, v. 105, N 7, p. 915-929.
- 10.Gent P.R., Taylor P.A. A numerical model of the air flow above water waves. J.Fluid Mech., 1976, v. 77, pt.1, p. 105-128.
- 11.Taylor P.A., Gent P.R. A numerical investigation of variations in the drag coefficient for air flow above water waves. - Quart. J.R. Met. Soc., 1978, v. 104, N 442, p. 979-988.

ОЦЕНКА СИЛ ЭЛЕКТРИЧЕСКОГО ВЗАИМОДЕЙСТВИЯ КАПЕЛЬ В БРЫЗГОВЫХ ОБЛАКАХ НАД МОРЕМ

При анализе брызг в массо- и энергопереносе над морем при шторме в работах /1,2,9/ рассматривались отдельные, не взаимодействующие друг с другом капли. Такой подход был обоснован оценками концентрации капель /9,14/: в нижней части приводного слоя концентрация оказывается существенно ниже критической, при которой начинает проявляться тепловое и динамическое взаимодействие капель /10,11/. Электрическое взаимодействие капель в работах /1,2,9/ не учитывалось, так как предполагалось, что оно отсутствует. Справедливость такого предположения может быть подтверждена расчетами сил электрического взаимодействия капель.

Сила взаимодействия двух заряженных капель радиусами τ_t и τ_2 , находящихся во внешнем электрическом поле, направленном вдоль линии, соединяющей центры капель, согласно /13/, равна:

$$F = \varepsilon_0 \tau_2^2 E_0^2 F_1 + E_0 \left(F_2 q_{z_1} + F_3 q_{z_2} \right) + \frac{1}{\varepsilon_0 \tau_2^2} \left(F_4 q_{z_1}^2 + F_5 q_{z_1} q_{z_2} + F_6 q_{z_2} \right), \tag{1}$$

где \mathcal{E} — электрическая постоянная, \mathcal{E}_0 — напряженность внешнего поля, q_{τ_4} и q_{τ_2} — заряды взаимодействующих капель. Коэффициенты \mathcal{F}_ℓ ($\dot{\iota}$ = $\pm 1, \ldots, 6$) вычислены и затабулированы /13/ как функции величин τ_4/τ_2 и \mathfrak{I}/τ_2 , где $\tau_2 < \tau_4$, \mathfrak{I} — расстояние между поверхностями капель по линии, соединяющей их центры.

Над океаном напряженность внешнего поля направлена вертикально и численно, согласно /6,7,11/, мало отличается от среднего значения $(\overline{E}_0 = 130 \text{ B/m})$. Электрическая постоянная воздуха ε равна $8,85 \times$ $imes 10^{-12}$ Ф/м. Данные о распределении по размерам брызг у поверхности океана /3,5/ показывают, что модальный радиус 7_m меняется от 0,002 до 0.01 см; капли, радиус которых превышает 0.05 см, практически не встречаются. Брызги, размер которых существенно меньше модального, немногочисленны и дают небольшой вклад в перенос тепла, влаги и импульса. Согласно экспериментальным данным и принятой аппроксимации распределения капель по размерам /2,3/, более 80% всех капель приходится на интервал 0.75 < 7/7 < 5. Поэтому представляет интерес оценка сил электрического взаимодействия капель в этом интервале размеров. Очевидно, что взаимодействие капель разных размеров более заметно сказывается на мелких каплях; поэтому достаточно оценить электрические силы, действующие на капли радиусом 🕻 , близким по значению к модальному, при взаимодействии с более крупными каплями, а также при взаимодействии с более многочислежными каплями такого же радиуса 7. В качестве характерных приняты следующие значения: $T_1 = 0.025$; 0.05 cm, $T_2 = 0.005$ cm.

Заряд капель разных размеров, образующихся при схлопывании пувырьков воздуха на поверхности воды, согласно результатам лаборагорных измерений /12/, может быть выражена эмпирической формулой

$$q = 2,18 \cdot 10^{-11} \text{ T}^{1,3}$$
, (2)

где q в кулонах, γ — в сантиметрах. Охлопывание пузырьков, образующихся при обрушении ветровых волн, является основным механизмом генерации брызг над морем $\sqrt{12,14}$.

Вторым по важности механизмом генерации брызг представляется непосредственный срыв капель с заостренной части теряющего устойчивость гребня волни; этот процесс близок к процессу разрушения струи кидкости. Как указано в /7/, заряд капель, образующихся при разбрызгивании, равен

$$q = 2,73 \cdot 10^{-11} \text{ c}^{-3}$$
 (3)

Коэффициент, входящий в (3), соответствует верхнему пределу плотности заряда, образующегося при разбрызгивании чистой пресной воды.

Согласно /8/, сильный заряд капель в облаках определяется выра-

$$q = 3.67 \cdot 10^{-11} \tau^2$$
 (4)

В табл. \mathbf{I}' приведены значения зарядов, вычисленные по формулам (2)-(4).

. Таблица I Заряды капель (Кл), определенные по формулам (2)-(4)

	Формула	T CM					
	_{жорм} ула	0,005	0,025	0,05			
	(2)	2,2·10 ⁻¹⁵	1,8.10-14	4,3.10-14			
	(3)	3,3.10-18	4,3.10-16	3,3.10-15			
	(4)	9,3.10-16	2,3.10-14	9,3.10-14			
ı							

Для расчетов силы F по формуле (1) используют следующие значения q, превышающие приведенные в табл.1: 2,3·10⁻¹⁵; 2,3·10⁻¹⁴; 1,0·10⁻¹³ Кл соответственно при r, равном 0,005; 0,025; 0,05 см. Поэтому результаты расчетов F можно считать близкими к оценкам сверху.

Характерное расстояние между каплями в облаке брызг можно оценить, исходя из данных об их концентрации (водности) вблизи поверхности раздела; при шторме ($U_{10}=20...25$ м/с) средняя водность $\overline{\mathbf{X}}$ на уровне 13 см составляет 10^{-3} – 10^{-4} г/см³ /14/. Однако непосредст-

венно над областями генерации брызг (барашками и пеной), концентрация должна быть больше:

$$\alpha_m = \overline{\alpha} / S, \tag{5}$$

где S — относительная площадь, занятая барашками и пеной. Так при $U_{0}=20...25$ м/с, $S\approx0,20$ /4/, $\alpha_{m}\approx5\overline{\alpha}\approx(5\cdot10^{-3}...5\cdot10^{-4})$ г/см 3 . Массовая концентрация брызг (водность) численно равна их относительной объемной концентрации α . Еольшее из полученных значений, $\alpha_{m}=5\cdot10^{-3}$ г/см 3 , можно считать оценкой максимально возможной объемной концентрации α_{max} . Средний объем среды, приходящийся на одну каплю, определяется соотношением

$$\overline{U} = 4\pi \overline{r^3} / 3\widetilde{\alpha}, \tag{6}$$

где $\overline{\tau^3}$ - средний куб радиуса брызг; тогда среднее расстояние между центрами капель равно

$$\left(\overline{U}\right)^{1/5} = \left(4\pi \overline{v}^3/3\widetilde{\alpha}\right)^{1/3} . \tag{7}$$

Отсюда, в предположении об одинаковых размерах капель, можно получить оценку среднего расстояния $\overline{\mathbf{3}}$ между их поверхностями

$$\overline{\mathfrak{Z}} = (\overline{U})^{1/3} - 2(\overline{\mathfrak{T}^3})^{1/3} = (\overline{\mathfrak{T}^3})^{1/3} \left[(4\pi/3\widetilde{\alpha})^{1/3} - 2 \right]. \tag{8}$$

По данным натурных измерений 5 можно принять $(\overline{\tau^3})^{1/3} \approx 3 \cdot 10^{-3}$ см. Тогда, если подставить в (8) 6×6 можно принять $(\overline{\tau^3})^{1/3} \approx 3 \cdot 10^{-3}$ см. Тогда, если подставить в (8) 6×6 можно получить оценку 6×6 х 6×6 можно получить оценку 6×6 х 6×6 можно получить оценку 6×6 х 6×6 можно получить оценку 6×6 можно пределяющих значение коэффициентов 6×6 можно принять 6×6 можно принять 6×6 можно получить оценку 6×6 можно

Результаты расчета силы взаимодействия F при разноименных зарядах капель приведены в табл.2. При одноименных зарядах взаимодействие оказывается более слабым, значения F составляют 0,6-0,8 от приведенных в табл.2; это объясняется наличием индукционных членов в формуле (1) /6/. Расчеты показывают, что при уменьшении отношения $\frac{1}{2}$ величина F растет довольно медленно

Таблица 2

Сила электрического взаимодействия $F \cdot 10^{11}$ (H)

5/7 ₂	7,/72					
3,02	1	5	10			
1	3,4	7,0	10,0			
2	1,8	3 , 8	6,4			
4	0,8	2,2	4,0			

Это происходит потому, что относительное уменьшение расстояния между центрами капель, $\Delta = \mathcal{L}_1 + \mathcal{L}_2 + \mathcal{I}_3$, происходит медленнее, чем относительное уменьшение величины \mathcal{I}_3 — особенно при $\mathcal{L}_4 \gg \mathcal{L}_3$.

Относительную роль вертикально направленной силы взаимодействия f можно оценить, сопоставив ее с вертикальными составляющими действующих на каплю других сил. При $T_1 = T_2 = 0.005$ см, вес капли, $P = \rho g \times \frac{4}{3}\pi T^3$ (где $\rho = 1$ г/см³ – плотность воды, g = 980 см/с²), составляет $5.1 \cdot 10^{-9}$ н, и следовательно, на 2 порядка превышает силу электрического взаимодействия. Однако во время полета на каплю действует разность силы веса и вертикальной составляющей силы аэродинамического сопротивления. Эта разность равна произведению $\frac{P}{g}\frac{dW}{dt}$, где $\frac{dW}{dt}$ производная по времени вертикальной составляющей скорости капли. Согласно расчетам элементов полета брызг $\frac{1}{2}$, характерные значения величины $\frac{P}{g}\frac{dW}{dt}$ для капель радиусом 0,005 см на большей части траектории значительно превышают $1.5 \cdot 10^{-10}$ н. Минимальное значение $\frac{P}{g}\frac{dW}{dt}$, составляющее приблизительно около $0.6 \cdot 10^{-11}$ н, наблюдается не более 10^{-2} с, т.е. 3 продолжительности полета. Таким образом, в течение 9% времени полета капель, размер которых близок к модальному, силы электрического взаимодействия не могут повлиять на их траекторию и скорость.

Вероятность появления крупных капель в облаке брызг можно считать соответствующей функции распределения /2,3/

$$\varphi = \int_{\tau}^{\tau + \delta \tau} \left(\frac{\tau}{\tau_m}\right)^2 e^{-2\tau/\tau_m} \frac{d\tau}{\tau_m}$$
(9)

и для капель, размеры которых ограничены интервалом $5\leqslant\frac{\tau}{\tau_m}\leqslant7,5$, найти $\Phi=0,\%$. В силу малой вероятности появления крупных капель достаточно рассматривать взаимодействие капель, близких по размеру к модальному, т.е. считать $\tau_1/\tau_2\!\!\approx\!\!1$. В этом случае вывод о пренебрежимо малой роли сил электрического взаимодействия в динамике брызг с радиусом $\tau\geqslant0,005$ см становится еще более определенным.

СПИСОК ЛИТЕРАТУРЫ

- 1. Ариель Н.З., Бортковский Р.С. Уточненная модель энерго- и массообмена брызг над поверхностью океана при шторме. - В кн.: Тайфун-75. Л.: Гидрометеоиздат, 1978, т.2, с.101-115.
- 2. Борисенков Е.П., Кузнецов М.А. О параметри зации взаимодействия океана и атмосферы при штормовых условиях погоды применительно к моделям общей циркуляции атмосферы. — Изв. АН СССР. Физика атмосферы и океана, 1978, т.14, № 5, с.510-520.
- 3. Бортковский Р.С. Экспериментальные исследования поля брызг над ветровыми волнами. Труды ГГО, 1977, вып. 398, с. 35 40.
- 4. Бортковский Р.С., Кузнецов М.А. Некоторые результаты исследования состояния морской поверхности. В кн.: Тайфун-75. Л.: Гидрометеоиздат, 1977, т.1, с.90-105.
- 5. Бортковский Р.С., Тимановский Д. Φ . Нов экспериментальные данные о поле брызг над ветровыми волнами. Тру, ITO, 1981, вып.454, с.24-30.
- 6. Красногорская Н.В. Электричество нижних слоев ат мосферы и методы его измерения. Л.: Гидрометеоиздат, 1972. -323
- 7. Мейсон Б.Дж. Физика облаков. Л.: Гидрометеоиздат, 196: 542 с.
- 8. Мучник В.М. Физика грозы. Л.: Гидрометеоиздат, 1974. 351 с.
- 9. Процессы переноса вблизи поверхности раздела океан-атмосфера, Р.С.Бортковский, Э.К.Ботнер, С.П.Малевский-Малевич, Л.Ю.Преображенский. Л.: Гидрометеоиздат, 1974. –239с.
- 10. Соу С. Гидродинамика многофазных систем. М.: Мир, 1971 536 с.
- II. У о л л и с Г. Одномерные двухфазные течения. М.: Мир, 1972. -440 с.
- 12. Blanchard D.C. The electrification of the atmosphere by particles from bubbles in the sea. Progress in Oceanogr., 1963, vol.1, p. 73-202.
- 13. Davis M.H. Two charged spherical conductors in a uniform electrifield: forces and field strength. Quart. Journ. Mech. Appl. Mathem., 1964, v. 17, N 4, p. 499-511.
- 14. Monahan E.C. Sea spray as a function of low elevation wind speed Journ. Geophys. Res., 1968, v. 73, N 4, p. 1127-1137.

К ИССЛЕДОВАНИЮ ХАРАКТЕРИСТИК ОПТИКО-АКУСТИЧЕСКОГО ИЗМЕРИТЕЛЯ ЛУЧИСТОГО ПРИТОКА ТЕПЛА В АТМОСФЕРЕ

В литературе неоднократно указывалось на актуальность разработки метода, позволяющего прямо измерять лучистый перенос тепла в атмосфере /3,8,12/. Для решения этой задачи автором был предложен оптикоакустический (ОА) метод и устройство-измеритель лучистого притока тепла (ЛПТ), кратко описанные в /1,2/. В настоящей работе приведены результаты лабораторных исследований и методика проведения экспериментов по определению линейности и угловой характеристики ЛПТ, а также влияния неселективного поглощения на результаты измерения.

Схема экспериментальной установки показана на рис. І. Исследуемый селективный ОА приемник I с плоским окном 2 из материала КРС-5
размещался над выходным отверстием 3 нагреваемого полостного черного тела (ЧТ) 4, изготовленного на базе термостата ТС-16. Приемник
мог перемещаться на угол до 90 в плоскости, проходящей через ось
а-а и перпендикулярной плоскости рисунка. Над зачерненным обторатором 5 расположена диафрагма 6, изменяющая угловые размеры ЧТ. Смесь
СО2 или СО поступала из баллонов 10 высокого давления через трубки
8 и клапаны 7, и удалялась через трубку 9. Заполнение приемника воз-

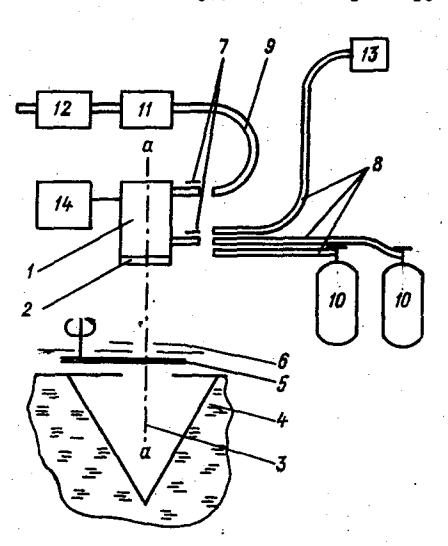


Рис. I. Установка для исследования измерителя ЛПТ

духом осуществлялось под воздействием разрежения, создаваемого побудителем расхода 12, через заборник 13, установленный снаружи помещения. Расход смеси $(1-2 \text{ cm}^3/\text{c})$, контролируемый расходомером 11. и длительность продувки (≥20мин) подбирались так, чтобы обеспечить практически полную смену смеси в приемнике с объемом приблизительно 45 cm³. При заполнении приемника окружающим воздухом влажность его измерялась аспирационным психрометром, расположенным непосредственно у заборника. Описываемая установка располагалась в пос. Воейково, в помещении; при проведении

градуировки окна были открыты для предотвращения увеличения концентрации CO₂ в помещении. Измерения проводились при закрытых клапанах 7. Сигнал на выходе ОА приемника усиливался, синхронно детектировался и регистрировался посредством электроизмерительной схемы 14 /2/. Измерялась также температура воды в термостате, омывающей полость ЧТ, температура вращающегося обтюратора (посредством термосопротивления), а также влажность воздуха между ЧТ и приемником. При измерениях приемник и обтюратор обдувались воздухом с постоянной скоростью.

Для проверки линейности измерителя определялась его чувствительность при значениях температуры ЧТ 46 и 94°С, и диафрагме, открытой полностью или только на 60%. При этом температура приемника и положение его относительно ЧТ не менялись. Максимальное задаваемое значение ЛПТ было существенно увеличено относительно случая, описанного в /2/ и достигало 80°С. Для этого, кроме повышения температуры ЧТ, приемник был заполнен смесью 92% СО в азоте, поглощающей длинноволновую радиацию (вблизи длины волны 4,7 мкм) значительно сильнее, чем воздух или использовавшиеся смеси СО2, при идентичности теплофизических характеристик всех перечисленных смесей и воздуха. Как оказалось, при изменении задаваемых значений ЛПТ от 12 до 80°С/ч уменьшение чувствительности измерителя не превосходило 8%, что находится в пределах точности выполненного эксперимента.

Измерение угловой характеристики ОА приемника проводилось по методике, изложенной в /2/. Показания измерителя регистрировались при различных углах Ψ падения модулированной радиации на окно приемника. Измерения показали, что у приемников различной конструкции чувствительность при больших углах падения сильно увеличивалась за счет многократного отражения радиации от боковых стенок. Поэтому для исследуемого приемника была применена коррекция угловой характеристики Для этого малая часть боковой (цилиндрической) поверхности лучеприемной камеры зачернялась. В табл. І приведены значения отношения (α показаний исследуемого ОА приемника при различных значениях α к показаниям приемника при α в

Таблица І

		· ·		φ°						
🗴 отн.ед.	0	IO	20	3 0	40	50	60 ·	70	75	80
До коррек-		1	(1				
После кор- рекции	1,00	1,00	0,99	0,98	1,00	1,01	I,04	1,06	0,75	0,00

Как видно из таблицы, угловая характеристика приемника после коррекции вполне удовлетворительна до значений $\varphi \approx 70^{\circ}$. По результатам анализа данных табл. I и работы /5/, случайная относительная погрешность при измерениях ЛПТ из полусферы приемником после его коррекции не превышает +6%.

Одним из возможных источников погрешности может быть неселективное поглощение модулированной радиации стенками и окном камеры приемника, проявляющееся в возникновении ложной составляющей сигнала. Выла выполнена экспериментальная оценка этого эффекта. Для этого определяли жарактер и зависимость показаний измерителя от интегральной функции (ИФ) поглощения газовой смеси в приемнике. Измерения проводились со смесями (СО2+N2) с концентрацией СО2 0,025; 0,038;0,094; 0,50; 0,98%. При этом положение приемника относительно ЧТ, а также значения температуры ЧТ и обтюратора не изменялись. Результаты измерений показаны на рис. 2. Здесь по оси абсцисс отложены значения

 A_{CO_2} - ИФ поглощения CO_2 для длинноволнового диапазона. (Методика расчета A_{CO_2} с использованием результатов [11] изложена ниже.) По оси ординат отложены показания измерителя u. Как видно из рис.2, зависимость u от A_{CO_2} можно считать линейной и в пределах точности эксперимента экстраполировать в начало координат. Это указывает на то, что значение сигнала обусловлено поглощением радиации практически только газовой смесью в лучеприемной камере.

Описанный в /2/ измеритель ЛПТ градуировался по низкотемпературному ЧТ, при этом приемник заполнялся воздухом с известной влажностью, концентрация СО₂ принималась равной 0,033% в приемнике и в окружающем воздухе, поглощение аэрозоля, попавшего в приемник, полагалось пренебрежимо малым относительно поглощения радиации водя-

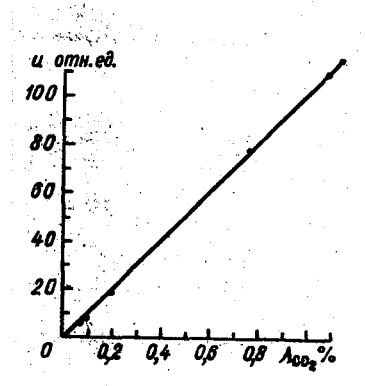


Рис. 2. Зависимость показаний измерителя ЛПТ от ИФ поглощения смеси CO₂.

ным паром и CO₂. При градуировке измерителя ЛПТ, имеющего селективный приемник, необходимо учитывать влияние слоя воздуха между ЧТ и приемником, поглощающего излучение ЧТ и излучающего при собственной температуре. Следует отметить, что этот эффект особенно заметно проявляется в тех спектральных диапазонах, где поглощение радиации в дучеприемной камере приемника максимально.

Уравнение, описывающее лучистый теплообмен ОА приемника с ЧТ, обтюратором
и слоем воздуха, очень громоздко. Поэтому, сделав допущение о равенстве температур обтюратора, воздуха и приемника,
это уравнение можно упрощенно представить в виде

$$\Delta E = \left[1 - A(m_{qT})\right] A(m_{qT}, m_{np}) (E_{qT} - E_{obT}), \tag{1}$$

где ΔE — амплитуда изменения плотности потока радиации, поглощенной приемником (кВт/м), A — ИФ поглощения газа для направленной радиации; $m_{q\tau}$, $m_{\eta p}$ — эффективная поглощающая масса газа, соответственно, между приемником и ЧТ, и в приемнике; $E_{q\tau}$, $E_{\phi b\tau}$ — плотность потока радиации, поступающего на приемник, соответственно, от ЧТ и обтюратора при $m_{q\tau}$ = 0 (кВт/м). Первый сомножитель в (1) равен ИФ пропускания слоя $m_{\eta p}$, второй — равен ИФ поглощения слоя $m_{\eta p}$ для радиации, прошедшей слой $m_{q\tau}$. Значения A ($m_{q\tau}$, $m_{\eta p}$) получены с помощью уравнения

$$A(m_{q\tau}, m_{np}) = A(m_{q\tau} + m_{np}) - A(m_{q\tau}), \qquad (2)$$

где значения A , m_{q_T} , m_{np} относятся либо к воздуху, либо к ${\rm CO}_2$.

Как показали измерения, температура обтюратора, приемника и воздуха различалась не более чем на 2° С; при этом значение $\left[1-A\left(m_{qr}\right)\right] > 0.96$. Согласно численным оценкам, дополнительная случайная погрещность градуировки при этих условиях не превышает $\pm 6\%$. Если отнести ΔE к эффективной глубине лучеприемной камеры и к показанию измерителя U, получим постоянную измерителя C, аналогично 2, в виде $C = \Delta E/h \times U$ кВ $r/(M \cdot B)$, где h - геометрическая глубина лучеприемной камеры, M; M - безразмерный множитель, учитывающий пропускание окна и эффект многократных отражений от дна и окна камеры.

Для повышения надежности градуировка осуществлялась также по ${\rm CO_2}$, так как для малых масс ${\rm CO_2}$ значения ИФ поглощения в интервалах основных полос определены с меньшими погрешностями /6,11/, чем значения ИФ поглощения для малых масс водяного пара /4,7,8,9,10/. Градуировка производилась по смеси 0,094% ${\rm CO_2}$ в азоте. Для расчетов использовались данные измерений Бёрча /11/ для пяти спектральных интервалов, перекрывающих области полос поглощения ${\rm CO_2}$ вблизи длин волн 4,3 мкм и 15 мкм. По этим данным была рассчитана функция поглощения

 A_{co_2} , которая интерпретировалась как ИФ поглощения co_2 в длинноволновом диалазоне. Расчет проводился по формуле

$$A_{co_2} = \sum_{i=1}^{i=5} \frac{A_i (E_{4\tau} - E_{05\tau})_i}{E_{4\tau} - E_{05\tau}}, \qquad (3)$$

где значения A_i , (E_{ij} – E_{057}), являются средними для спектрального интервала i .

При градуировке значения A в (2) определялись из полученной согласно (3) зависимости A_{CO_2} от массы CO_2 . Влияние водяного пара, находящегося между ЧТ и приемником, согласно оценке, пренебрежимо мало в области полосы 15 мкм при малых массах воздуха. При градуировке значения m_{vr} и m_{np} составляли, соответственно, для влажного воздуха $2.2 \cdot 10^{-4}$ и $0.8 \cdot 10^{-4}$ см ос.в., а для CO_2 $m_{vr} = m_{vp} = 10^{-2}$ атм.см.

Результаты градуировок с использованием в (1) различных ИФ поглощения, приведены в табл. 2.

Таблица 2

Смесь	С отн.ед.
co ₂ + N₂	1,00
воздух	0,90
Ħ	0,84
11	0,79
	^{СО} 2 + V 2 во эду х

Из табл.2 видно, что результаты градуировки с использованием различных газовых смесей и различных методик расчета ИФ поглощения вполне удовлетворительно согласуются. Систематическое небольшое занижение постоянной С, определенной по воздуху, относительно постоянной, определенной по ${\rm CO_2}$, можно объяснить, прежде всего, погрешностью эксперимента.

В результате проделанной работы повышена точность градуировки ОА измерителя ЛПТ, проверена линейность измерителя и эффективность корректировки угловой характеристики. Показано, что погрешностью за счет поглощения длинноволновой радиации стенками и окном приемника можно пренебречь.

Список литературы

- 1. Елисеев А.А. Устройство для измерения лучистого притока тепла в атмосфере. Авт.свидетельство № 352151 от 6.3.1970. Боллетень "Открытия, изобретения, промышленные образцы, товарные знаки, № 28, 1972.
- 2. Елисеев А.А. Оптико-акустический метод прямого измерения лучистого притока тепла в атмосфере. - Изв. АН СССР. Физика атмосферы и океана, т.13, № 10, 1977, с.1018-1024.
- 3. Кондратьев К.Я. О возможности прямых измерений лучистого притока тепла. В кн.: Проблемы физики атмосферы № 1, ЛГУ, 1963, с.3-16.
 - 4. Кондратьев К.Я. Актинометрия. Л.: Гидрометеоиздат, 1965.
- 5. Кондратьев К.Я., Жвалев В.Ф., Стыро Д.В. Лучистый приток тепла в области спектра 4-40 мкм на различных уровнях в атмосфере. -Изв. АН СССР. Физика атмосферы и океана, т.2, № 1, 1966, с.52-63.
- 6. Москаленко Н.И. Экспериментальные исследования спектральной прозрачности паров $\rm H_2O$, $\rm CO_2$, $\rm CH_4$, $\rm N_2O$, $\rm CO$ в условиях искусственной атмосферы. Изв. АН СССР. Физика атмосферы и океана, т.5, № 9,1969, с.962-966.

- 7. Нийлиск Х.Ю., Саммел Л.Э. Интегральная функция пропускания атмосферы для расчетов поля теплового излучения в тропосфере. В кн. Таблицы радиационных карактеристик атмосферы. Тарту, 1969, с.128—180.
- 8. Фейгельсон Е.М. Лучистый теплообмен и облака. Л.: Гидрометеоиздат. 1970.
- 9. Шехтер Φ .Н. 0 методике определения лучистого притока тепла.— Труды ГГО, 1962, вып.127, с.14-25.
- 10. Brooks F.A. Atmospheric radiation and its reflection from the ground. J. of Met., v. 9, N 1, 1952, p. 41-52.
- 11.Burch D.E., Gryvnak D.A., Williams D. Total absorptance of carbon dioxide in the infrared. Appl. Opt., v. 1, N 6, 1962, 759-765.
- 12. Funk J.P. Behaviour of freely exposed absorbers in radiation fields.J.Opt. Soc. Am., 50. N 10, 1960.

НЕКОТОРЫЕ ОСОВЕННОСТИ ДВУХПАРАМЕТРИЧЕСКИХ МОДЕЛЬНЫХ РЕШЕНИЙ УРАВНЕНИЙ ПОГРАНИЧНОГО СЛОЯ ПРИ РАВНОВЕСНЫХ УСЛОВИЯХ

Двухпараметрическими моделями пограничного слоя атмосферы или моделями с двухпараметрическим замиканием принято называть модели, в которых характеристики поля турбулентности выражаются через два определяющих параметра. Несмотря на некоторую ограниченность двухпараметрического подхода к моделированию турбулентности в пограничном слое, в теоретических исследованиях структури планетарного пограничного слоя (ППС) такие модели получили достаточно широкое распространение /1/. Более того, будучи примененными поначалу для изучения движений в ППС над однородной подстилающей поверхностью, двухпараметрический подход затем распространился на более сложные движения. С его помощью, например, исследовалось взаимодействие ветра с растительностью /2/, изучалась трансформация потока при изменении динамических и термических свойств подстилающей поверхностью /1/, моделировалась структура ППС над орографически неоднородной подстилающей поверхностью /3/.

В зависимости от постановки задачи и вкуса авторов моделей в клучестве определяющих параметров чаще всего выбираются следующие пары характеристик турбулентности: ℓ , ℓ ; ℓ , ω ; ℓ , ε , где ℓ . ℓ , ω - соответственно кинетическая энергия, характерный масштаб и карактерная частота турбулентных пульсаций; ε - скорость диссипании турбудентной энергии в тепло. Для определения каждой из пары характеристик либо записывается специальное дибференциальное уравнение, либо вводится полуэмпирическое выражение. Наиболее широкое распространение в практике моделирования ППС получило использование в качестве определамих нараметров величин b и ℓ /1,2/. Достаточно попробный авадыз особенностей способов замыкания такого рода приведен в монография /1/. Следует думать, что δ . ℓ — замыкание уравнений ППС в силу его наглящности и простоти реализации еще долгое время будет использоваться в моделях пограничного слоя. В связи с этим сохраняют актуальность исследования особенностей модельных решений уравнений ШІС, получаемых при этом замыкании.

Рассмотрим систему уравнений пограничного слоя для условий однородной подстилакщей поверхности и равновесной стратификации

/1.2.4/:

$$\frac{d}{dv}k\frac{du}{dx} + fv = 0 \quad , \tag{1}$$

$$\frac{d}{dz}k\frac{dv}{dz}+f(Q-u)=0 \quad , \tag{2}$$

$$\frac{d}{dz}\alpha_{g}k\frac{d\theta}{dz}+k\left[\left(\frac{du}{dz}\right)^{2}+\left(\frac{dv}{dz}\right)^{2}\right]-\varepsilon=0,$$
(3)

$$k = c^{1/4} \ell \sqrt{B}$$
 , $\varepsilon = c \frac{\beta^2}{k}$ (4)

Здесь U, v — составляющие скорости ветра вдоль осей х и у соответственно, k — коэффициент турбулентного обмена для количества движения, G — скорость геострофического ветра (направление Ох выбрано по направлению G), f — параметр Кориолиса, C и C — безразмерные параметры задачи.

Для замыкания системы (1)-(4) осталось задать способ определения ℓ . Остановимся на трех наиболее распространенных способах f1,2,3f:

$$\ell = -\chi \left(\frac{\beta}{k} \right) / \frac{d}{d\pi} \left(\frac{\beta}{k} \right) , \qquad (5)$$

$$\ell = \chi \chi / (1 + \chi f \chi / a G) , \qquad (6)$$

$$\ell = -\pi \left(\frac{g}{k} \right) / \left[\frac{d}{dz} \left(\frac{g}{k} \right) \left(\frac{1}{2} + \pi f z / a G \right) \right]. \tag{7}$$

Кроме того, будем рассматривать априорное выражение, аналогичное (6), но обладающее более ясным физическим смыслом

$$\ell = \chi z \exp(-fz/a_z G). \tag{8}$$

В соотношениях (5)-(8) χ = 0,4 - постоянная Кармана, σ и q_1 - безразмерные параметры задачи. Определение ℓ из (5) и (7) требует постановки условия для ℓ на одной из границ области интегрирования. Обычно это условие ставят на уровне χ = χ , полагая ℓ = χ , где χ - параметр шероховатости подстилающей поверхности. Нижней границей области интегрирования уравнений (1)-(3) является, таким образом, уровень χ , верхние граничные условия обычно ставят на высоте Н χ , которую считают высотой пограничного слоя. Условия для компонент скорости и энергии турбулентности чаще всего записывают в следующей форме:

$$u = 0, \quad v = 0, \quad \frac{d\theta}{dz} = 0 \quad \text{при} \quad z = z_0;$$
 (9)

$$u = G$$
, $v = 0$, $g = 0$ mpu $g = H$. (10)

Численные эксперименты с обсуждаемыми моделями замыкания показали, что другие способы задания верхних граничных условий для u, v и v на определенных из эксперимента уровнях v (например, обращение в нуль потоков количества движения и энергии турбулентности на высоте v практически не сказываются на ходе решения.

Совместный анализ граничных условий (10) и соотношения (6) указывает на имеющее в этом случае место обращение в нуль на высоте Н энергии турбулентных пульсаций достаточно большого характерного масштаба $\ell_{\rm H}$:

$$\ell_{H} = \varkappa H / (1 + \varkappa f H / \alpha G).$$

Такое соотношение между $\boldsymbol{\delta}$ и $\boldsymbol{\ell}$ при $\boldsymbol{\kappa}$, близких к H, очевидно, не является физически обоснованным. В этом смысле формула (8), сохраняющая характерную для $\boldsymbol{\ell}$ линейную зависимость от $\boldsymbol{\kappa}$ вблизи поверхности земли, даем более правдоподобное соотношение между указанными характеристиками турбулентности в верхней части пограничного слоя.

Для равновесных условий в атмосфере в качестве основных определяющих параметров распределения метеорологических элементов в ШС, при использовании предположения о возможности исключения из их числа молекулярной вязкости, обычно принимается набор следующих характеристик: G , x , x_0 , f 4. При решении системы (1)-(4) параметры G , χ_{o} , f являются внешними параметрами задачи. Кроме того, решение модельной задачи зависит от высоты Н и безразмерных констант c , α_{s} , a или a_{s} . Источником необходимых для построения моделей данных о G , z_o , H , f , c , \varkappa , α_{ϱ} служат экспериментальные исследования структуры ППС. Следует ожидать, что выбор способа замыкания системы (1)-(4) в какой-то степени должен определять зависимость ее решений от указанных параметров. Обычно такого рода зависимости в моделях исследуются численными методами /1/. Прежде чем перейти к обсуждению результатов численных экспериментов, остановимся на представляющих очевидный интерес качественных оценках влияния некоторых из рассмотренных параметров на решениях системы (1)-(4) с различными способами замыкания.

Введем в задачу нормировку высот и скоростей. Для масштаба высот L используем комбинацию параметров f и G: L=G/f; скорости пронормируем на G. Сделав соответствующие подстановки в систему (1)-(4), получим следующую совокупность безразмерных параметров, определяющих ее нормированные решения как функции безразмерной высоты \mathbb{Z}_n :

$$z_{on} = z_o/L = 1/Ro, H_n = H/L, c, \alpha_g, \qquad (11)$$

где R_0 - число Россои. В зависимости от выбранного способа определения ℓ к параметрам (II) добавляются \varkappa , α и $\sigma_{\mathtt{d}}$.

Остановимся сначала на решениях (1)-(4) с априорними способами запания ℓ по формулам (6) или (8). Везразмерные значения ℓ_n $=\ell/L$ будут в этих случаях функциями \mathbb{X}_n , а также параметров \mathbb{X} , a или a. При фиксированных значениях arkappa , a и a, ℓ_n становятся универсальными функциями безразмерной висоти Zn. Учитивая независимость ℓ_n от \mathcal{H}_n , можно утверждать, что зависимость безразмерных решений системы (1)-(4) от этого параметра будет ослабевать с ростом H_n . В этом можно убедиться, подставив экспериментальные данные об Н/3/ в (6) или (8) при обычно употребляемых в этих соотношениях значениях a и a_{\star} . При увеличении отношений значения ℓ при z , близких к H , сла-HxflaG # Hf/a,G бо меняются с увеличением висоти, причем ℓ по (8) слабо убивает до нуля, а ℓ по (6) слабо растет, стремясь к величине $\ell_{\infty} = aG/f$. Φ актическое исключение H_{n} из числа определяющих параметров безразмерных решений системы (1)-(4) обусловит слабую зависимость решений от варианий G .Это произойдет в сиду того, что влияние G проявляется только через параметри \mathcal{H}_n и \mathcal{I}_{on} , причем изменения \mathcal{I}_{on} слабо влияют на решение в характерном интервале вариаций G /1/.

В качестве дополнительных особенностей моделей (I)-(4), (6) и (I)-(4), (8) следует ожидать слабую зависимость профилей скорости от вариаций параметра $\mathcal C$, отсутствующего в выражениях для $\mathcal L$, определяющую роль в которых играют параметры $\mathcal C$ и $\mathcal C_4$.

Характерний масштаб турбулентних пульсаций, определяемий из уравнения (5), будет, в отличие от предыдущего случая, зависеть от всего списка параметров (Π). В связи с этим постановка граничных условий в модели (Π)-(4), (5) на экспериментально определенных для разных G высотах H должна привести к появлению зависимости нор-

мированных решений от G при фиксированных значениях других параметров задачи. Экспериментальные исследования указывают на существенную зависимость H_n от G /3/.

В отношении замыкания системы (1)-(4) с помощью соотношения (7) требуется сделать одно уточнение. Сравнение результатов численных экспериментов, описание которых приводится ниже, с модельными расчетами других авторов показало, что в ряде источников, например в /1/, приводятся результаты, полученые при некорректном интегрировании уравнения (7) при сохранении исходной его формы. Вместо (7) фактически интегрируется уравнение (5), результат решения которого домножается затем на поправочный коэффициент по формуле

$$\ell = \ell' \left(1 + \varkappa f z / \alpha G \right)^{-1}, \tag{14}$$

где ℓ' - результат решения уравнения (5).

Необходимо отметить, что замыкание (14) позволило при соответствующем подборе параметров получить, и это видно из данных /1/, хорошее согласование расчетных профилей с экспериментальными. Зависимость решений системы уравнений ППС от параметров при замыкании (14) изучена достаточно подробно /1/.

Численные эксперименты со всеми прознализированными выше молелями показали, что непосредственное использование в них экспериментальных данных о значениях параметров, полученных в натурных условиях, приводит лишь к качественному согласованию расчетных и экспериментальних профилей метеорологических элементов. Меняя значения параметров, можно улучшить такое согласование, однако надо учесть. что не все параметри могут с одинаковим основанием бить использованы в качестве подгоночных. Например, вряд ли оправданно варьирование таких параметров как ℓ и G . В меньшей степени это относится \mathbf{z}_o , H, c, \varkappa , α_g . Лишь параметры α и α , носят явно подгоночный характер в силу тех функций, которые они выполняют в соотношениях (6)-(8). Кроме того, следует заметить, что варьирование некоторых параметров (например, ж и 🚜) в разумных пределах практически не сказывается на характере решений системы (1)-(4) при всех использованных способах замыкания. Для параметра cнадежные, по мнению авторов монографии (2), измерения в натурных и лабораторных условиях дают значения в интервале

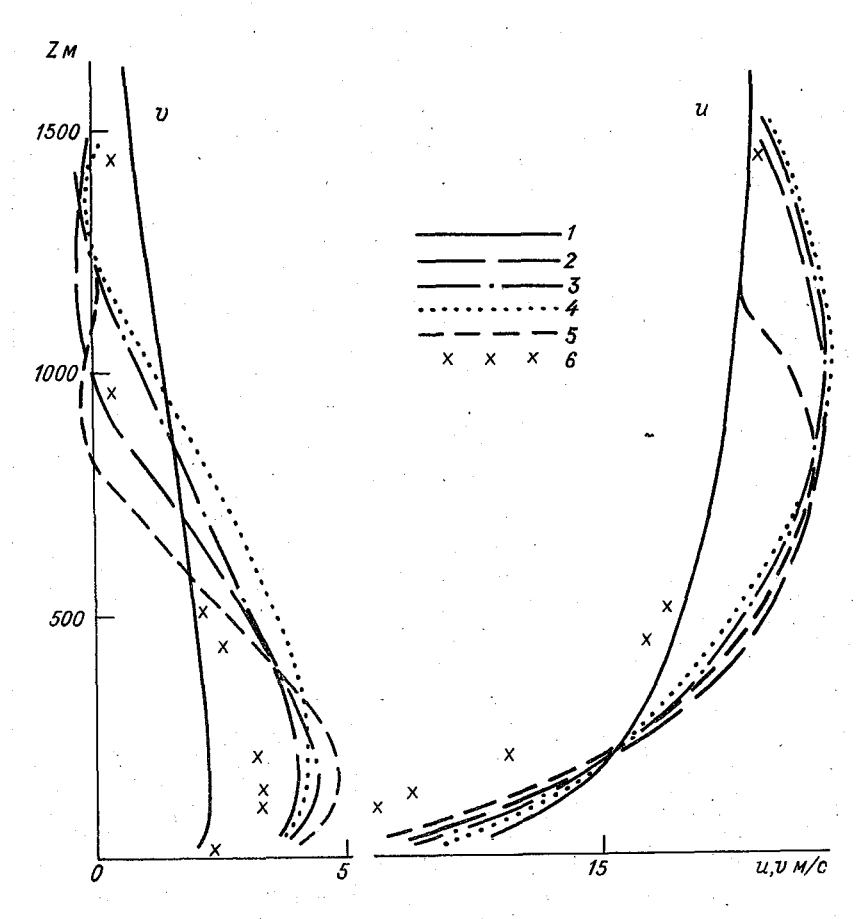
При таких значениях \mathbf{c} ни одна из рассмотренных моделей для ℓ не дает хорошего согласования расчетных и экспериментально полученных профилей скорости и характеристик турбулентности, что отчасти

может быть обусловлено принятым в моделях постоянством \mathcal{C} в пределах всего пограничного слоя. Сопоставимость модели и эксперимента осложняется также использованием в модельных расчетах значений \mathfrak{X}_0 , определенных по данным о приземном ветре (локальная шероховатость), в то время как профиль скорости ветра в пограничном слое формируется под влиянием обширного участка неоднородной, в общем случае, подстилающей поверхности 3.6. В описывающих ППС уражнениях 1.0-(4) и замыкающих соотношениях 1.0-(8) эта особенность формирования ППС не находит отражения.

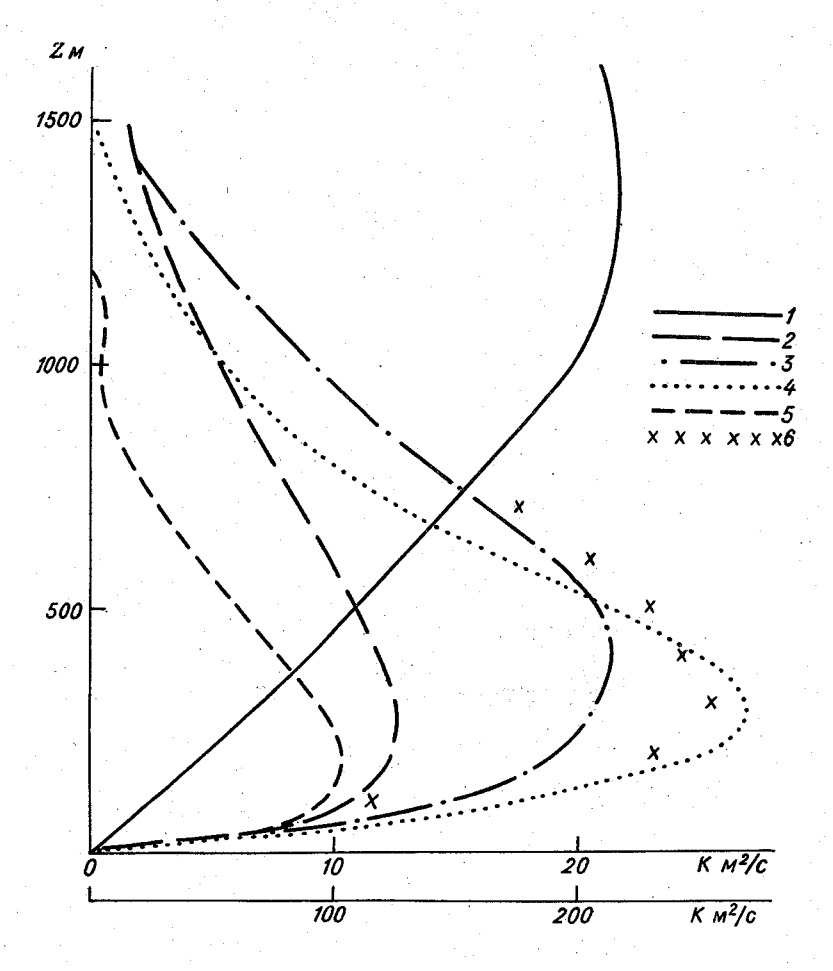
Представленные на рис. І профили скоростей рассчитаны по модели (1)-(4) с использованием всех обсуждавщихся соотношений для ℓ . Значения параметров $\mathfrak{A}_{\mathbf{0}}$, H , f , G соответствуют содержащимся в /3/ экспериментальным данным: $\chi_0 = 0.018$ м, H = 1860 м, G = 18.5 м/с для $f = 1.26 \cdot 10^{-4}$ рад/с. Значение параметра с полагалось равным 0.035 / 2/, $\alpha_p = 0.73 / 1.2/$, $\alpha = 0.4$. Для профилей u и v - компоприняты следующие обозначения: 1 - с иснент скорости ветра пользованием замыкания (5), 2-(6), 3-(7), 4-(8), 5-(14), 6- экспериментальные данные из /3/. Параметры α и α , подбирались с учетом наилучшего согласования расчетных профилей с экспериментальными данными. Для кривых, помещенных на рис.I, a = 0.00027, $a_{i} = 0.0025$. С теми же значениями \mathbf{z}_{o} , f , c , α_{b} , \mathbf{x} , a и a_{t} были рассчитаны профили ветра при G = 7.8 м/с, H = 1100 м и G = 11.8 м/с, H = 1400м. При указанных значениях параметров для всех трех пар $oldsymbol{G}$ и $oldsymbol{\mathsf{H}}$ характер различий между расчетными и экспериментальными профилями аналогичен различиям в распределении компонент скорости по вертикали, приведенным на рис.1. Численные эксперименты с подбором значений параметров q , c и H подтвердили возможность добиться лучшего, чем представленные на рис.1, согласования модели с экспериментом, но при этом велицины H изменялись в 1,5-2 раза, а значения c в 7-10 раз по сравнению с экспериментальными данными. Необходимость применения столь искусственных приемов для преодоления различий между теоретическими и экспериментальными данными является одним из свидетельств определенной ограниченности описания процессов в ППС всеми обсуждаемыми моделями.

Профили коэффициентов турбулентного обмена, полученных по моделям (4)–(4), (5)–(8) при G=18,5 м/с, H=1860 м приведены на рис.2, обозначения на котором состветствуют обозначениям на рис.1. Дополнительная ось относится к профилю K, полученному с использованием замыкания (5). Подтверждаются описанные в литературе (1,7) большие абсолютные значения и слишком высокое положение максимума в профиле K, рассчитанном по модели (5). При сравнении данных, приведенных на рис.1 и 2, обращают на себя внимание не очень большие относительные различия в профилях скорости (рис.1) при значительных

этносительных различиях в профилях k (рис.2). Значения k , рассчи ганные с использованием соотношений (7) и (8), достаточно хорошо согласуются с экспериментально определенными значениями k , привеценными в /3/.



Pmc.I.



Puc.2.

Безразмерные профили скорости ветра, рассчитанные для двух пар G и H (G = 7,8 м/с, H = 1100 м и G = 18,5 м/с, H = 1860 м), представлены на рис.3. Кривые 1,2,3 получены при G = 18,5 м/с, H = 1860 м с использованием замыканий (5),(7) и (8) соответственно, 1', 2', 3' — с теми же замыканиями при G = 7,8 м/с, H = 1100 м. 4 и 4' — экспериментальные данные, приведенные в /3/, полученные соответственно при G = 18,5 м/с и G = 7,5 м/с. Характер поведения функции U_n = U/G и v_n = v/G подтверждает ожидаемую из качественных соображений слабую зависимость

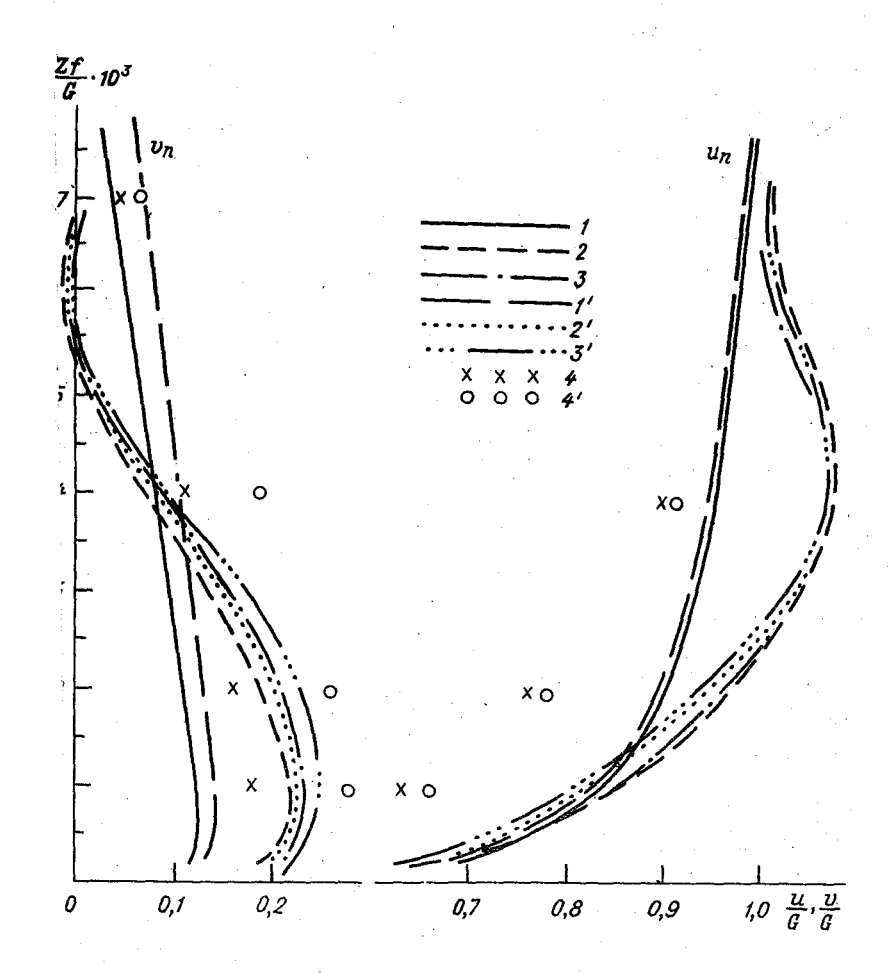
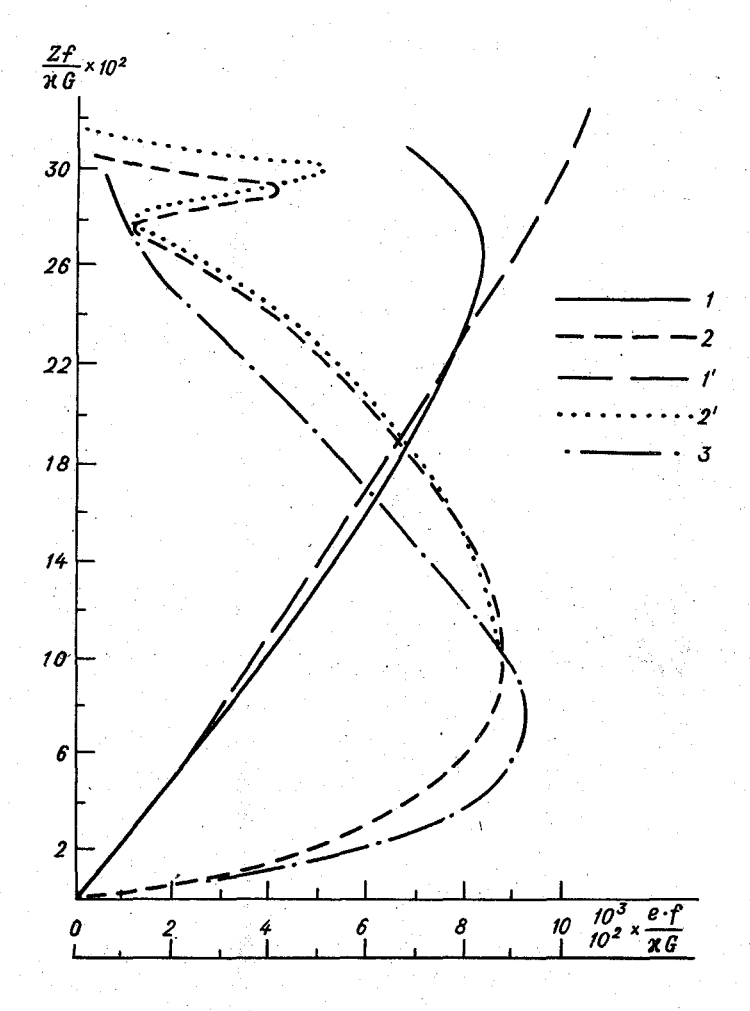


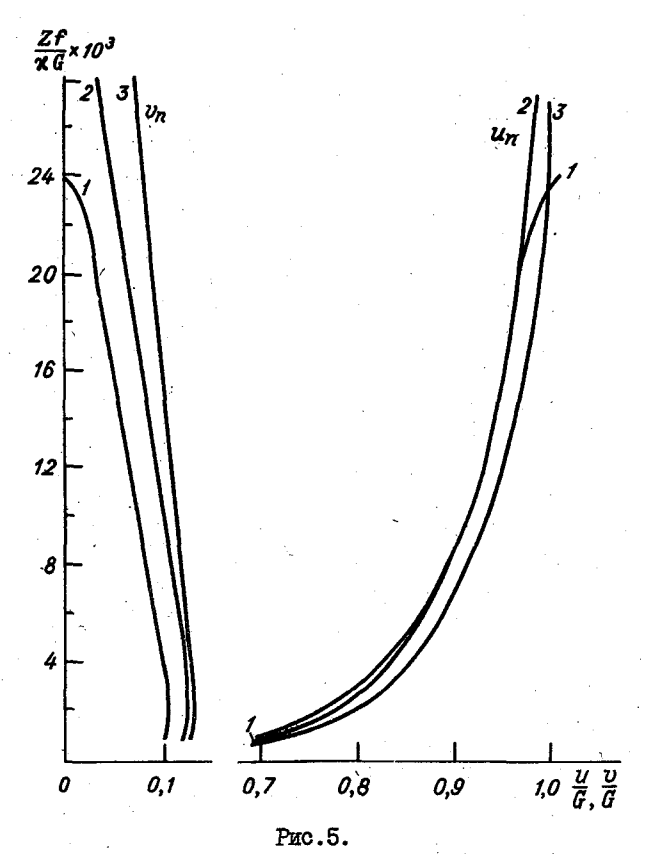
Рис.3.

ормированных решений от G и H при замыкании (8). Незначительно эняются с изменением G и H также нормированные профили скоростей, ассчитанные по модели (1)-(4),(7). При решении системы (1)-(4),(5) эзразмерный профиль $\ell_n(\mathbf{z}_n)$ (рис.4), как и ожидалось, существенно ависит от G и H. Профили 1,1', 2,2' на рис.4 обозначены B согветствии с профилими скорости, представленными на рис.3. Кривая — универсальный профиль ℓ_n , полученный по формуле (8). Дополнивнымая есь относится к профилю ℓ_n , рассчитанному по (5). Зависи-



Pmc.4.

мость безразмерной скорости ветра от G в этом случае, как это видно из рис.3, сильнее проявляется в σ -компоненте скорости. Различия между σ при разных G увеличиваются с ростом σ . У решений системы (1)-(4),(5) для σ и σ -компонент скорости выявлено также ослабление зависимости от вариаций σ с увеличением значений этого параметра. Пример влияния σ на профили σ и σ (σ) для σ = 18,5 м/с приведен на рис.5. Профиль I соответствует постановке условий (10) на высоте σ 1400 м, 2 – высоте σ 1860 м, 3 – вы-



соте $\mathcal{H}=3000$ м. Увеличение \mathcal{H}_n вызывает аналогичные эффекты в решениях для скоростей, полученных по моделям с замыканиями (6)—(8). Степень такого ослабления определяется в этих моделях соотношением между \mathcal{H}_n и безразмерными параметрами α и α_4 .

Полученные в результате численного решения задачи профили $\ell_n(z_n)$ при разных G и H подтверждают результаты проведенного выше качественного анализа замыкающих соотношений (5)-(8) (рис.4). Ослабленная зависимость от H_n в модели (7) приводит к незначительным изменениям в ирофиле ℓ_n при варьировании G и H. Решение для ℓ_n по этой модели характеризуется вторичным максимумом на профиле ℓ_n , который обусловливает немонотонный характер убывания k в верхней части слоя. Такое поведение k при z, близких

к Н, не представляется физически обоснованным /1/.

Пример расчета компонент скорости с использованием замыкания (14) приводится на рис.1, а соответствующий профиль k - на рис.2.

Численные эксперименты с указанными выше моделями подтвердили качественные соображения относительно более слабого влияния параметра C на решения системы (1)–(4) с замыканиями (6), (7), (8) по сравнению с решениями (1)–(4), (5). Решения по всем рассмотренным моделям с разными значениями \mathbf{x}_0 качественно согласуются с экспериментальными данными о влиянии \mathbf{x}_0 на профили модуля скорости ветра и его \mathbf{u} – компоненты. Отмеченное в (3) увеличение угла поворота ветра от лета к зиме ни одна из рассмотренных моделей не описывает.

В заключение кратко остановимся на методе решения систем уравнений ШС, который использовался в настоящей работе. После приведения исходной системы, замыкающего соотношения или уравнения и граничных условий к безразмерному виду задавались нулевые приближения для 🏌 и β . Итеративный процесс для нахождения новых приближений для к и в строился по аналогии с описанным в монографиях /1/ и /2/. Уравнения движения решались совместно, методом матричной прогонки /4/, уравнение баланса энергии турбулентности также решалось прогонкой. Расчет производных функций k , u , v , θ , значения которых использовались при расчете коэффициентов прогонки и свободных членов разностных уравнений, а также при интегрировании уравнений для ℓ производился с помощью кубических сплайнов (5). Уравнения (5) и (7) решались методом ломаных, невысокая точность которого вызывает, возможно, появление упомянутых выше вторичных максимумов на профилях ℓ , полученных из уравнения (7). Первым узлом на неравномерной сетке по 🕱 являлся уровень 💈 . Шаг сетки при малых 🕱 увеличивался по закону $h_{i+1}=\alpha h_i$ ($\alpha>1$). Значение α задавалось внутри программы. Начиная с определенного уровня рост шагов прекращался и все последующие шаги сохраняли неизменную величину, которая определялась автоматически, исходя из заданных объемов массивов и параметров задачи. В отношении решений со всеми использованными схемами замыкания производились оценки устойчивости применяемых методов прогонки.

СПИСОК ЛИТЕРАТУРЫ

- 1. Вагер Б.Г., Надежина Е.Д. Пограничный слой атмосферы в условиях горизонтальной неоднородности. — Л.: Гидрометеоиздат, 1979. — 138 с.
- 2. Лубов А.С. и др. Турбулентность в растительном покрове /Ду-бов А.С., Быкова Л.П., Марунич С.В. Л.: Гидрометеоиздат, 1978. 184 с.

- 3. Орленко Л.Р. Строение планетарного пограничного слоя атмосферы. Л.: Гидрометеоиздат, 1979.-272 с.
- 4. Самарский А.А., Николаев Е.С. Методы решения сеточных уравнений. М.: Наука, 1978. -592 с.
- 5. Шуп Т. Решение инженерных задач на ЭВМ. М.: Мир, 1982. 240 c.
- Kaimal J.C., Eversoll R.A. at al. Spectral Characteristics of the Convective Boundary Layer over Uneven Terrain. - J.Atm.Sci., 1982, 39, N 5, 1098-1114.
- 7. Taylor P.A. Model Predictions of Neutrally Stratified Planetary Boundary Layer Flow over Ridges. Quart.J.R. Met. Soc. (1981). 107, pp. 111-120.

СОПЕРЖАНИЕ

Е.Д. Надежина. Интегральная модель для расчета	
этолими характеристик пограничного слоя в условиях устой-	
чивой стратификации	3
Л.А. И ванова. Использование модели горизонтально-	
неоднородного пограничного слоя для оценки параметров го-	
лоледных отложений	1 4
В.В. С и м о н о в. Модель приповерхностного туроулентно-	
го потока при наличии проницаемых препятствий	22
В.В. С и м о н о в. Расчет взаимодействия туроулентного	
потока с горизонтально-неоднородным растительным покровом	36
З.М. У т и н а. Влияние орошения на метеорологический	
режим бассейна Волги	48
Т.П. К о н д р а т ю к. Численное моделирование влияния	
залива Кара-Богаз-Гол на температуру и влажность погранич-	
ного слоя атмосферы	54
М.Н. Яккер, В.Б. Вальковский. Анализ ста-	
тистической погрешности градиентных измерений с использова-	
нием одного датчика	60
Б.Н. Егоров, С.П. Малевский - Малевич,	
В.И. Шишкин. Об энергетическом балансе океанической по-	
верхности на первом политоне экспедиции МОНЭКС (зимний)	70
А.И. Головин, А.Л. Соболев. Некоторые оценки	
теплового баланса поверхности океана по данным 31 рейса НИС	
"Профессор Зубов"	. 86
Н.З. Ариель, Л.А. Строкина. К вопросу о кли-	
матологических характеристиках воздействия ветра на океан	91
В.В. С и м о н о в. О расчете коэффициентов сопротивления	
волнистой поверхности	100
Р.С. Бортковский. Оценка сил электрического вза-	, t
имодействин капель в бризгових облаках над морем	10 8
А.А.Е л и с е е в. К исследованию характеристик оптико-	
акустического измерителя лучистого притока тепла в атмосфере	113
√ Е.Е. Ф е д о р о в и ч. Некоторые особенности двухпара-	
метрических модельных решений уравнений пограничного слоя	
TON DABHOBOCHHX VOTOBNAX	119